ÉCOLE DE TECHNOLOGIE SUPÉRIEURE UNIVERSITÉ DU QUÉBEC

MÉMOIRE PRÉSENTÉ À L'ÉCOLE DE TECHNOLOGIE SUPÉRIEURE

COMME EXIGENCE PARTIELLE À L'OBTENTION DE LA MAÎTRISE EN GÉNIE DE LA CONSTRUCTION M. Sc. A.

PAR Sébastien THIVIERGE

RENFORCEMENT DE POUTRES DE BÉTON ARMÉ EN CISAILLEMENT À L'AIDE DE MATÉRIAUX COMPOSITES : ÉTUDE COMPARATIVE

MONTRÉAL, LE 3 DÉCEMBRE 2015

©Tous droits réservés, Sébastien Thivierge, 2015

©Tous droits réservés Cette licence signifie qu'il est interdit de reproduire, d'enregistrer ou de diffuser en tout ou en partie, le présent document. Le lecteur qui désire imprimer ou conserver sur un autre média une partie importante de ce document, doit obligatoirement en demander l'autorisation à l'auteur.

PRÉSENTATION DU JURY

CE MÉMOIRE A ÉTÉ ÉVALUÉ

PAR UN JURY COMPOSÉ DE :

M. Omar Chaallal, directeur de mémoire Département de génie de la construction à l'École de technologie supérieure

Mme Marie-José Nollet, codirectrice de mémoire Département de génie de la construction à l'École de technologie supérieure

M. Alan Carter, président du jury Département de génie de la construction à l'École de technologie supérieure

M. Amar Khaled, membre du jury Département de génie de la construction à l'École de technologie supérieure

IL A FAIT L'OBJET D'UNE SOUTENANCE DEVANT JURY ET PUBLIC LE 23 OCTOBRE 2015

À L'ÉCOLE DE TECHNOLOGIE SUPÉRIEURE

REMERCIEMENTS

Je tiens premièrement à remercier mon directeur de recherche, le professeur Omar Chaallal, de m'avoir confié ce projet de recherche, de m'avoir soutenu et guidé tout au long de cette étude et pour qui j'exprime ma sincère reconnaissance.

Merci à ma codirectrice de recherche, la professeure Marie-Josée Nollet, de m'avoir poussé vers cette avenue, la réalisation d'un projet de recherche.

Mes remerciements vont également aux membres du jury qui me font l'honneur d'évaluer ce mémoire.

À John Lesceller et Juan Mauricio Rios, techniciens au laboratoire de structures lourdes de l'ÉTS, à qui j'aimerais offrir mes remerciements pour leur implication durant la réalisation du programme expérimental et pour m'avoir accompagné durant cette préparation.

Finalement j'offre mon affection et ma plus sincère gratitude à mes deux garçons Mathis et Geoffroy pour m'avoir soutenu durant toutes ces années sans trop en être conscients. Vous êtes la source de mon énergie, celle qui me permet de me dépasser chaque jour et qui rend possible cet accomplissement.

RENFORCEMENT DE POUTRES DE BÉTON ARMÉ EN CISAILLEMENT À L'AIDE DE MATÉRIAUX COMPOSITES : ÉTUDE COMPARATIVE

Sébastien THIVIERGE

RÉSUMÉ

Les recherches réalisées depuis les 23 dernières années sur le comportement en cisaillement des poutres de béton armé (BA) renforcées à l'aide de polymère renforcé de fibres de carbone (PRFC) ont permis de déterminer certains paramètres d'influence qui régissent aujourd'hui les différentes normes internationales de calcul. À travers ces études, plusieurs systèmes de renforcement ont été testés et ont su démontrer que leur utilisation était bénéfique pour procurer un gain de résistance en cisaillement lors de la réhabilitation de structures déficientes. Dans cette recherche, une revue de la théorie ainsi qu'un volet expérimental comprenant un programme d'essai constitué de 7 poutres en T de grandeur nature préfissurées en cisaillement, renforcées à l'aide de différents systèmes, sont analysées pour comparer l'efficacité en terme de gain de résistance et de faisabilité de mise en œuvre des différents systèmes développés par l'industrie. Les différents systèmes de renfort analysés sont : (i) tissus de fibre de carbone collé en surface sur l'âme de la poutre (EB), (ii) tiges de PRFC insérées au travers de la section (ETS ''Embedded Through Section'') et (iii) lamelle de PRFC en L collée sur l'âme de la poutre utilisant différentes longueurs d'ancrage (Sika Carboshear L). Afin de pouvoir comparer ces différentes techniques de renforcement, les poutres utilisées dans cette étude sont identiques et ont toutes subies un préchargement équivalent ayant causé un patron de fissuration de cisaillement similaire ayant renforcement. Les données expérimentales recueillies suite au chargement statique jusqu'à rupture ont permis de quantifier le gain offert par les différentes méthodes de renforcement. Tous les spécimens de l'étude ont connu une rupture en cisaillement à l'exception d'un spécimen qui a rompu en flexion et a démontré une certaine ductilité suite au renforcement. En observant les déformations internes sur le renfort et l'acier d'armature, on peut affirmer que le renfort contribue à la reprise des efforts et permet de soulager les étriers et engendre ainsi un accroissement de la résistance en cisaillement. Bien que tous les systèmes aient démontré qu'ils pouvaient accroître la résistance en cisaillement, leur facilité de mise en place n'est pas pour autant équivalente. En évaluant les différentes étapes de préparation, en relevant les contraintes de dimensionnement et de mise en place et en identifiant les avantages et inconvénients, il est démontré que certains systèmes peuvent être mieux adaptés selon certains cas

Mots-clés: préfissurée, cisaillement, poutres de béton armé, renforcement, PRFC

REINFORCED CONCRETE BEAMS STRENGTHENED IN SHEAR WITH ADVANCED COMPOSITE MATERIALS

Sébastien THIVIERGE

ABSTRACT

Research conducted for the past 23 years on shear behavior of concrete beams reinforced with FRP have determined some influencing parameters which today govern various international codes. Through these studies, some systems have been tested and were able to demonstrate that their use can provide a shear strength gain during the rehabilitation of deficient structures. In this study, a review of the theory and an experimental program including 7 full scale concrete T-beams pre-cracked in shear, reinforced with different systems, are analyzed to compare the efficiency in terms of gain of strength and feasibility of various systems developed by the industry. The different reinforcement systems analyzed are: (i) Externally Bonded (EB) system, (ii) Embedded Through Section (ETS) and (iii) Lshaped CFRP system (Sika CarboShear L). In order to compare these different building techniques, the beams used in this study are identical and all have experienced an equivalent preload causing a similar shear cracking pattern before strengthening. The experimental data collected following the static load to failure have quantified the gain offered by the different methods of reinforcement. All specimens of the study featured a shear failure except a specimen that has broken in bending and demonstrated some ductility following the strengthening. Examination of the internal deformations of the FRP reinforcement and stirrups reveals that the FRP reinforcement contributes to the resistance and helps relieve the stirrups and leads to increased shear strength. All systems have proven to be able to increase the shear strength at some degree. In assessing the various stages of preparation, by raising the design constraints and implementation and identifying the advantages and disadvantages, it is demonstrated that some systems may be better than others in some cases.

Keywords: pre-cracked, shear, concrete beam, reinforced, FRP

TABLE DES MATIÈRES

			Page
INTR	ODUCTIO	N	1
CHAI	PITRE 1	COMPORTEMENT DES POUTRES RENFORCÉES EN CISAILLEMENT À L'AIDE DE PRF SOUS CHARGE STATIQUE - REVUE BIBLIOGRAPHIQUE ET SYNTHÈSE	
1.1	Introduct	ion	
1.2		es travaux sur le renforcement externe tissu collé en surface (EB)	
1.3		PRFC noyées dans l'âme de la section (méthode ETS)	
1.4		Sika CarboShear L (LS)	
CHAI	PITRE 2	ASPECTS THÉORIQUES : RENFORCEMENT EN CISAILLEMEN À L'AIDE DE PRFC	
2.1	Comporte	ement en cisaillement de poutres en BA (sans renfort)	
2.1	2.1.1	Fissuration	
	2.1.1	Mode de rupture	
	2.1.2	2.1.2.1 Rapport <i>a/d</i>	
		2.1.2.1 Rapport <i>a/a</i>	
		2.1.2.3 Le taux d'armature	
		2.1.2.4 L'effet d'échelle	
2.2	Comport	ement en cisaillement de poutres en BA renforcées de PRF	
2.2	2.2.1	Modes de rupture	ر ک ک
	2.2.1	2.2.1.1 Rapport <i>a/d</i>	
		2.2.1.1 Rapport <i>a/a</i>	
		2.2.1.2 Le taux d'afflature transversale	
		2.2.1.4 L'effet d'échelle	
2.3	Coloul do	es poutres en béton renforcées en cisaillement selon les normes et codes.	
2.5	2.3.1	ACI 440.2R 2008	
	2.3.1	CAN/CSA-S806 2012	
	2.3.2	CAN/CSA-S6 2014	
	2.3.4	fib-TG 9.3 2001	
	2.3.4	CNR-DT200 2004	
	2.3.6	HB 305-2008	
2.4		11B 303-2006	
	J		
	PITRE 3	PRÉSENTATION DU PROGRAMME EXPÉRIMENTAL	
3.1	Généralit	és (paramètres d'étude)	41
3.2	-	on du programme expérimental	
	3.2.1	Description et préparation des spécimens	
		3.2.1.1 Spécimen S1-CON	
		3.2.1.2 Spécimen S1-EB	45
		3 2 1 3 Spécimen S1_FTS-9 mm	15

		3.2.1.4 Spécimen S1-LS-NA	46
		3.2.1.5 Spécimen S1-LS-TA	47
		3.2.1.6 Spécimen S1-LS-PA	48
		3.2.1.7 Spécimen S1-LS-BA	49
3.3	Procédui	re d'essais	50
	3.3.1	Chargement	
	3.3.2	Instrumentation et acquisition de données	51
СНА	PITRE 4	CARACTÉRISATION DES MATÉRIAUX	
4.1			
4.2		armature	
4.3		de CFRP	
	4.3.1	Renfort de PRFC	
	4.3.2	Sika CarboDur Rods	
	4.3.3	Sika CarboShear L	
4.4	Colle		
	4.4.1	Sikadur 330	
	4.4.2	AnchorFix 4	
	4.4.3	Sikadur 30	
4.5	Calcul d	e V_{FRP} selon les codes et normes	58
_	PITRE 5	PRÉSENTATION ET ANALYSE DES RÉSULTATS	
5.1		tion des résultats	
	5.1.1	Tableau des résultats	
5.2	•	des résultats	
	5.2.1	Spécimen S1-EB	
	5.2.2	Spécimen S1-ETS-9 mm	
	5.2.3	Spécimen S1-LS-NA	
	5.2.4	Spécimen S1-LS-TA	
	5.2.5	Spécimen S1-LS-PA	
	5.2.6	Spécimen S1-LS-BA	103
CON	CLUSION	ET RECOMMANDATIONS	111
ANN	EXE I	FICHE TECHNIQUE – SikaWrap Hex 230C	117
ANN	EXE II	FICHE TECHNIQUE – Sika CarboDur Rods	121
ANN	EXE III	FICHE TECHNIQUE – Sika CarboShear L	123
ANN	EXE IV	FICHE TECHNIQUE – Sika AnchorFix	127
ANN	EXE V	FICHE TECHNIQUE – Sikadur 30	131
ANN	EXE VI	FICHE TECHNIQUE – Sikadur 330	135

BIBLIOGRAPHIE

LISTE DES TABLEAUX

		Page
Tableau 2.1	Mode de rupture d'une poutre en BA (sans renfort)	25
Tableau 2.2	Mode de rupture poutre en BA (avec PRF) en fonction du rapport	a/d28
Tableau 2.3	Facteurs d'influence utilisés dans les différentes normes de concep pour le calcul du renforcement en cisaillement à l'aide de PRF	
Tableau 3.1	Présentation des différents spécimens	44
Tableau 3.2	Identification des jauges	52
Tableau 4.1	Propriétés mécaniques des types de renfort	56
Tableau 4.2	Résistance en cisaillement du CFRP selon les codes et normes	59
Tableau 5.1	Efforts internes subis par les spécimens durant les essais de préfissuration (avant les essais)	63
Tableau 5.2	Déplacements	63
Tableau 5.3	Efficacité du renforcement en PRF des différents spécimens	64
Tableau 5.4	Gain de résistance en cisaillement des spécimens	65
Tableau 5.5	Comparaison V_{FRP} : expérimentale vs codes et normes	66

LISTE DES FIGURES

Page

Figure 0.1	Pourcentage de la valeur du parc de structures au Québec par décent de construction	
Figure 0.2	Évolution des budgets (composante travaux)	3
Figure 2.1	Types de fissures dans une poutre de béton armé	24
Figure 2.2	Répartition de l'effort axial	26
Figure 2.3	Analogie du treillis	26
Figure 3.1	Caractéristiques des poutres : (a) longueur de la poutre; (b) dimension de la section; (c) ferraillage de la section	43
Figure 3.2	Préparation du spécimen S1-EB : (a) préparation de surface CSP 3-4	1;45
Figure 3.3	Préparation du spécimen S1-ETS-9 mm	46
Figure 3.4	Préparation du spécimen S1-LS-NA	47
Figure 3.5	Préparation du spécimen S1-LS-TA	48
Figure 3.6	Préparation du spécimen S1-LS-PA, ancrage partiel	49
Figure 3.7	Préparation du spécimen S1-LS-BA	50
Figure 3.8	Détail du chargement	50
Figure 3.9	Banc d'essai	51
Figure 3.10	Banc d'essai	52
Figure 3.11	Séquence d'installation des jauges	53
Figure 3.12	Jauges sur renfort externe	54
Figure 3.13	Système d'acquisition automatique de données en temps réel	54
Figure 5.1	Observation spécimen S1-EB (fissure en rouge)	68
Figure 5.2	Force en fonction du temps spécimen \$1_FR	60

Déformation unitaire EB(R) en fonction du temps : spécimen S1-EB	71
Déformation unitaire acier transversal (R) en fonction du temps : spécimen S1-EB	71
Déformation unitaire acier longitudinal en fonction du temps : spécimen S1-EB	73
Mode de rupture du spécimen S1-EB	74
Délaminage du renfort du spécimen S1-EB	75
Fissure de flexion du PRFC spécimen S1-EB	75
Observation spécimen S1-ETS-9 mm (fissure en rouge)	77
Force en fonction du temps pour spécimen S1-ETS-9 mm	78
Déformation unitaire barres ETS(L) en fonction de la force : spécimen S1-ETS-9 mm	79
Déformation unitaire acier transversal (R) en fonction du temps pour spécimen S1-ETS-9 mm	80
Déformation unitaire acier longitudinal en fonction du temps pour spécimen S1-ETS-9 mm	81
Mode de rupture du spécimen S1-ETS-9 mm	82
Rupture de l'étrier ST-2R du spécimen S1-ETS-9 mm	82
Observation du spécimen S1-LS-NA (fissure en rouge)	84
Force en fonction du temps pour spécimen S1-LS-NA	85
Déformation unitaire de l'acier transversal en fonction du temps pour spécimen S1-LS-NA	86
Déformation unitaire L-Shape (L) en fonction du temps pour spécimen S1-LS-NA	87
Déformation unitaire de l'acier longitudinal en fonction du temps pour spécimen S1-LS-NA	87
Mode de rupture du spécimen S1-LS-NA	88
Fissure de préfissuration du spécimen S1-LS-NA	89
	Déformation unitaire acier transversal (R) en fonction du temps : spécimen S1-EB

Figure 5.23	Observation du spécimen S1-LS-TA (fissure en rouge)	90
Figure 5.24	Force en fonction du temps pour spécimen S1-LS-TA	91
Figure 5.25	Déformation unitaire de l'acier transversal en fonction du temps pour spécimen S1-LS-TA	93
Figure 5.26	Déformation unitaire L-Shape (L) en fonction du temps pour spécimen S1-LS-TA	93
Figure 5.27	Déformation unitaire de l'acier longitudinal en fonction du temps : spécimen S1 LS-TA	94
Figure 5.28	Mode de rupture du spécimen S1-LS-TA	95
Figure 5.29	Observation du spécimen S1-LS-PA (fissure en rouge)	97
Figure 5.30	Force en fonction du temps pour spécimen S1-LS-PA	98
Figure 5.31	Déformation unitaire de l'acier transversal en fonction du temps pour spécimen S1-LS-PA	99
Figure 5.32	Déformation unitaire L-Shape (L) en fonction du temps pour spécimen S1-LS-PA	100
Figure 5.33	Déformation unitaire de l'acier longitudinal en fonction du temps pour spécimen S1-LS-PA	100
Figure 5.34	Mode de rupture du spécimen S1-LS-PA	101
Figure 5.35	Observation du spécimen S1-LS-BA (fissure en rouge)	103
Figure 5.36	Force en fonction du temps pour spécimen S1-LS-BA	104
Figure 5.37	Déformation unitaire de l'acier transversal en fonction du temps pour spécimen S1-LS-BA	105
Figure 5.38	Déformation unitaire L-Shape (L) en fonction du temps pour spécimen S1-LS-BA	106
Figure 5.39	Déformation unitaire de l'acier longitudinal en fonction du temps pour spécimen S1-LS-BA	106
Figure 5.40	Mode de rupture du spécimen S1-LS-BA	107
Figure 5.41	Décollement et glissement du renfort pour spécimen S1-LS-BA	108
Figure 5.42	Rupture de l'étrier ST-3L pour spécimen S1-LS-BA	108

LISTE DES ABRÉVIATIONS, SIGLES ET ACRONYMES

a Distance entre le point d'application de la charge et le nu de l'appui

a/d Longueur de cisaillement

 A_f Aire du renfort

BA Béton armé

b_w Largeur de l'âme de la poutre

CON Spécimen de contrôle

CMD Coefficient de majoration dynamique

d Profondeur de la poutre (Hauteur utile)

Db Diamètre de la barre d'armature

 d_f Distance entre la fibre extrême en compression et le centroïde du renfort

en tension

 D_f Facteur de distribution de contrainte

EB Externally bonded

 E_f Module élastique du renfort

 E_{fu} Module élastique du renfort à l'ultime

 E_s Module élastique de l'acier d'armature transversale

ETS Embedded through section

FHWA Federal Highway Administration

 f'_c , f_{ck} , f_{cm} Résistance en compression du béton obtenu à partir d'un test standard

 f_{ctm} Contrainte moyenne du béton en tension

$f_{\it fd}$	Contrainte ultime de conception du PRF
$f_{\it fd,max}$	Contrainte ultime maximale de conception du PRF
$f_{\it fdd}$	Contrainte de conception du décollement du PRF
$f_{\it fe}$	Contrainte effective du renfort (correspond à $arepsilon_{fe}$)
$f_{\it fed}$	Contrainte effective de conception du PRF
f_{fiu}	Contrainte ultime du renfort
f_y	Limite élastique de l'acier d'armature (contrainte)
G_{fk}	Énergie de fracture au joint de chevauchement du renfort
GFRP	Glass fiber reinforced polymer
h_{fe}	Hauteur effective du renforcement
$h_{_{\scriptscriptstyle W}}$	Hauteur de l'âme de la poutre
k_1	Facteur de modification de résistance du béton
k_2	Facteur de modification du modèle d'enveloppe
k_b	Covering/scale coefficient
L_e	Longueur effective du renfort
LG	Barre d'armature longitudinale des spécimens
L_{max}	Longueur d'adhérence maximale
LS	Série de spécimens renforcés à l'aide de lamelles Sika préfabriquées
LVDT	Linear Variable Displacement Transducers

Matériaux composites avancés

MCA

MTQ Ministère des transports du Québec

NA No anchorage

 n_f Nombre de couches de PRF

NSM Near surface mounted

PA Partiellement ancré

 P_{max} Charge maximale dans un cycle de chargement

PRF Polymère renforcé de fibres

PRFC Polymère renforcé de fibres de carbone

 r_c Rayon des coins

Série de spécimens avec armature transversale espacée de s=d/2

s Espacement des étriers

 S_f Espacement entre axes de deux lamelles successives du renfort

ST-i Étrier numéro i (Stirrup)

 S_{uf} Glissement du PRF au décollement (0.20mm)

TA Totalement ancré

*t*_f Épaisseur du renfort

V Effort tranchant total

V_c Effort tranchant repris par le béton

 V_f , V_{fd} Effort tranchant repris par le renfort

 V_{max} Effort tranchant correspondant à la charge P_{max}

 V_r Résistance en cisaillement

V_s	Effort tranchant repris par l'armature transversale
w_f	Largeur des lamelles de renfort
α	Angle d'inclinaison du renfort par rapport à l'axe de la poutre
$oldsymbol{eta}_{\!\scriptscriptstyle L}$	Coefficient de compensation de la longueur d'ancrage insuffisante du PRF
$oldsymbol{eta}_{\scriptscriptstyle w}$	Coefficient du rapport largeur/espacement du PRF
${\gamma}_{\scriptscriptstyle fd}$	Facteur partiel de sécurité sur la qualité de l'application du PRF
γ_{rd}	Facteur partiel de résistance
$\phi_{\scriptscriptstyle R}$	Facteur de réduction dû aux contraintes locales de coin
$\delta_{\scriptscriptstyle max}$	Déplacement vertical de la poutre (flèche) correspondant à P_{max}
$oldsymbol{arepsilon}_f$	Déformation du renfort
$oldsymbol{\mathcal{E}}_{fe}$	Déformation effective du renfort
$oldsymbol{\mathcal{E}}_{\mathit{fu}}$	Déformation ultime du renfort
\mathcal{E}_y	Désignation générale de la limite élastique de l'acier d'armature (déformation)
K_{v}	Coefficient qui tient compte de la longueur d'adhérence effective du renfort
$oldsymbol{ ho}_f$	(L_e) Taux du renfort dans un espacement s_f
$ ho_s$	Taux de l'armature transversale
θ	Angle d'inclinaison des fissures diagonales par rapport à l'axe de la poutre
λ	Longueur d'adhérence maximale normalisée
με	Microdéformation (microstrain)

LISTE DES SYMBOLES ET UNITÉS DE MESURE

GPa Giga Pascal

kN Kilo Newton

MPa Méga Pascal

INTRODUCTION

Contexte général

Depuis le début du dernier siècle, le domaine des transports a connu une croissance phénoménale quant à son accessibilité. L'augmentation du débit journalier moyen annuel jumelé à l'augmentation des charges des véhicules circulants sur nos routes a contribué à la détérioration de nos structures routières. Les charges utilisées dans les conceptions se trouvent ainsi dépassées, ce qui a pour effet d'accélérer le processus de dégradation des matériaux. L'entretien souvent négligé durant plusieurs décennies a mené, depuis bientôt dix ans, à un accroissement des investissements majeurs dans le but de réhabiliter plusieurs structures et ainsi prolonger leurs durées de vie utile et offrir aux usagers un meilleur niveau de sécurité. Ces travaux de réfection souvent très coûteux nécessitent le remplacement de certains éléments. Cependant, les budgets restreints remettent souvent en cause les types d'interventions qui seront réalisées. On optera souvent pour la limitation des charges permises sur les structures en raison du manque de budget pour réparer ou remplacer la structure. Pourtant, l'utilisation de systèmes de renforts en PRF pourrait s'avérer un choix intéressant et économique afin d'offrir un prolongement de la vie utile et une augmentation de résistance en cisaillement de nos structures vieillissantes.

Déficiences des ponts existants

Le cisaillement fait partie des défaillances et problématiques rencontrées sur de nombreuses structures devant être réhabilitées à travers le monde. Au Québec, suite à l'effondrement du viaduc de la concorde en 2006, le ministère des Transports du Québec (MTQ) a révisé son plan d'intervention et d'entretien pour son parc d'infrastructures. Une méthode d'évaluation a été mise au point pour établir le plus précisément possible l'état général des structures et d'établir des priorités d'interventions, en se basant sur l'état des matériaux et sur le comportement des éléments à jouer leurs rôles. Le bilan de l'état des structures du réseau routier supérieur publié en 2011 révèle que plus de 70 % des structures sous la responsabilité du MTQ ont été construites entre 1960 et 1980 (figure 0.1). Ce contexte explique que 31,9 % de l'ensemble d'entre elles ont eu recours ou nécessiteront une intervention d'ici 2016. La

figure 0.2 montre l'investissement mis en place entre 1988 et 2011 pour la construction ou la réfection des structures au Québec.

Le ministre des Transports a annoncé en mars 2015 un investissement de 4,9 milliards de dollars pour le réseau routier entre 2015 et 2017, dont 3 milliards destinés aux structures : 1001 structures sur le réseau du MTQ et 392 structures sur le réseau municipal. Depuis 2009, le pourcentage des structures en bon état a cru de 10 %, ce qui est signe d'une nette amélioration. Cependant, il est important de noter que selon Transport Canada, le nombre de ponts âgés de plus de 50 ans est passé de 870 à 1318 entre 2006 et 2010. Comme quoi le vieillissement des structures est toujours un enjeu important.

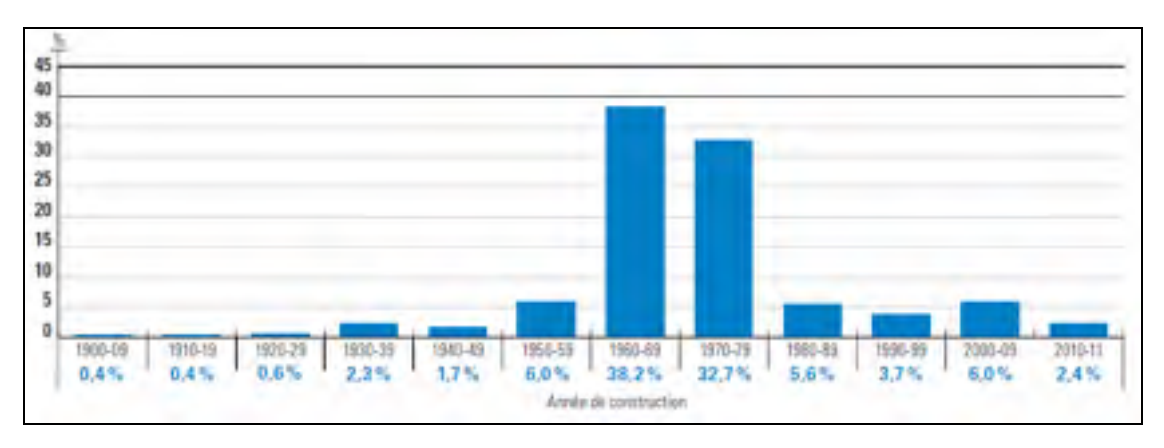


Figure 0.1 Pourcentage de la valeur du parc de structures au Québec par décennie de construction

Tirée de Ministère des Transports du Québec. 2011. « *Bilan de l'état des structures du réseau routier supérieur* ». En ligne. 34 p.

http://www.bv.transports.gouv.qc.ca/per/0994120/05 2011.pdf.

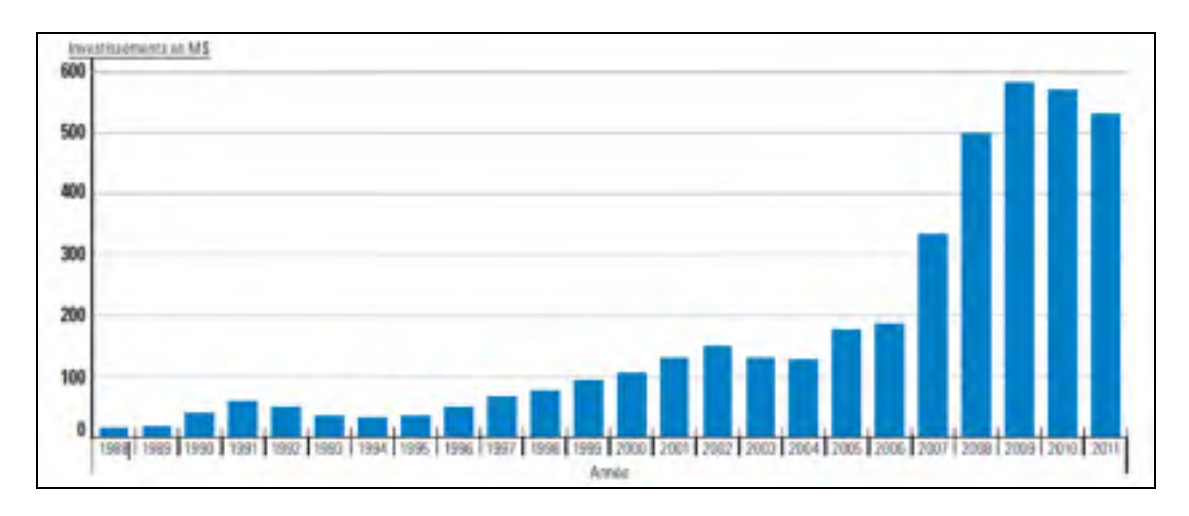


Figure 0.2 Évolution des budgets (composante travaux)

Ministère des Transports du Québec. 2011. « *Bilan de l'état des structures du réseau routier supérieur* ». En ligne. 34 p.

http://www.bv.transports.gouv.qc.ca/per/0994120/05 2011.pdf.

Aux États-Unis, selon des statistiques de 2013 provenant de la FHWA (Federal Highway Administration) (U.S. Departement of transportation 2015), près de 24 % des 607 750 ponts répertoriés présenteraient des déficiences structurelles, (10 %) auraient un fonctionnement obsolète et (14 %) seraient simplement déficients. Selon ce bilan alarmant, la FHWA estime que des investissements annuels de 20,5 milliards de dollars seraient nécessaires durant les 13 prochaines années pour rétablir cette situation.

Problématique du renforcement en cisaillement à l'aide de PRF

Dans le domaine des structures, le comportement des poutres en béton armé a fait l'objet de nombreuses études à travers le monde durant les deux dernières décennies. Cependant, la majorité des études réalisées traitent du comportement en flexion. Le cisaillement, un mode de rupture qui reste encore aujourd'hui interprété avec incertitude, fait l'objet d'un nombre grandissant de recherches. À ce jour, des analyses utilisant différentes méthodes de renforcement en cisaillement à l'aide de PRF ont été effectuées pour évaluer le comportement de poutres de béton armé renforcées à l'aide de matériaux composites. La méthode la plus courante est celle qui consiste à coller en surface sur l'âme des poutres un

tissu de PRF à l'aide d'une résine époxy; cette méthode est nommée "externally bonded" (EB). Plusieurs recherches ont démontré que cette méthode de renforcement permettait d'offrir un gain de résistance en cisaillement aux poutres de béton armé (Uji 1992; Chajes et al. 1995; Khalifa et Nanni 1999; Täljsten 2003; Bousselham et Chaallal 2004). L'application de bandes de PRFC est aussi une méthode de renfort couramment étudiée. Pour accélérer la mise en place de ce système, Sika a développé des lamelles préfabriquées pouvant être installées sur l'âme des poutres de béton armé en limitant ainsi le temps de mise en place. Ce système a aussi fait l'objet de recherches qui ont démontré des gains de résistance en cisaillement appréciables (Al-Mahaidi et al. 2001; Czaderski et Motavalli 2004; Mofidi et al. 2014). Pour pallier aux problèmes de décollement du renfort, empêchant de profiter de la pleine capacité du renfort, une méthode novatrice appelée "ETS (Embedded Trough Section)" a été développée récemment (Chaallal et al. 2011). Cette méthode utilise des tiges de fibre de carbone insérées à travers la section. Le confinement des tiges de PRF, offert par l'enrobage de béton, permet d'obtenir des gains de résistance en cisaillement importants. En se basant sur des conclusions tirées à ce jour et des résultats expérimentaux provenant des essais réalisés dans ce mémoire, ces différents systèmes de renforts seront comparés en termes de gain de résistance et de faisabilité de mise en place.

Lorsqu'il est question de conception, les différents codes et normes internationaux utilisent des modèles de calculs qui permettent d'estimer la contribution du renfort de PRF lors de la réhabilitation en cisaillement de poutres de béton armé. Cependant, qu'il s'agisse de la norme ACI 440-2R (2008), de la CSA S806 (2012), de la CSA S6 (2014), de la *fib-TG* 9.3 (2001), CNR-DT200 (2004) ou de la HB 305 (2008), les résultats obtenus diffèrent en raison de certains paramètres d'influence majeure considérés par ces normes. Bien que clairement établi, le gain de résistance offert par les différents systèmes de renfort reste toujours difficile à évaluer. En effet, certains paramètres, tels que : (i) le patron de fissuration existant et (ii) l'effet des armatures transversales ne sont toujours pas considérés dans les modèles de calculs de ces différentes normes

Objectif du projet

Le principal objectif de ce projet de recherche est de comparer les différentes méthodes de renforcement à l'aide de PRF utilisées dans l'industrie pour le renforcement en cisaillement de poutres de béton armé d'un point de vue de performance et de mise en place.

Les objectifs spécifiques du projet s'établissent comme suit :

- a) évaluer l'interaction entre le béton, l'armature et le renfort de PRF à l'aide des déformations unitaires des différentes composantes des spécimens lors du chargement en temps réel;
- b) comparer les charges à la rupture pour établir le gain de résistance en cisaillement des différentes méthodes de renforcement;
- c) analyser les modes de rupture sur les différents spécimens pour tirer des conclusions sur le comportement face aux efforts de cisaillement une fois la poutre renforcée et l'effet des ancrages.

Méthodologie

Pour rencontrer les objectifs, la méthodologie utilisée renferme une partie théorique et une partie expérimentale, comme suit :

• la partie théorique met en évidence l'état des connaissances à ce jour sur les différentes méthodes de renforcement à l'aide de PRF analysées dans ce mémoire. Elle inclut l'état des connaissances qui provient d'essais réalisés sur des spécimens renforcés avec les différentes méthodes de renforcement en cisaillement à l'étude : (i) renfort de tissu de PRFC collé en U (EB), (ii) renfort de tiges enduites à travers l'âme de la section (méthode ETS) et (iii) renfort en lamelles de PRFC préfabriquées en L collées en surface sur l'âme des poutres. L'étude de ce volet théorique a permis d'établir les points importants relevant du comportement des poutres en béton armé renforcées en cisaillement : la fissuration et les modes de rupture observés, les dimensions des spécimens couramment utilisés et à prioriser, l'identification des paramètres d'influence

majeure à considérer, ainsi que les mécanismes de résistance observés. Les dimensions des spécimens, les propriétés mécaniques des matériaux utilisés, le type et l'emplacement de l'instrumentation relatifs au présent programme expérimental ont tous été choisis selon des observations provenant de l'état des connaissances.

• la partie expérimentale, quant à elle, permet de comparer les différents systèmes de renforcement en les mettant à l'essai sur des spécimens préfissurés ayant un patron de fissuration similaire, soumis à une charge croissante jusqu'à la rupture. Cette comparaison a été possible en considérant les paramètres suivants : (a) charge ayant créée la fissuration avant renforcement, (b) taux de renfort, (c) similitude du type de poutre et (d) similitude du taux d'armature transversale, et ce, entre les différents spécimens. Les difficultés et méthodes de mise en place ont été analysées et évaluées afin d'établir la faisabilité de mise en place des différents types de renfort en chantier.

Contenu du mémoire

Ce mémoire est divisé en cinq chapitres :

- le chapitre 1 présente une revue de littérature sur le comportement des poutres de béton armé renforcées en cisaillement à l'aide de PRF. Cette revue traite des différentes méthodes de renforcement à l'étude dans ce mémoire;
- le chapitre 2 présente les aspects théoriques en lien avec le renforcement en cisaillement à l'aide de PRFC. Il traite (a) du comportement face à l'effort tranchant des poutres en BA,
 (b) du comportement des poutres en BA renforcées en cisaillement à l'aide de PRF et (c) présente les différentes normes et modèles de conception des ouvrages en béton armé réhabilités en cisaillement à l'aide de PRF;

- les chapitres 3 et 4 sont consacrés au programme expérimental. Le chapitre 3 décrit le programme expérimental et présente les différents spécimens mis à l'essai ainsi que le système d'instrumentation mis en place afin de recueillir les données durant le chargement. Le chapitre 4 présente les propriétés des matériaux constituant les différents spécimens;
- le chapitre 5 présente les résultats expérimentaux obtenus suite aux essais et rend une analyse détaillée des valeurs obtenues et des comportements observés.

Pour terminer, une conclusion résume et explique les points importants observés suite aux essais réalisés et présente des recommandations pour l'utilisation et le choix des systèmes de renfort à préconiser selon certains paramètres.

CHAPITRE 1

COMPORTEMENT DES POUTRES RENFORCÉES EN CISAILLEMENT À L'AIDE DE PRF SOUS CHARGE STATIQUE – REVUE BIBLIOGRAPHIQUE ET SYNTHÈSE

1.1 Introduction

Les recherches réalisées en termes de comportement des poutres renforcées en cisaillement à l'aide de PRF, depuis un peu plus de deux décennies, ont permis de développer différents systèmes de renforcement qui aujourd'hui permettent d'offrir un gain en résistance et d'augmenter la sécurité des usagers face à l'utilisation de structures ayant subi certains dommages.

L'ensemble des études réalisées sur les poutres en béton armé renforcées en cisaillement à l'aide de PRF confirme les bienfaits d'utiliser ces différentes méthodes de renforcement. Qu'il s'agisse d'un renfort à l'aide de tissu collé en surface (EB), de tiges en PRF insérées à travers l'élément (ETS) ou de lamelles en U collées en surface (L-Shape), ces systèmes ont démontré un gain notable en résistance qui justifie leur utilisation pour le renforcement des structures endommagées en cisaillement.

La revue de littérature qui suit présente des études qui ont été réalisées sur les différentes méthodes de renforcement reportées dans la littérature. Chacun des articles présentés dans cette section met en revue les objectifs, le programme expérimental ainsi que les observations sur les comportements et le gain de résistance amené par le renforcement de PRF.

1.2 Revue des travaux sur le renforcement externe tissu collé en surface (EB)

La majeure partie des essais réalisés à ce jour sur les poutres renforcées en cisaillement à l'aide de PRF a été menée à l'aide de tissu collé en surface. Les premiers essais étaient principalement réalisés sur des poutres rectangulaires. Ce n'est qu'au début des années 2000

que les poutres en T ont commencé à être étudiées. L'analyse sur les poutres en T a permis d'offrir une représentation plus juste des conditions réelles, en considérant la contribution de la dalle située au-dessus de la poutre.

Berset (1992)

La première étude sur le renforcement en cisaillement à l'aide de PRF a été réalisée par Berset (1992). L'objectif visé par sa série de tests était d'analyser le comportement de poutres renforcées en cisaillement à l'aide de composite en PRF. Les tests ont été exécutés sur une série de six poutres rectangulaires ayant des dimensions de 102 mm x 114 mm x 600 mm. Cette expérimentation a été réalisée en considérant deux paramètres : (i) l'épaisseur du renfort de PRF et (ii) l'implication des étriers. Le renfort de PRF a été collé en surface sur les côtés des spécimens à un angle de 45°. Les gains en résistance en cisaillement obtenus se sont établis entre 33% et 66% en fonction de l'épaisseur du renfort. Les spécimens n'ayant aucun acier transversal ont présenté un mode de rupture par décollement du renfort tandis que ceux munis d'acier transversal ont cédé en flexion. Cette étude a permis de démontrer, par l'évaluation de la contrainte maximum du PRF, que l'utilisation de PRF pouvait accroître la résistance en cisaillement. L'auteur propose cependant de porter une attention particulière au phénomène de l'effet d'échelle puisque les spécimens étudiés étaient de dimensions réduites.

Uji (1992)

Uji (1992) a testé huit poutres rectangulaires de 100 mm x 200 mm x 1300 mm, renforcées en cisaillement à l'aide de PRF de carbone et ayant un rapport de longueur de cisaillement a/d de 2.5. L'objectif de cet essai était de comparer l'apport du renforcement en comparant : (i) la configuration par tissu collé en surface sur les côtés avec celle par tissu collé en U autour de la section et (ii) l'effet des barres transversales en analysant des poutres avec et sans barres de renforcement transversales. Le principal mode de rupture observé fut par décollement du renfort. La principale observation amenée par l'auteur est que la contrainte sur le renfort est supérieure à celle enregistrée sur les barres transversales des spécimens qui

en comportent. De plus, l'auteur affirme que la résistance en cisaillement des spécimens renforcés est gouvernée par l'adhérence du renfort à l'interface du béton.

Chajes et al. (1995)

Chajes et al. (1995) ont testé 12 poutres en T ayant un rapport *a/d* de 2.7, de dimensions 63 mm x 190 mm et une portée de 1220 mm. Les spécimens ne comportaient aucune armature transversale. Cette analyse visait à identifier le gain de résistance de poutres renforcées à l'aide de trois différents types de renforts, soit fibre de verre, d'aramide et de carbone. Tous les spécimens étaient enveloppés en U sur toute la longueur avec les fibres orientées à différents degrés (0° et 90°) et à des angles de 45° et 135° pour ceux utilisant la fibre de carbone. Les gains de résistance en cisaillement obtenus ont atteint 60% à 150% et une déformation unitaire à la rupture de 0,005 με. Celle-ci a été utilisée pour évaluer la contribution du PRF à la résistance en cisaillement.

Kamiharako et al. (1997)

Kamiharako et al. (1997) ont testé huit poutres rectangulaires en deux séries. La série 1 incluait des spécimens de dimensions 250 mm x 400 mm x 3000 mm et la série 2 comportait des spécimens de dimensions 400 mm x 600 mm x 3000 mm. L'objectif visé par ces essais était d'évaluer l'influence de certains paramètres dont : (i) la rigidité du PRF des spécimens entièrement enveloppés de fibre aramide ou de fibre de carbone, (ii) d'évaluer l'influence de la résine en comparant des spécimens renforcés avec ou sans résine et (iii) d'évaluer l'influence de la taille du spécimen. Suite aux essais, les gains de résistance obtenus par le renfort de PRF variaient entre 31% et 93%, selon la rigidité du PRF et de la taille du spécimen. La disparité de ces résultats s'explique aussi par le rapport *a/d* qui diffère entre les spécimens de la série 1 et 2 (2.5 et 1.7, respectivement). L'auteur stipule que ce paramètre influencerait clairement le comportement en termes de résistance. Les résultats ont aussi démontré des valeurs supérieures pour les spécimens renforcés avec la fibre de carbone. Finalement, les résultats obtenus démontrent que l'utilisation de résine est essentielle au gain de résistance offert par le PRF.

Khalifa et Nanni (1999)

Khalifa et Nanni (1999) ont testé 12 poutres rectangulaires préfissurées ayant des dimensions de 150 mm x 305 mm x 3050 mm. L'objectif de cet essai visait à évaluer l'influence de certains paramètres, tels que : (i) l'influence des barres transversales, (ii) le rapport a/d ainsi que (iii) la configuration du renfort comme suit : (a) bandes de tissu de différentes largeurs collées en U, (b) tissu muni de fibres unidirectionnelles collé en U sur toute la longueur, et (c) tissu de fibres bidirectionnelles collé en continu sur le côté du spécimen. En comparant les tissus de fibres unidirectionnelles et bidirectionnelles, l'auteur visait à établir l'influence des fibres horizontales sur la résistance en cisaillement. Les résultats obtenus dans cette étude montrent que les fibres à 0 degré permettaient d'augmenter la résistance en cisaillement en offrant une retenue horizontale. Sur les spécimens munis d'étriers, l'utilisation de PRF soulageait les contraintes sur les barres transversales par interaction entre le renfort en PRF et les barres transversales. De plus, les résultats sur deux tests indiquaient un accroissement de la résistance en cisaillement lorsque que le rapport a/d augmentait. Une augmentation variant entre 40% et 138% a été obtenue dépendamment de la configuration des spécimens.

Deniaud et Cheng (2001)

Deniaud et Cheng (2001) ont testé huit poutres en T de dimensions 140 mm x 600 mm x 3700 mm. L'objectif visé était d'évaluer l'influence de certains paramètres, tels que : (i) l'espacement des étriers; (ii) le type de fibre utilisé : (a) fibre de verre ou (b) fibre de carbone; et (iii) l'orientation de la fibre : 90°, 45°/90°, et triaxiale 0°/60°/-60°. En observant les déplacements des différents spécimens, l'auteur note que les barres transversales et le renforcement externe n'influenceraient pas la rigidité puisque des déformations similaires ont été enregistrées sur l'ensemble des spécimens à l'étude. Par contre, la résistance ultime ainsi que la ductilité des spécimens étaient clairement influencées par la quantité d'armatures transversales et l'application de renforts en PRF. Enfin, l'auteur stipule qu'il y a une interaction entre les barres transversales et le renfort de PRF et remarque que la contribution du PRF diminue avec l'augmentation du taux d'armature transversale.

Chaallal et al. (2002)

Chaallal et al. (2002) ont réalisé 28 tests sur 14 poutres en T ayant des dimensions de 130 mm x 450 mm x 6000mm et un rapport a/d de 2. L'objectif de ces essais visait à étudier deux paramètres : (i) l'espacement des étriers et (ii) le nombre de couches de PRFC. Les spécimens renforcés présentaient un système de renforts collés en U sur l'âme de la poutre. Suite à la rupture de la table de compression et du renfort près des appuis des spécimens, le renfort a été retiré et un éclatement complet a été remarqué. De ce fait, le renfort avait donc joué un rôle de confinement du béton dans la zone de compression. Les auteurs ont également démontré que la résistance en cisaillement augmentait avec le nombre d'épaisseurs de renforts. Les résultats émanant de ces essais ont aussi démontré que plus l'espacement entre les barres d'acier transversales diminue, moins la contribution sur la résistance en cisaillement du PRFC est grande. Pour faire suite à cet essai, les auteurs proposent un modèle basé sur l'analogie du treillis en ajoutant un facteur qui prend en considération le rapport a/d pour l'étendre aux spécimens de poutres élancées.

Täljsten (2003)

Täljsten (2003) a réalisé des essais sur sept poutres rectangulaires ayant des dimensions de 180 mm x 500 mm x 4500 mm et un rapport a/d de 2,7. L'objectif de cette étude visait à évaluer l'influence de certains paramètres, tels que : (i) l'orientation des fibres (45°, 0°, 90°) et (ii) l'épaisseur du renfort de PRFC. Tous les spécimens à l'étude, à l'exception du spécimen de contrôle, étaient renforcés à l'aide de tissu collé en U. De plus, les poutres ne disposaient d'aucune armature transversale dans la zone de cisaillement pour mieux évaluer la contribution du béton, de résistance en compression comprise entre 59 MPa et 71 MPa, et le renfort muni de fibres unidirectionnelles. Les essais réalisés à l'aide d'un chargement en quatre points ont démontré un gain de résistance dû au PRFC variant entre 100% et 170%. Suite aux résultats obtenus, l'auteur remarque que le gain de résistance du PRF est limité par la résistance en compression du béton puisque l'ensemble des spécimens a cédé par écrasement de la bielle de compression. De plus, les spécimens dont l'orientation de la fibre est perpendiculaire à la fissure ont le mieux performé.

Bousselham (2005)

Bousselham (2005) a réalisé 34 tests répartis en deux séries dont la première constituée de 22 poutres en T de 152 mm x 406 mm x 4520 mm et une deuxième série de 12 poutres en T de 95 mm x 220 mm x 3000 mm. Toutes les poutres ont été renforcées à l'aide de tissu de fibres de carbone bidirectionnelles collé en U sur toute la longueur de l'âme des poutres. L'objectif visé lors de ces essais était d'évaluer le comportement des poutres renforcées en cisaillement en observant certains paramètres; tels que : (i) le taux de PRFC, (ii) le taux d'acier transversal, (iii) le type de poutre (élancée ou profonde), et (iv) la taille des spécimens. Ces essais ont montré que l'augmentation du taux de PRF n'était pas proportionnelle à sa contribution en termes de gain en résistance et que cette contribution était influencée par le taux d'acier transversal. Il a été observé que plus le taux d'acier augmente, moins la contribution du PRF est importante. De plus, l'auteur indique que de meilleurs résultats ont été obtenus sur les spécimens de type élancé et que la contribution du PRF est influencée par la taille du spécimen. Suite aux résultats obtenus, l'auteur propose un modèle fondé sur l'adhérence à l'interface PRF-Béton.

Godat et al. (2010)

Godat et al. (2010) ont réalisé des essais sur sept poutres rectangulaires de dimensions différentes afin d'être en mesure d'obtenir une compréhension plus juste de l'influence de l'effet d'échelle sur la contribution du renfort en PRF des poutres renforcées en cisaillement à l'aide de PRF. Les dimensions des trois séries de spécimens étaient respectivement de 100 mm x 200 mm x 900 mm pour la première série, de 200 mm x 400 mm x 1800 mm pour la deuxième série et de 300 mm x 600 mm x 2700 mm pour la troisième série. Les spécimens ont été renforcés à l'aide de bande en U et de bande enveloppant entièrement le spécimen, espacé de façon variable selon la dimension du spécimen. Notons que toutes les poutres mises à l'essai avaient le même pourcentage d'acier longitudinal et ne comportaient aucune armature transversale. L'analyse des contraintes enregistrées sur le béton, l'acier et le renfort ont été traités à l'aide d'un logiciel en trois dimensions par la méthode des éléments finis. Cette méthode d'analyse a permis d'observer que la contrainte axiale n'était pas répartie uniformément sur toute la hauteur des bandes de renfort. Enfin, ces essais ont démontré que

la contribution du PRF était plus grande sur les spécimens de petite taille comparativement à ceux ayant des dimensions qui s'approchent de la réalité. En comparant les résultats expérimentaux aux différentes normes, les auteurs mentionnent que la norme ACI est celle qui, en termes de résistance offerte par le PRF, s'approche le plus des résultats obtenus.

Mofidi et Chaallal (2011)

Mofidi et Chaallal (2011) ont dressé une liste des paramètres influant sur la contribution en cisaillement de poutres renforcées à l'aide de PRF: méthode de renfort (en U ou en lamelle sur le côté), déformation unitaire, longueur d'ancrage, rapport largeur des bandes VS espacement, paramètres des fissures, et l'effet des armatures transversales. Ces paramètres ont été analysés en lien avec les normes en vigueur, dont aucune ne tient compte de l'influence de l'acier transversal. L'objectif visé dans cette étude était de proposer un modèle de calcul qui prendrait en considération l'influence du taux d'armatures transversales dans le calcul de la contribution du renfort en PRF. Le modèle a été développé en utilisant et en analysant 75 résultats de recherches provenant de la littérature, de poutres renforcées à l'aide de tissu en U et de bande collée sur les côtés ayant rompues par décollement du renfort, en les comparant avec les modèles de calculs proposés par les normes actuelles. Le modèle proposé par les auteurs présente des valeurs plus près des résultats expérimentaux que ceux obtenus à l'aide des différentes normes actuelles. Une nouvelle largeur effective considérant l'implication du patron de fissure multiple a été introduite dans l'équation ainsi qu'un nouveau coefficient tenant compte de l'influence de l'armature transversale.

El-Maaddawy et Chekfeh (2012)

El-Maaddawy et Chekfeh (2012) ont réalisé 14 tests sur huit poutres en T de 120 mm x 240 mm x 3200 mm renforcés à l'aide de différentes épaisseurs de tissus collés en U sur toute la longueur. Tous les spécimens étaient munis d'étriers 15M espacés de 120 mm dans la zone de cisaillement. Le programme expérimental a été mené sous deux groupes : (A) trois poutres chargées jusqu'à rupture n'ayant pas été préfissurées avant l'application du renfort et (B) cinq poutres ayant été chargées jusqu'à la charge maximale avant d'être renforcées et chargées à nouveau jusqu'à rupture. L'objectif de ces essais était de : (i) vérifier s'il était possible de redonner, à des poutres ayant subi des dommages sévères, leur résistance

d'origine, (ii) étudier l'influence de différents systèmes d'ancrages mécaniques et (iii) comparer les résultats obtenus avec les différentes normes internationales. Les résultats ont montré qu'il était possible de restaurer une poutre ayant subi des dommages sévères en recouvrant 91% de sa résistance originale lorsqu'aucun système d'ancrage n'est mis en place, 117% pour les poutres renforcées avec un système de fixation d'une tige de 4 mm de diamètre enfoncée à l'aide d'une charge explosive et entre 130% et 145% de gain de résistance pour une tige filetée de 10 mm de diamètre introduite à travers la partie supérieure de l'âme. De plus, les auteurs mentionnent que le nombre de couches n'aurait pas une grande influence sur le gain de résistance pour les spécimens munis d'ancrage.

El-Saikaly et al (2014)

El-Saikaly et al. (2014) ont réalisé 12 essais sur des spécimens ayant des dimensions de 152 mm x 406 mm x 4520 mm. Le programme expérimental comportait trois séries munies de : (a) poutres sans étrier, (b) poutres avec étriers espacés de 260 mm et (c) poutres avec étriers espacés de 175 mm. Les trois séries comptaient : (i) un spécimen de contrôle, (ii) un spécimen renforcé à l'aide de tissu en U collé sur toute la longueur, (iii) un spécimen renforcé de bande en L et (iv) un spécimen renforcé de bande en L avec ancrages par cordage introduit à travers la semelle de la poutre en T. L'objectif visé par ces essais était de valider l'efficacité d'un nouveau système d'ancrages composé de cordes de CFRP introduites à travers la semelle, visant à reproduire les effets du tissu collé enveloppant entièrement le spécimen. Les résultats ont montré que ce système pouvait amener jusqu'à 96% en gain de résistance pour le spécimen qui ne contient pas d'armature transversale. Ceci indique qu'une meilleure performance est obtenue lorsque le décollement prématuré du renfort est contrôlé. De plus, les résultats ont montré que la contribution du PRF doublait en présence d'ancrages. Ainsi, ce système mène à l'utilisation de la pleine capacité des matériaux et se traduit par une rupture par éclatement du béton. Il a aussi été noté que l'angle de fissuration s'accentuait en présence d'acier transversal et du système d'ancrages. Les auteurs avancent que cette méthode pourrait amener une diminution considérable des coûts reliés à la mise en place de système d'ancrages.

1.3 Barres de PRFC noyées dans l'âme de la section (méthode ETS)

À ce jour, peu d'essais ont été réalisés à l'aide de ce système de renforcement, qui consiste à insérer des tiges de PRFC à l'intérieur de trous forés dans l'âme de la section et les sceller à l'aide de résine époxy. Une présentation d'un essai réalisé avec cette technique de renforcement est décrite ci-dessous.

Chaallal et al. (2011)

Chaallal et al. (2011) ont effectué 12 tests sur six poutres en T ayant des dimensions de 152 mm x 406 mm x 4520 mm, renforcées en cisaillement à l'aide de trois méthodes de renforcement, soit : tissu en U continu collé en surface (EB), barres encastrées en surface sur les parois latérales de l'âme (NSM) ainsi que des barres noyées dans l'âme de la section (ETS). L'objectif visé par ces essais était de comparer l'efficacité, en termes de gain de résistance en cisaillement, des barres ETS avec les autres méthodes de renforcement en cisaillement existantes. Les paramètres étudiés dans ce programme étaient : (i) le gain de résistance pour le même taux de renfort, (ii) l'influence de la présence d'étriers internes et (iii) l'espacement des étriers. Les résultats obtenus ont clairement montré que le système ETS présentait des performances supérieures. Une augmentation de la résistance moyenne de 60% pour les spécimens renforcés à l'aide des barres ETS comparativement à 23% et 31% pour les spécimens EB et NSM respectivement. Les auteurs précisent que le gain de résistance aurait été supérieur pour les spécimens ETS contenant des barres transversales si ceux-ci n'avaient pas rompu en flexion. Un comportement ductile a aussi été observé pour les spécimens ETS contenant des barres transversales, une flèche beaucoup plus importante a été enregistrée avant rupture. Suite aux résultats obtenus, les auteurs décrivent qu'il serait bénéfique de pousser la recherche sur ce type de renforcement en étudiant plus en détail l'effet des espacements des étriers pour ensuite développer un modèle de calcul relié à cette méthode de renforcement.

Godat et al. (2012)

Godat et al. (2012) ont réalisé 13 tests d'arrachement sur des blocs de béton de 190 mm x 190 mm. Les barres de type Sika Carbodur Rods et V-Rod de Pultrall recouvertes de sable ont été soumises à un test d'arrachement pour être en mesure de quantifier l'influence de certains paramètres. L'objectif de cette étude avait pour but d'évaluer l'efficacité d'adhésion et de comparer certaines configurations en considération : (i) de la résistance en compression du béton, (ii) du diamètre du trou foré, (iii) du diamètre de la barre de PRF, (iv) de la surface de contact et (v) de la longueur d'adhésion. Les spécimens testés avaient une profondeur d'ancrage variant entre 48 mm et 285 mm et des trous préalablement forés de 1,25 Db et 2,0 Db, où Db représente le diamètre de la tige de renfort de PRF. Les résultats obtenus ont montré que le décollement pouvait être prévenu et contrôlé en utilisant une profondeur d'ancrage suffisante et un béton ayant une résistance en compression élevée. Les tests ont aussi montré que le diamètre de préperçage idéal était de 1,5 fois le diamètre de la barre de PRF. Le traitement à la surface des barres s'est avéré inutile sur les spécimens offrant une longueur d'ancrage suffisante et il n'avait aucun effet sur la rigidité contrairement à la résistance du béton. Les auteurs mentionnent que les résultats de résistance d'adhésion seraient dus à un meilleur confinement des barres de PRF.

Qin et al. (2014)

Qin et al. (2014) ont réalisé des essais sur neuf poutres en T ayant des dimensions de 125 mm x 360 mm x 2700 mm, munies d'étriers de 8 mm espacés de 275 mm. L'objectif de ces essais était d'étudier l'influence de la corrosion de l'armature sur la contribution de deux méthodes de renforcement en cisaillement : tissu de PRF collé en U (EB) et tige de renfort en PRF insérée par forage dans l'âme de la poutre (méthode ETS). Le programme expérimental comptait neuf poutres réparties en trois groupes : (i) poutre sans renfort, (ii) poutres renforcées avec le système EB et (iii) poutres renforcées avec la méthode ETS. Trois niveaux de corrosion ont été analysés pour chacun des trois groupes : (a) 0% de corrosion, (b) 7% de corrosion et (c) 12% de corrosion. Les résultats obtenus suite au chargement ont montré que plus le niveau de corrosion augmente, plus la contribution du renfort sur le gain de résistance au cisaillement diminue. Cependant, il faut noter que lorsque le niveau de corrosion se situe à 7%, cette réduction n'est pas significative. De plus, les contraintes enregistrées sur le système

de renfort ETS sont supérieures à celles obtenues sur le renfort EB qui a cessé de contribuer suite à un décollement prématuré, tandis qu'aucun signe de décollement n'a été observé sur les spécimens renforcés avec la méthode ETS.

1.4 Lamelles Sika CarboShear L (LS)

À ce jour, les essais réalisés sur le renforcement en cisaillement de poutres en béton armé à l'aide de PRF ont surtout été réalisés à l'aide de tissu collé en surface, soit sous forme de tissu continu en U, ou de bandes de tissu espacées en U. Afin d'accélérer la mise en œuvre du système de renforts en bande de PRF, Sika a développé un système de lamelle en L préfabriquée servant au renfort en cisaillement de poutres rectangulaires ou en T en béton. Les études réalisées sur ce type de renforts seront présentées dans ce qui suit.

Al-Mahaidi et al. (2001)

Al-Mahaidi et al. (2001) ont testé trois poutres en T de 140 mm x 305 mm x 3500 mm préfissurées en cisaillement et renforcées à l'aide de lamelles Sika L-Shape espacées de 150 mm, soit d/2. Les lamelles étaient toutes ancrées dans la semelle supérieure de la section. En plus de l'analyse des résultats expérimentaux, une analyse non linéaire par éléments finis a été menée. L'objectif de ces essais était, dans un premier temps : (i) d'évaluer la contribution sur la résistance au cisaillement de lamelles Sika L-Shape et (ii) valider si l'analyse non linéaire par éléments finis était viable pour prédire le comportement des poutres renforcées en cisaillement à l'aide de PRF. Les résultats obtenus suite aux essais ont montré un gain de résistance en cisaillement variant entre 68% et 87%. L'analyse non linéaire par éléments finis a prouvé qu'il était possible de prédire le comportement des poutres renforcées en cisaillement et de tracer une image claire des contraintes dans les lamelles de renfort et du profil de fissuration de l'élément.

EMPA (2002)

EMPA (2002) a réalisé six tests sur des poutres en T de 150 mm x 500 mm x 4000 mm. Cette série de spécimens était composée de deux poutres de contrôle, avec et sans acier transversal, et de quatre poutres renforcées à l'aide de lamelles L-Shape de Sika espacées de 300 mm

dont une ne possédant pas de barre transversale. Le programme expérimental a été mené en trois étapes soit : (i) quatre poutres intactes sous charge statique croissante, (ii) une poutre préfissurée sous charge statique croissante, et (iii) une poutre intacte sous charge cyclique suivie d'une charge statique croissante. L'objectif de ces essais visait à : (a) déterminer la contribution en cisaillement des lamelles en L (L-Shape), (b) déterminer l'influence de la préfissuration sur la contribution en cisaillement des lamelles L-Shape et (c) déterminer l'influence d'une charge cyclique sur la contribution en cisaillement des lamelles L-Shape. Les résultats obtenus lors de ces essais ont démontré que l'utilisation des lamelles Sika L-Shape offrait une contribution favorable au gain de résistance en cisaillement et pouvait aussi permettre de procurer une certaine ductilité avant rupture. Dans le cas de la poutre préfissurée, une augmentation de la résistance a aussi été enregistrée et l'étude a démontré que la part de contribution due à l'acier transversal est plus élevée que dans les spécimens renforcés non fissurés. La poutre renforcée soumise à cinq millions de cycles avant d'être testée sous charge statique jusqu'à la rupture n'a quant à elle montré aucun changement majeur concernant les contraintes et déformations à l'atteinte de la charge maximale enregistrée comparativement à un spécimen semblable n'ayant pas été testé en fatigue.

Czaderski et Motavalli (2004)

Czaderski et Motavalli (2004) ont testé deux poutres en T préfissurées de 150 mm x 500 mm x 4000 mm ayant un rapport a/d de 2,9 et renforcées en cisaillement à l'aide de lamelles Sika L-Shape. Les deux spécimens étaient munis d'étriers de 8 mm de diamètre espacé de 150 mm. L'objectif visé était de comparer la résistance maximale et la contribution du renfort soumis à une charge cyclique. Pour mener à bien cette étude expérimentale, un protocole en quatre étapes a été réalisé soit : (i) application d'une charge statique de 450 kN pour créer une préfissuration sur les spécimens, (ii) chargement cyclique en fatigue jusqu'à cinq millions de cycles variant entre 300 et 450 kN, (iii) application de charges statiques de 450 kN et 300 kN, et (iv) application d'une charge statique jusqu'à la rupture. Pour être en mesure de quantifier l'influence de la fatigue, le deuxième spécimen a été testé sous charge statique uniquement. Les résultats obtenus ont permis de démontrer que les lamelles L-Shape permettaient d'offrir un excellent comportement sous charges cycliques. En effet, les

résultats présentés ont montré que les charges maximales atteintes à la rupture ainsi que les contraintes dans les deux spécimens étaient similaires. Par contre, une augmentation des contraintes dans le renfort et de la flèche a été observée suite aux cycles répétés de chargement en comparaison au spécimen n'ayant pas été testé en fatigue.

Robertson et al. (2007)

Robertson et al. (2007) ont réalisé des essais sur deux spécimens de poutres préfabriquées AASHTO identiques préfissurées ayant des dimensions de 250 mm x 572 mm x 2324 mm; une poutre de contrôle sans renfort et une poutre renforcée en cisaillement. L'objectif de ces essais visait à étudier le comportement en cisaillement de poutres AASHTO renforcées à l'aide de lamelles Sika CarboShear L et de comparer les résultats obtenus avec les prédictions théoriques de la norme ACI-440R-02. Le programme expérimental a été mené comme suit : (i) en appliquant une charge cyclique ayant pour but de créer un patron de fissures de cisaillement avant renfort, (ii) en appliquant le renfort sur un des deux spécimens, et (iii) en appliquant une charge croissante jusqu'à rupture. Notons que pour être en mesure d'installer les lamelles sur ce type de poutre, des surépaisseurs de béton ont été coulées à espacement régulier sur l'âme de la poutre pour accueillir les lamelles de renfort. Les résultats obtenus suite aux essais ont permis d'observer que les lamelles permettaient de contrôler la progression des fissures, principalement par l'augmentation de la rigidité mise en évidence par une réduction de la flèche lors du chargement. De plus, l'ancrage dans la partie supérieure s'est avéré suffisant pour résister et poursuivre sa contribution à la résistance en cisaillement, même une fois le décollement complet sur l'âme de la poutre à l'interface béton-PRF

Mofidi et al. (2014)

Mofidi et al. (2014) ont développé une équation pour évaluer la contribution de la résistance en cisaillement de lamelles Sika CarboShear L. Le modèle développé, contrairement aux modèles actuels dans le calcul des bandes de tissu collé en U, permet d'estimer la résistance, peu importe la profondeur d'ancrage dans la dalle. De plus, le modèle considère différents modes de rupture qui peuvent survenir avec l'utilisation de ce type de système de renforcement : (a) rupture par arrachement du béton dans la zone d'ancrage, (b) rupture dans

la partie ancrée par glissement à l'interface époxy/béton, (c) rupture dans la partie ancrée par glissement à l'interface époxy/PRF, (d) rupture du chevauchement de la partie inférieure de l'âme et (e) par décollement des lamelles sur les côtés de l'âme. Le modèle proposé a été construit en se basant sur des valeurs expérimentales provenant de la littérature, en partie de certains spécimens provenant de ce mémoire.

El-Saikaly et Chaallal (2015)

El-Saikaly et Chaallal (2015) ont réalisé des essais en fatigue sur six poutres en T ayant des dimensions de 152 mm x 406 mm x 4520 mm soumises à six millions de cycles et sous une charge statique jusqu'à rupture. Le programme expérimental était constitué de poutres non renforcées et de poutres renforcées à l'aide de lamelle de PRF de 20 mm de largeur x 1,4 mm d'épaisseur. Ces deux catégories de poutres étaient munies d'armatures transversales selon un taux variable, soit : (a) spécimen sans armature transversale, (b) barres 8M espacées de 175 mm et (c) barres 8M espacées de 260 mm. L'objectif de l'étude visait à vérifier les performances en fatigue des poutres de béton armé renforcées à l'aide de lamelle de PRF. En comparant les contraintes sur les spécimens renforcés munis d'étriers avec ceux sans renfort, les auteurs notent qu'il y a une interaction entre l'acier transversal et le renfort de PRF et que plus le taux d'acier augmente, plus la contribution du PRF diminue. La réponse aux cycles de chargement s'est traduite par une dégradation importante au début et s'est ensuite stabilisée dans une seconde phase, notons qu'aucun spécimen renforcé ne s'est rompu suite aux six millions de cycles. De ce fait, les auteurs concluent que cette méthode de renforcement est effective et permettrait d'accroître la durée de vie des structures endommagées et permet même de modifier le comportement de la rupture en mode ductile.

CHAPITRE 2

ASPECTS THÉORIQUES : RENFORCEMENT EN CISAILLEMENT À L'AIDE DE PRFC

Le comportement des structures en béton armé (BA) à l'effort tranchant est encore aujourd'hui considéré comme une problématique lorsqu'il est question de prédiction. Bien que plusieurs études aient été menées dans les dernières décennies afin de comprendre le comportement en cisaillement, il est encore difficile d'évaluer exactement la façon dont réagissent les structures en BA, souvent vieillissantes, face aux contraintes qui en découlent. Le chapitre 2 présentera l'état des connaissances à ce jour en lien avec ce sujet en mettant en revue : (i) les comportements observés sur les poutres en béton armé, (ii) les comportements des poutres ayant été renforcées et (iii) les modèles de calculs utilisés dans les différentes normes et codes en vigueur, pour la conception des ouvrages en BA réhabilités en cisaillement à l'aide de PRF.

2.1 Comportement en cisaillement de poutres en BA (sans renfort)

Les fissures engendrées par les efforts de cisaillement sont en général causées par les contraintes de traction qui en découlent et qui excèdent la faible résistance en traction du béton. Notons que plusieurs paramètres peuvent influencer les propriétés des fissures qui sont observées. Par exemple : les dimensions de la poutre, le rapport a/d, le taux d'armature longitudinale, les conditions d'appui et la présence ou non d'armature transversale. Ces paramètres auront comme effet de changer le type, l'angle, la position ainsi que l'étendue et l'importance des fissures. Ces particularités influenceront aussi le mode de rupture qui sera observé lorsque les poutres sont chargées jusqu'à la rupture.

2.1.1 Fissuration

La figure 2.1 présente les différents types de fissures qui sont généralement observées sur les poutres en béton armé. Les fissures verticales sont générées par le moment fléchissant. Ces

fissures apparaissent en premier lieu à l'endroit où le moment est maximum, principalement au centre de la travée ou au droit des appuis dans le cas d'une poutre continue. Ces fissures de flexion s'inclinent davantage à mesure qu'on s'approche des appuis en raison de l'effort tranchant qui s'accroît, ces fissures se transforment peu à peu en fissure de cisaillement-flexion. Les fissures de cisaillement, quant à elles, se propagent en débutant au centre de l'âme des poutres en s'étendant vers le haut et le bas suivant une inclinaison variant généralement entre 35° et 45°.

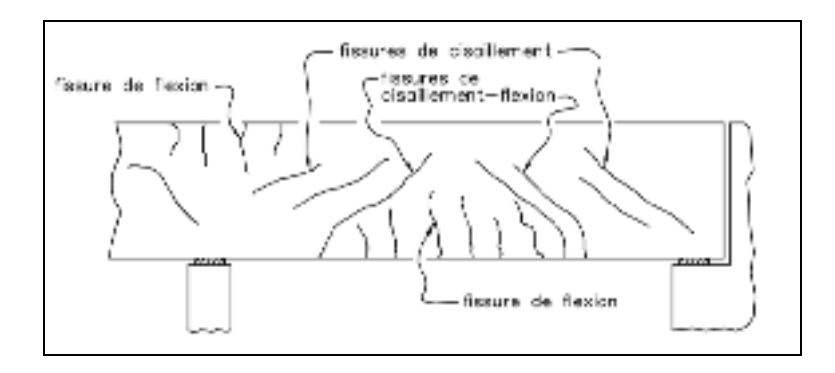


Figure 2.1 Types de fissures dans une poutre de béton armé Tirée du Manuel d'inspection des structures, MTQ (2012)

2.1.2 Mode de rupture

La rupture d'un élément est atteinte lorsque l'un des matériaux qui le composent dépasse sa résistance et que les autres ne suffisent plus à pallier à l'augmentation de contrainte due au transfert du matériau rompu. Plusieurs paramètres peuvent influencer le mode de rupture qui peut être observé : le type et le point d'application de la charge, les dimensions et la géométrie des éléments, et le taux et les propriétés mécaniques des différents matériaux utilisés.

2.1.2.1 Rapport *a/d*

Le rapport a/d est d'une influence capitale sur le comportement des poutres en béton armé. Ce paramètre d'influence implique la position de la charge ainsi que la dimension du spécimen puisque : a représente la distance entre l'appui et la position de la charge et d la profondeur effective de la poutre. On distingue à l'aide de ce paramètre deux types de poutres : les poutres profondes (a/d < 2,5), et les poutres élancées $(a/d \ge 2,5)$. Les modes de rupture observés selon ce paramètre ont été étudiés en distinguant quatre types de poutres (MacGregor et Bartlett, 2000). Le tableau 2.1 présente les modes de rupture observés selon différents rapports a/d.

Tableau 2.1 Mode de rupture d'une poutre en BA (sans renfort) en fonction du rapport *a/d*Tiré de Bousselham (2005)

Rapport a/d	Mode de rupture possible							
a/d< 1	perte d'ancrage aux extrémités des barres longitudinales tendues							
1≤a/d<2.5	 perte d'adhérence; glissement des armatures longitudinales tendues; cisaillement des barres d'armatures tendues (effet goujon); écrasement du béton et prolongement des fissures inclinées. 							
2.5≤a/d<6	 cisaillement le long des fissures inclinées; écrasement du béton et Plastification de l'acier longitudinale. 							
<i>a/d</i> ≥6	• flexion							

2.1.2.2 L'effort axial

L'effort axial peut être de traction ou de compression. Il est établi que le béton offre une excellente résistance en compression et une moins bonne en traction. C'est pour cette raison

que les poutres en béton armé contiennent des barres d'acier dans la zone tendue (figure 2.2). Un effort de traction sur le béton a pour effet de le fragiliser et diminuer sa cohésion en entrainant une diminution de sa résistance en cisaillement. L'analogie du treillis montre bien le phénomène de distribution des efforts axiaux qui se créent lors d'application de charges créant les fissures de cisaillement. En étudiant la figure 2.3, on comprend mieux l'importance des barres transversales pour reprendre l'effort axial de tension dans la barre verticale du treillis. Sans les étriers, le béton agirait seul dans la reprise de l'effort axial de traction dans cette zone et réduirait grandement la résistance en cisaillement.

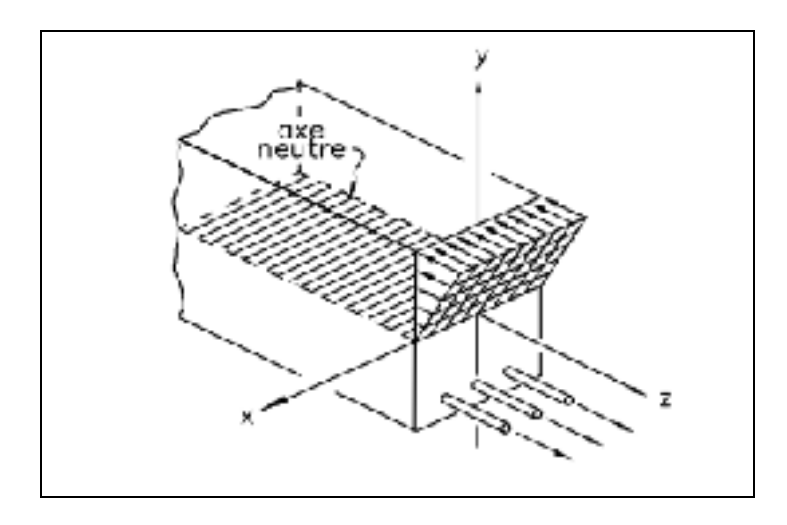


Figure 2.2 Répartition de l'effort axial Tirée du Manuel d'inspection des structures, MTQ (2012)

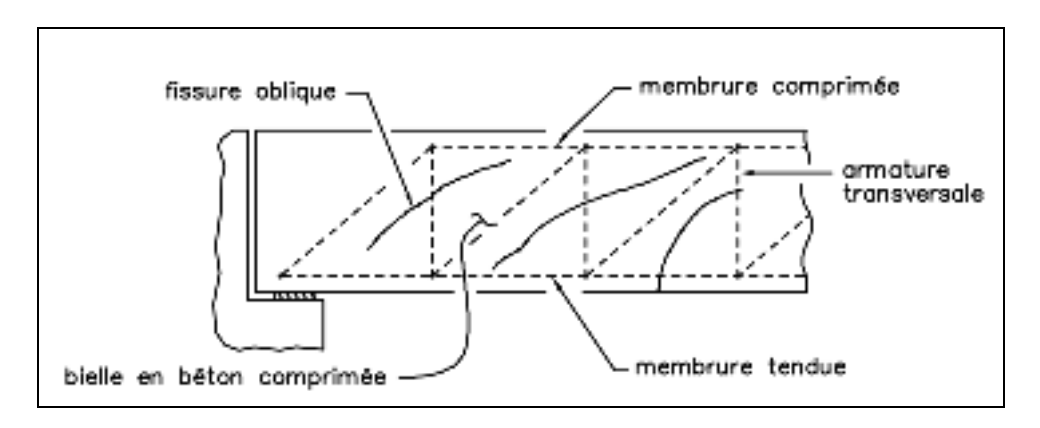


Figure 2.3 Analogie du treillis Tirée du Manuel d'inspection des structures, MTQ (2012)

2.1.2.3 Le taux d'armature

Le taux d'armature longitudinale contribue à la résistance au cisaillement. Jusqu'à un certain point, l'effet de goujon des barres longitudinales permet d'accroître la résistance au cisaillement et contribue à réduire l'ouverture des fissures de cisaillement. Comme expliqué au paragraphe précédent, les barres transversales ont pour effet de reprendre la charge de traction axiale. Donc plus le taux d'acier transversal est élevé, moins les chances d'obtenir un mode de rupture par cisaillement seront élevées.

2.1.2.4 L'effet d'échelle

L'effet d'échelle est un paramètre qui influence de façon importante le comportement des poutres de béton armé. De nombreuses recherches ont démontré que la dimension de l'élément avait une influence majeure sur les résistances obtenues en cisaillement. L'ASCE-ACI Task Committee 445 (1998) rapporte que des essais réalisés par Shioya et al. (1989) ont montré que l'influence de la dimension des spécimens à l'étude pouvait réduire la résistance en cisaillement jusqu'au tiers en comparaison avec des spécimens de taille réduite. C'est pour cette raison qu'il est favorable de réaliser des études sur des spécimens de taille réelle dans les projets de recherche. Les résultats obtenus sont ainsi plus représentatifs de la réalité.

2.2 Comportement en cisaillement de poutres en BA renforcées de PRF

Les recherches réalisées sur les poutres renforcées en cisaillement à l'aide de PRF montrent clairement qu'il est bénéfique d'utiliser ces méthodes de renforcement. Tout comme les poutres de béton armé non renforcées, les types de fissures et les modes de rupture qui peuvent être observés varient selon certains paramètres d'influence résultant de la conception des éléments lors de la construction initiale et des particularités reliées au type et à la configuration du renfort utilisé. Suite à une analyse de plus de 100 tests, Bousselham et Chaallal (2004) ont conclu que les propriétés des matériaux utilisés, le rapport a/d et la géométrie des spécimens étaient d'une influence majeure sur le comportement en cisaillement de poutre en BA renforcées à l'aide de PRF.

2.2.1 Modes de rupture

Les modes de rupture qui peuvent être observés sont similaires à ceux des poutres non renforcées. En plus de ceux observés sur les spécimens non renforcés, on remarque plusieurs autres modes de rupture différents comme (i) l'écrasement du béton dans la bielle de compression, (ii) la fracture du renfort, (iii) le décollement du renfort à l'interface béton – PRF et (iv) le glissement ou perte d'ancrage. Ces différents modes de rupture peuvent survenir dépendamment de la prédominance de certaines conditions.

2.2.1.1 Rapport *a/d*

Qu'il s'agisse d'une poutre profonde (a/d < 2,5) ou d'une poutre élancée $(a/d \ge 2,5)$, le mode de rupture observé diffèrera en fonction de ce paramètre. Il a été démontré par Khalifa et Nanni (1999) qu'un accroissement de résistance en cisaillement de poutres renforcées était observé avec l'augmentation du rapport a/d. De ce fait, les possibilités d'obtenir une rupture en cisaillement se trouvent réduites en présence de poutres élancées renforcées à l'aide de PRF.

Le tableau 2.2 présente les modes de rupture observés en fonction du rapport *a/d* (Bousselham, 2005).

Tableau 2.2 Mode de rupture poutre en BA (avec PRF) en fonction du rapport *a/d* tiré de Bousselham (2005)

Rapport a/d	Modes de rupture observés				
a/d< 2.5	rupture en cisaillement accompagnée de la fracture du renfort;				
2.5≤a/d<3.2	 rupture en cisaillement accompagnée de la fracture du renfort; décollement du renfort; 				
a/d≥3.2	décollement du renfort.				

2.2.1.2 Le taux d'armature transversale

Il a été démontré que le taux d'armature influençait le comportement des poutres renforcées en cisaillement. Chaallal et al. (2002) indiquent que lorsque le taux d'acier transversal augmente, la contribution du PRF diminue. Ceci montre que l'acier et le renfort travaillent conjointement dans la reprise des efforts de cisaillement. Ainsi, le mode de rupture sera influencé par la présence ou non et par le taux d'armature transversale de l'élément pour reprendre les efforts axiaux de traction verticale dans la zone de cisaillement.

2.2.1.3 Le taux de renfort en PRF

Il a été démontré dans plusieurs recherches, Chaallal et al. (2002), Täljsten (2003) et Bousselham (2005), que le taux de renfort avait une influence sur la résistance en cisaillement. En effet, l'augmentation du taux de PRF par l'application d'épaisseurs de couches subséquentes ou par la réduction de l'espacement entre les bandes de renfort augmente la résistance en cisaillement des poutres en béton armé. Ce paramètre agit sur les fissures de cisaillement en réduisant l'ouverture de ces fissures par l'augmentation du taux de PRF. L'adhérence à l'interface béton-PRF permet au renfort de reprendre les efforts de traction axiale verticale et de réduire cette contrainte sur le béton.

2.2.1.4 L'effet d'échelle

Tout comme sur les poutres non renforcées, l'effet d'échelle a une influence sur la résistance au cisaillement des poutres renforcées à l'aide de PRF. Le gain de résistance au cisaillement observé lors d'essais sur des spécimens de dimensions variables, diminue avec l'augmentation de la hauteur utile (d) (Bousselham 2005). Ce phénomène a aussi été validé par Godat et al. (2010) qui affirment que les contraintes enregistrées sur le PRF démontraient une plus grande contribution sur les spécimens de petite taille que sur ceux de taille grandeur nature. L'effet d'échelle est donc un paramètre capital qui devrait être considéré lors de l'étude des comportements des poutres renforcées en cisaillement à l'aide de PRF.

2.3 Calcul des poutres en béton renforcées en cisaillement selon les normes et codes

Les règles de calcul utilisées par les différents codes dans le calcul de la résistance au cisaillement des poutres en béton armé renforcées en cisaillement proposent une approche utilisant la contribution de chacun des matériaux. Ainsi, la résistance totale en cisaillement (V) est donnée par la sommation de V_c pour la résistance en cisaillement du béton, V_s pour la résistance de l'acier transversal et de V_f pour celle du renfort de PRF.

$$V = V_c + V_s + V_f \tag{2.1}$$

Bien que les différents codes utilisent l'analogie du treillis pour le calcul de la résistance en cisaillement du renfort, leurs équations diffèrent. Ceci s'explique par le fait que ces codes ne considèrent pas tous les différents facteurs d'influence, tels que : le mode de renfort, la longueur d'ancrage, l'angle des fissures et le taux de renfort. Le tableau 2.3 présente les paramètres d'influence utilisés dans les différentes normes et codes. Les différentes équations découlant des normes ACI 440-2R (2008), de la CSA S806 (2012), de la CSA S6 (2014), de la fib-TG 9.3 (2001), CNR-DT200 (2004) et de la HB 305 (2008) seront présentées en détail.

Tableau 2.3 Facteurs d'influence utilisés dans les différentes normes de conception pour le calcul du renforcement en cisaillement à l'aide de PRF

(adapté de Mofidi et Chaallal 2011)

Normes et codes	Dernière révision	Méthode de renfort	Déformation unitaire effective	Longueur d'ancrage	ss/m	Angle de fissuration	Patron de fissuration	Effet des armatures transversales
ACI 440.2R	2008	X	X	X				
CAN/CSA-S806	2012	X	X	X		X		
CAN/CSA-S6	2014	X	X	X		X		
fib-TG 9.3	2001		X			X		
CNR-DT200	2004	X	X	X	X	X		
HB 305	2008	X	X	X	X	X		

Note: $\mathbf{x} = \text{inclus}$

2.3.1 ACI 440.2R 2008

Le modèle proposé par la norme ACI-440.2R 2008 pour estimer la contribution du PRF est donné par la formule suivante :

$$V_f = \frac{A_f f_{fe} (\sin \alpha + \cos \alpha) d_{fv}}{s_f}$$
 (2.2)

où

La déformation unitaire effective maximale ε_{fe} est quant à elle ajustée selon le mode de renfort utilisé. Pour le renfort en enveloppe, elle fixe la limite à l'ouverture des fissures maximum qui assurent un certain confinement des granulats au béton, tandis que c'est l'adhérence béton-PRF qui gouverne dans le cas du renfort collé en U et en surface sur les côtés de l'âme.

En enveloppe:

$$\varepsilon_{fe} = 0,004 \le 0,75 \varepsilon_{fu} \tag{2.3}$$

En U où collé sur l'âme :

$$\varepsilon_{fe} = \kappa_{v} \varepsilon_{fu} \le 0,004 \tag{2.4}$$

$$\kappa_{v} = \frac{k_{1}k_{2}L_{e}}{11900\varepsilon_{fu}} \le 0.75; \ L_{e} = \frac{23300}{(n_{f}t_{f}E_{f})^{0.58}}$$
(2.5)

$$k_{1} = \left(\frac{f_{cm}}{27}\right)^{\frac{2}{3}}; k_{2} = \begin{cases} \frac{d_{f} - L_{e}}{d_{f}} & \text{(renfort en U)} \\ \frac{d_{f} - 2L_{e}}{d_{f}} & \text{(collé sur côté de l'âme)} \end{cases}$$
(2.6)

2.3.2 CAN/CSA-S806 2012

Le modèle de calcul proposé par la norme CSA-S806 (2012) pour la conception d'éléments en BA de bâtiment avec PRF est similaire à celui de la norme S6-2014 et s'articule comme suit :

$$V_f = \frac{A_f E_f \varepsilon_{fe} d_f (\cot \theta + \cot \alpha) \cdot \sin \alpha}{s_f}$$
 (2.7)

En enveloppe:

$$\varepsilon_{fe} = 0,006 < 0,75\varepsilon_{fu} \tag{2.8}$$

En U avec système d'ancrage reconnu :

$$\varepsilon_{fe} = 0.005 < 0.75\varepsilon_{fu} \tag{2.9}$$

En U ou collé sur les côtés de l'âme sans système d'ancrage :

$$\varepsilon_{fe} = \kappa_{v} \varepsilon_{fu} < 0.004 \tag{2.10}$$

$$\kappa_{v} = \frac{k_{1}k_{2}L_{e}}{11900\varepsilon_{fu}} \le 0.75; L_{e} = \frac{23300}{(n_{f}t_{f}E_{f})^{0.58}}$$
(2.11)

$$k_1 = \left(\frac{f'_c}{27}\right)^{2/3}; k_2 = \frac{d_f - L_e}{d_f}$$
 (2.12)

2.3.3 CAN/CSA-S6 2014

Le modèle proposé par la norme CSA-S6-14 pour le calcul des ponts routiers est similaire à celui proposé par la norme ACI 440-2R-08. Cependant, plutôt que d'utiliser l'analogie du treillis à 45°, elle utilise l'analogie du treillis à angle variable ce qui mène à l'équation suivante :

$$V_f = \frac{A_f E_f \varepsilon_{fe} d_f (\cot \theta + \cot \alpha) \cdot \sin \alpha}{s_f}$$
 (2.13)

En enveloppe:

$$\varepsilon_{fe} = 0,004 < 0,75\varepsilon_{fu} \tag{2.14}$$

En U ou collé sur les côtés de l'âme sans système d'ancrage :

$$\varepsilon_{fe} = \kappa_{v} \varepsilon_{fu} < 0.004 \tag{2.15}$$

$$\kappa_{v} = \frac{k_{1}k_{2}L_{e}}{11900\varepsilon_{fu}} \le 0.75 \tag{2.16}$$

où

$$k_1 = \left(\frac{f'_c}{27}\right)^{2/3} \tag{2.17}$$

$$k_2 = \frac{d_f - L_e}{d_f} {(2.18)}$$

$$L_e = \frac{23300}{(n_f t_f E_f)^{0.58}} \tag{2.19}$$

2.3.4 *fib*-TG 9.3 2001

Le modèle proposé par la norme *fib*-TG 9.3 (2001) pour établir la contribution en cisaillement du PRF se base sur l'analogie du treillis à angle variable et est donné par l'équation suivante :

$$V_f = \rho_f \cdot E_f \cdot \varepsilon_{fe} \cdot b \cdot d \left(\cot \theta + \cot \alpha \right) \sin \alpha \tag{2.20}$$

La déformation unitaire maximale prescrite par cette norme est fonction de la méthode de renforcement utilisée, du type de fibre composant le renfort, de la rigidité du renfort ($\rho_f.E_f$) et de la résistance en compression du béton. Les formules qui découlent de ces paramètres sont présentées comme suit :

En enveloppe:

$$\varepsilon_{fe} = \left[0.17 \left(\frac{f_c^{\prime 2/3}}{E_f \rho_f} \right)^{0.30} \right] \varepsilon_{fu}$$
 (2.21)

En U ou collé sur les côtés de l'âme :

$$\varepsilon_{fe} = min \left[0.65 \left(\frac{f_c'^{2/3}}{E_f \rho_f} \right)^{0.56} 10^{-3} ; 0.17 \left(\frac{f_c'^{2/3}}{E_f \rho_f} \right)^{0.30} \varepsilon_{fu} \right]$$
 (2.22)

En enveloppe munie de fibre aramide :

$$\varepsilon_{fe} = \left[0,048 \left(\frac{f_c^{\prime 2/3}}{E_f \rho_f}\right)^{0.47}\right] \varepsilon_{fu}$$
(2.23)

 E_f représente le module d'élasticité du PRF en GPa et f_c' la résistance en compression du béton en MPa.

2.3.5 CNR-DT200 2004

Le modèle proposé par la norme italienne CNR-DT200 2004 est celui, avec la norme australienne HB 305-2008, qui considère le plus de paramètres d'influence, tels que : le mode de renfort, la déformation unitaire effective, la longueur d'ancrage, le taux de renfort et l'angle de la fissuration. Les seuls facteurs qui ne sont pas considérés sont ceux du patron de fissuration et de l'effet des armatures transversales. L'équation qui relève de cette norme est la suivante :

$$V_f = \frac{1}{\gamma_{rd}} \cdot 0.9d \cdot f_{fed} \cdot 2t_f \left(\cot \theta + \cot \alpha\right) \cdot \frac{w_f}{s_f}$$
 (2.24)

$$f_{fed} = f_{fdd} \cdot \left[1 - \frac{1}{6} \cdot \frac{L_e \sin \alpha}{\min\{0, 9d; h_w\}} \right] + \frac{1}{2} \left(\phi_R f_{fd} - f_{fdd} \right) \left[1 - \frac{L_e \sin \alpha}{\min\{0, 9d; h_w\}} \right]$$
(2.25)

Où

$$\phi_R = 0.2 + 1.6 \frac{r_c}{b_w}; \ 0 \le \frac{r_c}{b_w} \le 0.5$$
 (2.26)

$$L_e = \sqrt{\frac{E_f \cdot t_f}{2 \cdot f_{ctm}}}; \quad f_{fdd} = \frac{0.8}{\gamma_{fd}} \cdot \sqrt{\frac{2 \cdot E_f \cdot G_{fk}}{t_f}}$$
 (2.27)

$$G_{fk} = 0.03k_b \cdot \sqrt{f_{ck} \cdot f_{ctm}}; \quad k_b = \sqrt{\frac{2 - w_f / s_f}{1 + w_f / 400}} \ge 1$$
 (2.28)

Tissu collé en U:

$$f_{fed} = f_{fdd} \cdot \left[1 - \frac{1}{3} \cdot \frac{L_e \sin \alpha}{\min\{0.9d; h_w\}} \right]$$
 (2.29)

Tissu collé sur les côtés de l'âme :

$$V_{fd} = \frac{1}{\gamma_{rd}} \cdot \min\{0.9d; h_w\} \cdot f_{fed} \cdot 2 \cdot t_f \cdot \frac{\sin \alpha}{\sin \theta} \cdot \frac{w_f}{s_f}$$
 (2.30)

$$f_{fed} = f_{fdd} \cdot \frac{Z_{red,eq}}{min\{0.9d; h_w\}} \cdot \left[1 - 0.6 \cdot \sqrt{\frac{L_{eq}}{Z_{red,eq}}}\right]^2$$
 (2.31)

Où

$$Z_{red,eq} = Z_{red} + L_{eq} \tag{2.32}$$

$$Z_{red} = min\{0.9d; h_w\} - L_e \cdot sin\alpha$$
 (2.33)

$$L_{eq} = \frac{s_{uf}}{f_{fdd} / E_f} \cdot \sin \alpha \tag{2.34}$$

2.3.6 HB 305-2008

Le modèle proposé par la norme australienne HB 305-2008 pour déterminer la contribution en cisaillement du renfort en PRF, tout comme la norme italienne, est celle qui inclut et considère le plus de paramètres d'influence pour quantifier l'apport de la résistance en cisaillement. Le mode de renfort, la déformation unitaire effective, la longueur d'ancrage, le taux de renfort et l'angle de la fissuration sont tous pris en considération dans ce modèle.

L'équation établie par cette norme est la suivante :

$$V_f = 2f_{fed} \cdot t_f \cdot \frac{w_f}{s_f} \cdot h_{fe} \cdot (\cot \theta + \cot \alpha) \sin \alpha$$
 (2.35)

$$h_{fe} = z_b - z_t$$
; $z_b = 0.9d - d_{fb}$; $z_t = d_{ft}$ (2.36)

$$f_{fed} = D_f \cdot f_{fd max} \tag{2.37}$$

En enveloppe:

$$f_{fd,max} = \begin{cases} \frac{1}{\gamma_f} \cdot \phi_{R'} \cdot f_{fu}; & \varepsilon_f \le 1,5\% \\ \frac{1}{\gamma_f} \cdot \phi_{R'} \cdot E_f \cdot \varepsilon_f; & \varepsilon_f > 1,5\% \end{cases}$$
(2.38)

$$D_f = 0.5 \left(1 + \frac{z_t}{z_b} \right) \tag{2.39}$$

En U ou collé sur les côtés de l'âme :

$$f_{fd,max} = min \begin{cases} \frac{1}{\gamma_f} \cdot \phi_{R'} \cdot f_{fu} \\ \frac{1}{\gamma_f} \cdot 0.35 \cdot \beta_L \cdot \beta_w \cdot \sqrt{\frac{E_f \cdot \sqrt{f_{ck}}}{t_f}} \end{cases}$$
(2.40)

$$\phi_{R'} = 0.80 \text{ et } \gamma_f = 1.25$$
 (2.31)

$$\beta_{L} = \begin{cases} \lambda, & \lambda \leq 1 \\ 1, & \lambda > 1 \end{cases}; \quad \beta_{w} = \sqrt{\frac{2 - w_{f} / (s_{f} \cdot \sin \alpha)}{1 + w_{f} / (s_{f} \cdot \sin \alpha)}}$$
 (2.42)

$$D_{f} = \begin{cases} \frac{2}{\pi \cdot \lambda} \cdot \frac{1 - \cos\left(\frac{\pi}{2} \cdot \lambda\right)}{\sin\left(\frac{\pi}{2} \cdot \lambda\right)} ; & \lambda = \frac{L_{max}}{L_{e}} \le 1 \\ 1 - \frac{\pi - 2}{\pi \cdot \lambda} ; & \lambda = \frac{L_{max}}{L_{e}} > 1 \end{cases}$$

$$(2.43)$$

$$L_{max} = \begin{cases} \frac{h_{fe}}{\sin \alpha} & (collé\ en\ U) \\ \frac{h_{fe}}{2\sin \alpha} & (collé\ sur\ les\ côtés\ de\ l'âme) \end{cases}$$
(2.44)

$$L_e = \sqrt{\frac{E_f \cdot t_f}{\sqrt{f_{ck}}}} \tag{2.45}$$

2.4 Synthèse

La présentation des différents codes et normes en vigueur pour le calcul de la résistance en cisaillement des poutres en béton armé renforcées à l'aide de PRFC permet de mieux visualiser les différents paramètres d'influence pris en considération dans les équations des différentes normes. Bien qu'aucune de ces normes présentées dans ce chapitre ne considère l'influence de l'acier transversale, Mofidi et Chaallal 2011 stipulent que la contribution du PRF est influencée par le taux d'acier transversal et propose une nouvelle approche pour déterminer la contribution du renfort de PRF. Suite à cette présentation, il est possible de comparer les gains de résistances obtenus par les différents systèmes de renfort à l'étude avec les valeurs théoriques proposées par les différentes normes. Les calculs selon les codes et normes seront calculés pour les spécimens dans le chapitre 4.

CHAPITRE 3

PRÉSENTATION DU PROGRAMME EXPÉRIMENTAL

3.1 Généralités (paramètres d'étude)

Ce programme expérimental est mené afin d'évaluer les avantages des différents systèmes de renforcement à l'aide de PRF proposé par l'industrie. Les conditions de chargement, les caractéristiques mécaniques ainsi que le mode de chargement ont soigneusement été choisis pour reproduire les conditions en service des différents ouvrages en béton armé. De plus, les essais ont été réalisés sur des spécimens ayant été préfissurés en cisaillement avant d'être renforcés à l'aide de système de renfort en PRF. L'utilisation de spécimens préfissurés a pour but de simuler les conditions réelles d'application des PRF, généralement sur des éléments qui présentent des signes de dégradation avant renforcement.

Différents systèmes de renforcement de poutres en béton armé ont fait l'objet de nombreuses recherches et analyses. La revue de la littérature présente différentes méthodes de renforcement qui ont été étudiées et qui démontrent les bénéfices du renforcement en cisaillement à l'aide de PRFC. Cependant, il est rarement question de comparaison entre ces différentes méthodes de renforcement. Dans cette étude, trois systèmes de renforcement à l'aide de PRFC seront mis à l'essai et comparés : le tissu SikaWrap Hex 230C, la tige Sika CarboDur Rods 9 mm et les lamelles Sika CarboShear L. Ces différents produits seront analysés en terme de :

- a charge maximale atteinte ainsi que le gain de résistance par mm² de PRFC correspondant à cette charge;
- les déformations internes enregistrées sur le renfort et les aciers d'armatures transversales et longitudinales;
- la fissuration et le mode de rupture à l'atteinte de la charge maximale;
- la faisabilité de mise en place du système en chantier.

Sur les trois (3) spécimens utilisant les lamelles en L (Sika CarboShear L), l'effet de la profondeur d'ancrage du renfort sur la performance du système sera également étudié.

Cette étude compare donc le gain en résistance des différents types de renfort en cisaillement de poutres en BA ayant subi des dommages irréversibles en termes de cisaillement.

3.2 Description du programme expérimental

Le programme expérimental comporte six poutres renforcées à l'aide de différentes méthodes utilisant la technologie de PRF ainsi que d'une poutre de contrôle sans aucun système de renforcement en PRF. La poutre de contrôle a donc été utilisée pour comparer le gain de résistance en cisaillement entre les différents systèmes mis à l'essai. Il est important d'observer que tous les spécimens comportent les mêmes propriétés en termes de dimensionnement, matériaux, taux d'armature et qu'ils ont subi des efforts similaires lors d'essais de préchargement ayant causé des fissures de cisaillement. Ceci a permis de contrôler ces paramètres tout en comparant les paramètres considérés à l'étude. Les essais de flexion ont été menés en appliquant sur les spécimens une charge croissante située à miportée entre les deux appuis. Notons qu'aucune comparaison n'a pu être établie avec les essais de préchargement puisque les extrémités chargées des poutres lors de ces tests ne comportaient pas le même taux d'armature transversale, soit un espacement s = 3d/4.

3.2.1 Description et préparation des spécimens

Toutes les poutres mises à l'essai portent la désignation S1, qui signifie que les poutres sont composées d'étriers espacés d'une valeur s = d/2, où d représente la profondeur effective de la poutre, correspondant à 350 mm (figure 3.1). Le tableau 3.1 présente les différents spécimens et explique la nomenclature qui permet de les identifier.

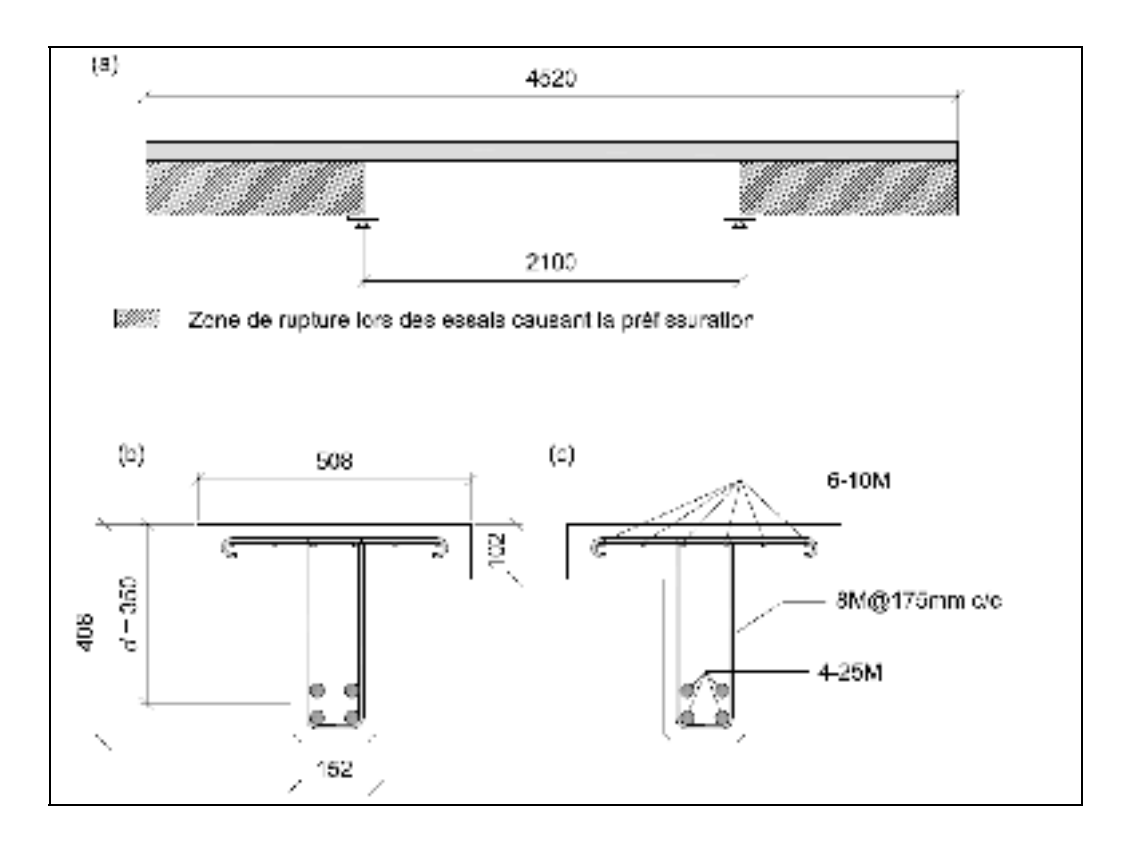


Figure 3.1 Caractéristiques des poutres : (a) longueur de la poutre; (b) dimension de la section; (c) ferraillage de la section

Tableau 3.1 Présentation des différents spécimens

Spécimen	Renfort utilisé	Identification	Définition	Particularité	Identification
S1-CON	Aucun	CON	Contrôle	N/A	N/A
S1-EB	SikaWrap Hex 230C	EB	Tissu collé en surface (Externally Bounded)	N/A	N/A
S1-ETS- 9mm	Sika CarboDur Rods 9 mm	ETS	Enduit à travers la section	Barres CFRP 9 mm	9 mm
S1-LS-NA	Sika CarboShear L	LS	Lamelle Sika	Non ancrée	NA
S1-LS-TA	Sika CarboShear L	LS	Lamelle Sika	Totalement ancrée	TA
S1-LS-PA	Sika CarboShear L	LS	Lamelle Sika	Partiellement ancrée	PA
S1-LS-BA	Sika CarboShear L	LS	Lamelle Sika	Barre d'ancrage	BA

3.2.1.1 Spécimen S1-CON

Le spécimen S1-CON est un spécimen de contrôle servant à déterminer la charge maximale atteinte par les poutres n'ayant pas été renforcées à l'aide de PRF. La charge maximale enregistrée par cette poutre sera utilisée pour établir par comparaison le gain de résistance des systèmes de renforcement en PRF mis à l'essai. Comme tous les autres spécimens, la poutre est de section en Té à âme pleine en béton de type normal à base de ciment Portland, ayant une résistance en compression à 28 jours de 29,6MPa. La figure 3.1 présente les dimensions ainsi que les différentes composantes propres à l'ensemble des spécimens mis à l'essai.

3.2.1.2 Spécimen S1-EB

Le spécimen S1-EB a été renforcé à l'aide d'un tissu SikaWrap Hex 230C. Le tissu a été collé, sur la surface de l'âme, et ce, sur toute la longueur du spécimen, à l'aide d'une résine d'imprégnation époxyde Sikadur 330 (figure 3.2-a). Une fois liées, ces deux composantes forment un système de renforcement composite qui permet d'accroître la résistance structurale de l'élément renforcé. Avant la mise en place du tissu, la surface du béton a été nettoyée au jet abrasif afin de créer une surface de contact sans impureté et améliorer l'adhérence entre le béton et la matrice de renfort (figure 3.2-b). De plus, avant l'application du tissu, les arêtes ont été arrondies à un rayon minimum de 10 mm à l'aide d'une rectifieuse au diamant. Notons qu'aucun moyen d'ancrage n'a été utilisé sur ce spécimen pour contrer le décollement du tissu.

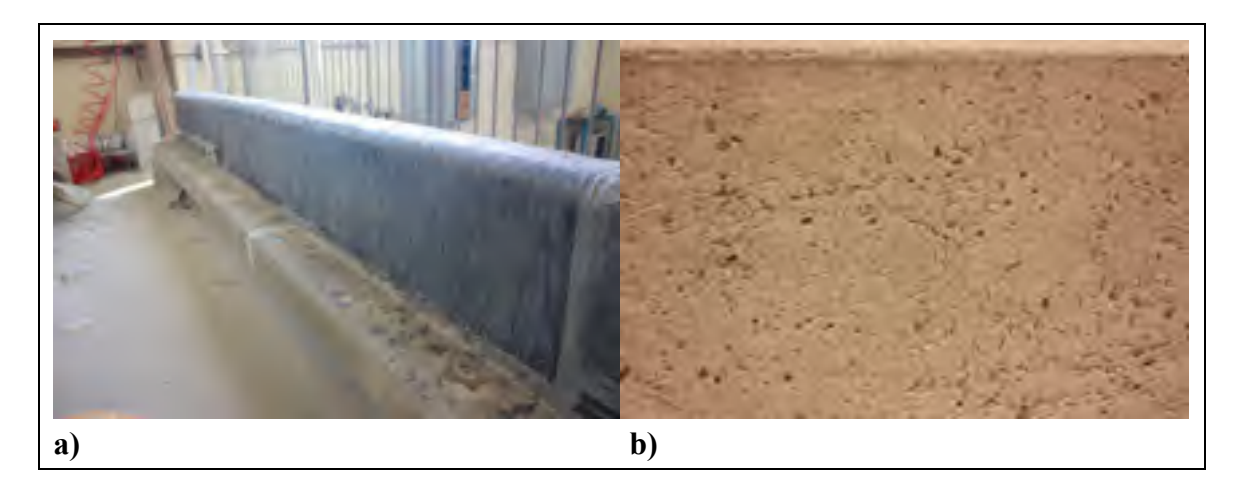


Figure 3.2 Préparation du spécimen S1-EB : (a) préparation de surface CSP 3-4; (b) poutre renforcée

3.2.1.3 Spécimen S1-ETS-9 mm

Le spécimen S1-ETS-9 mm a été renforcé à l'aide de tiges Sika CarboDur Rods de 9 mm de diamètre. Ces tiges en polymère renforcé de fibres de carbone ont été insérées au centre de l'âme de la poutre dans des trous forés, noyés dans une résine époxyde, entre les étriers existants, donc espacés de 175 mm (figure 3.3). Cette méthode de renforcement est de loin celle qui requiert le moins de préparation. Outre la localisation des barres existantes avant le

percement et du nettoyage des trous suite au percement, cette méthode est d'une grande simplicité et s'adapte facilement à tout type de poutre.



Figure 3.3 Préparation du spécimen S1-ETS-9 mm

3.2.1.4 Spécimen S1-LS-NA

Les spécimens portant la désignation LS sont des poutres en T renforcées à l'aide de lamelles en L Sika CarboShear L. La désignation NA (No Anchorage) signifie que les lamelles ne comportent aucune profondeur d'ancrage dans le béton à la jonction de la semelle supérieure de la poutre. Les lamelles en L ont été collées en surface avec un espacement régulier de 175 mm c/c entre les étriers internes de la poutre. Tout comme le système renforcé de tissu, une préparation du béton au jet abrasif a été réalisée localement vis-à-vis le positionnement des lamelles pour améliorer l'adhérence. Les lamelles en L sont ensuite collées en surface à l'aide d'une fine couche adhésive structurale Sikadur 30. L'application du Sikadur 30 est

réalisée entre deux lanières de ruban adhésif pour une question d'esthétique. La figure 3.4 présente le détail de mise en place de la technique de renforcement à l'aide de lamelles en L.

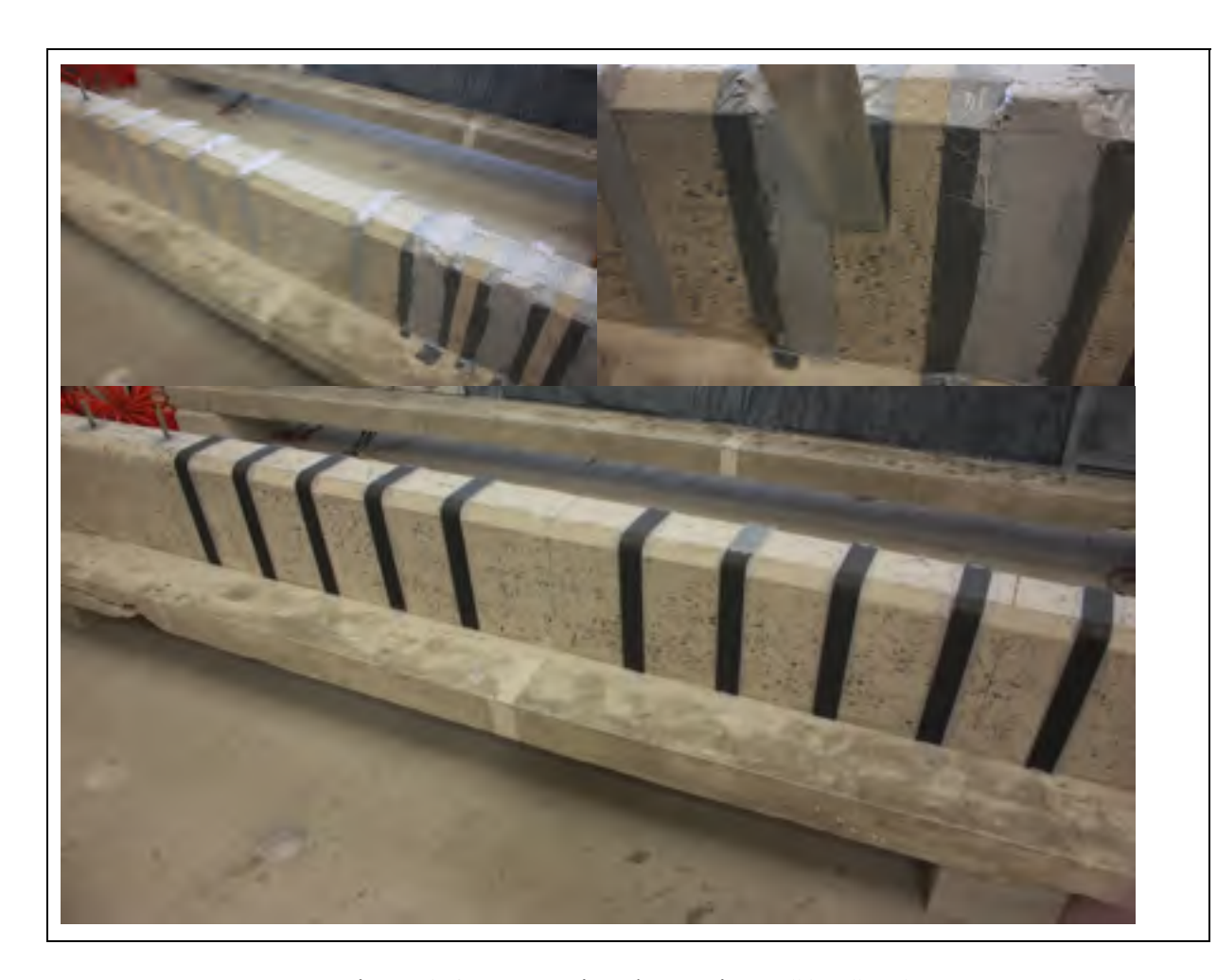


Figure 3.4 Préparation du spécimen S1-LS-NA

3.2.1.5 Spécimen S1-LS-TA

Le spécimen S1-LS-TA est composé du même type de renfort que les autres spécimens portant la mention LS, à l'exception de la profondeur d'ancrage des lamelles Sika CarboShear L dans la semelle supérieure de la poutre. Les lamelles en L ont été ancrées selon les recommandations du fournisseur, soit 100 mm. Pour permettre de rencontrer cette exigence, des trous ont d'abord été forés dans la semelle au droit du positionnement des

lamelles de renfort. De plus, pour améliorer davantage l'adhérence de l'ancrage, la partie ancrée des lamelles est rendue rugueuse à l'aide de Sikadur 30, tel que montré à la figure 3.5.

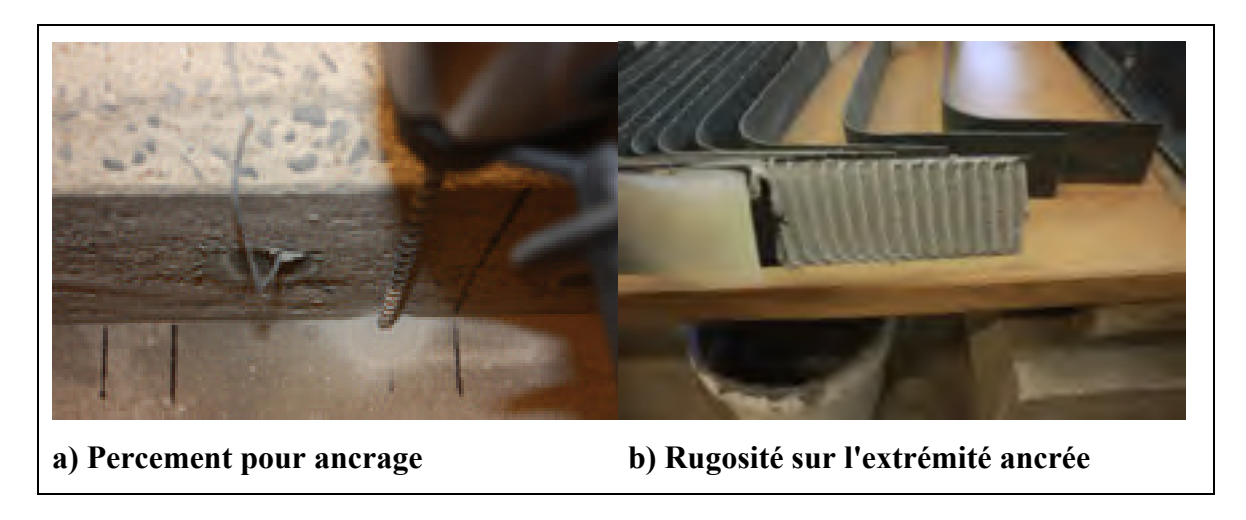


Figure 3.5 Préparation du spécimen S1-LS-TA

3.2.1.6 Spécimen S1-LS-PA

Le spécimen S1-LS-PA présente exactement les mêmes particularités de réalisation que le spécimen S1-LS-TA, à l'exception de la profondeur d'ancrage des lamelles (figure 3.6). Ce spécimen a été mis à l'essai pour quantifier l'apport de ce système s'il devait être utilisé dans un cas où il serait impossible de respecter la profondeur d'ancrage recommandée en raison de la répartition imprévisible des barres d'armature de la dalle. En effet, la profondeur d'ancrage a été limitée à 25 mm dans ce cas pour limiter le forage et éviter ainsi d'atteindre l'armature inférieure de la dalle lors du percement. Notons que l'armature inférieure est généralement située à une distance de recouvrement d'environ 35 mm. De plus, ce spécimen permet de vérifier si une profondeur d'ancrage de 25 mm permettrait de retarder suffisamment le décollement prématuré des lamelles de renfort et d'offrir un gain intéressant en termes de résistance.



Figure 3.6 Préparation du spécimen S1-LS-PA, ancrage partiel

3.2.1.7 Spécimen S1-LS-BA

Le spécimen S1-LS-BA est composé d'une barre d'aluminium ancrée à l'âme de la poutre à la jonction supérieure de la section en Té. Deux tiges filetées de 8 mm, à une distance de 50 mm de part et d'autre du centre des lamelles de renfort, ont été ancrées à l'aide de Sika AnchorFix 3 (figure 3.7). Une plaque d'aluminium a ensuite été fixée par boulonnage en surface sur la totalité des lamelles de renforcement en PRF. Cette plaque d'aluminium a été mise en place pour tenter d'empêcher le décollement des lamelles à la jonction de l'âme et de la semelle supérieure puisque les lamelles CarboShearL ne disposent d'aucune profondeur d'ancrage pour ce spécimen.



Figure 3.7 Préparation du spécimen S1-LS-BA

3.3 Procédure d'essais

3.3.1 Chargement

Comme mentionné plus tôt, les poutres ont été soumises à une charge croissante située à miportée entre les deux appuis, correspondant à une distance a = 3d, soit 1 050 mm des appuis (figure 3.8). La poutre a été installée sur un banc d'essai muni d'un vérin hydraulique (figure 3.9) et soumise à une charge statique monotone croissante en contrôle de déplacement à un taux constant de 2 mm/min.

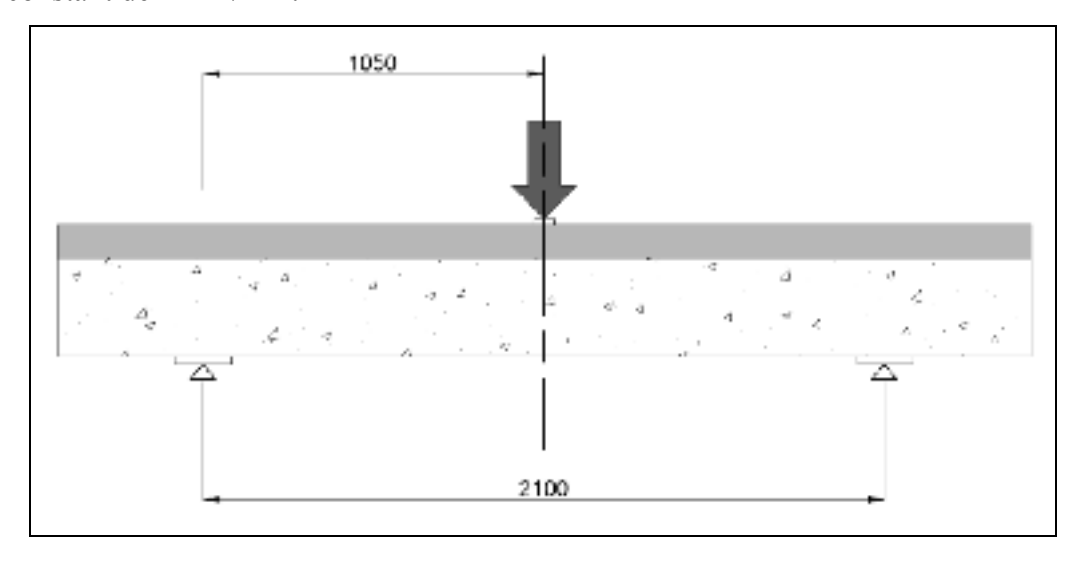


Figure 3.8 Détail du chargement



Figure 3.9 Banc d'essai

3.3.2 Instrumentation et acquisition de données

Pour s'assurer de la verticalité des spécimens lors du chargement, des capteurs LVDTs (linear variable differential transformers) ont été utilisés pour mesurer le déplacement transversal. Ce paramètre est vérifié pour s'assurer qu'aucun effort de torsion n'agit sur la poutre durant le chargement (figure 3.10). Le même type de capteur a été utilisé pour mesurer la flèche à mi-portée au droit de la charge. Des jauges à déformation de marque Kyowa KC 60 ont été soigneusement collées en surface sur les étriers internes pour enregistrer les efforts et déformations unitaires de l'acier durant tout le chargement. Ces jauges ont été installées à des endroits stratégiques et propices pour intercepter le profil de fissures en cisaillement. Une jauge du même type a aussi été installée sur une barre longitudinale pour évaluer les contraintes et allongements de l'acier dans la zone en flexion. Une séquence de mise en place de ces jauges est présentée à la figure 3.11. Notons que le même type de jauges a été collé en surface sur les tiges de renfort du spécimen S1-ETS-9 mm avant de les noyer dans l'âme de la poutre.

Pour enregistrer les déformations du renfort des spécimens utilisant les lamelles de PRFC et le tissu collé en surface, des jauges à déplacement (Crack gauges) ont été collées en surface sur les lamelles de renfort et le tissu (figure 3.12). Afin d'identifier facilement ces différents capteurs de déformation, une nomenclature a été établie pour faciliter le traitement des données. Le tableau 3.2 décrit la façon dont ont été identifiées les différentes jauges de déformation sur les spécimens mis à l'essai.

Tableau 3.2 Identification des jauges

Identification	Localisation	Côté droit* (R)	Côté gauche* (L)
ST	Acier transversal (Stirrups)	1R à 4R	1L à 4L
LG	Acier longitudinal		1
EB	Tissu (EpoxyBounded)	1R à 4R	1L à 4L
ETS	Barres CFRP 9 mm	1R à 4R	1L à 4L
LS	Lamelle Sika	1R à 4R	1L à 4L

^{*}Numéroté de façon croissante à partir des appuis

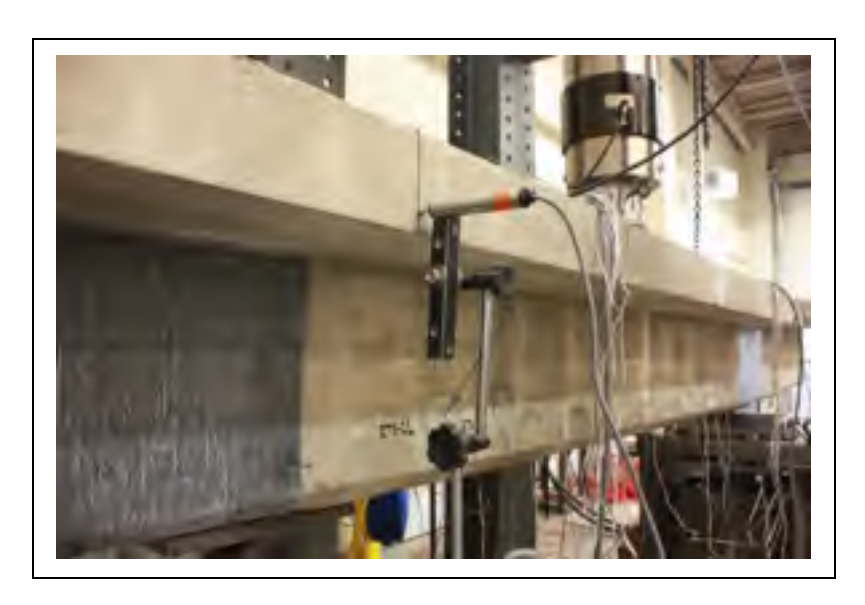


Figure 3.10 Banc d'essai

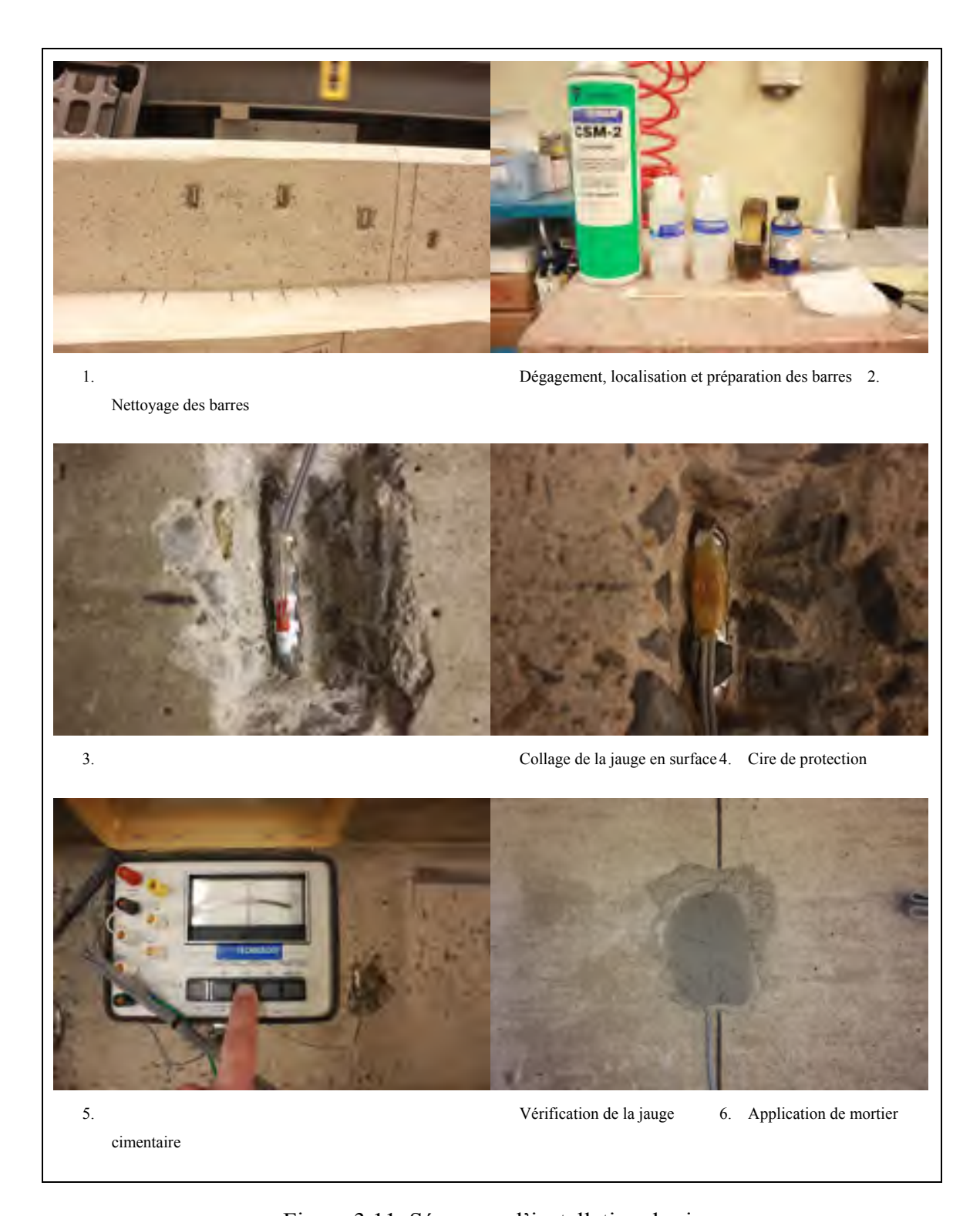


Figure 3.11 Séquence d'installation des jauges



Figure 3.12 Jauges sur renfort externe

Afin d'analyser chacun des spécimens, les jauges étaient reliées à un système d'acquisition automatique de données qui enregistre toutes les déformations en temps réel tout au long du chargement (figure 3.13). Ainsi, les données recueillies ont été analysées et comparées afin de comprendre le comportement des différents éléments des systèmes de renforcement mis à l'essai et d'évaluer leur gain en résistance.



Figure 3.13 Système d'acquisition automatique de données en temps réel

CHAPITRE 4

CARACTÉRISATION DES MATÉRIAUX

4.1 Béton

Le béton utilisé a été produit en usine et livré au laboratoire de structures lourdes de l'ETS. Tous les spécimens ont été confectionnés avec une même coulée de béton pour assurer les mêmes propriétés pour toutes les poutres utilisées lors de l'essai. La résistance en compression spécifiée cible était de 20 MPa. La formule de mélange du béton est composée d'un ciment de type 10, de sable et de granulats ayant un diamètre maximal de 14 mm. Les tests réalisés sur les cylindres normalisés à 28 jours ont donné une résistance en compression de 29,6 MPa. Un essai sur une éprouvette a également été réalisé le jour des essais et a donné une résistance en compression de 33,7 MPa.

4.2 Acier d'armature

Tel que décrit au chapitre 3, les spécimens sont armés de barres longitudinales 25M dans la partie tendue de la poutre et de barres 10M dans la semelle supérieure comprimée. Des étriers 8M sont également disposés sur toute la longueur des poutres pour reprendre les efforts tranchants. La limite élastique f_y des barres d'armature longitudinales est de 540 MPa. Sur la base des essais de traction réalisés en usine conformément aux normes ASTM A82-02 et ASTM A496-02. Une contrainte élastique moyenne de 685MPa et un pourcentage d'élongation de 6,4 % ont été obtenus pour les barres 8M.

4.3 Renfort de CFRP

Le tableau 4.1 présente les propriétés mécaniques et élastiques des renforts en PRF utilisées dans la présente étude.

Tableau 4.1 Propriétés mécaniques des types de renfort (données du manufacturier)

Туре	Résistance en traction de la fibre GPa	Allongement de la fibre à la rupture %	Module d'élasticité de la fibre GPa	Résistance en traction du composite MPa	Allongement du composite à la rupture %	Module d'élasticité du composite GPa
SikaWrap Hex	3,45	1,5	230	894	1,33	65
Sika CarboDurRods	2,80	1,8	155	1700	ND	ND
Sika CarboShear L	1,35	1,3	90	ND	ND	ND

ND: Non disponible

4.3.1 Renfort de PRFC

Le renfort utilisé sur renforcement du spécimen S1-EB est un tissu de fibre de carbone unidirectionnelle à 0° produit par la compagnie Sika-Canada. Selon les spécifications du fournisseur, ce tissu a une densité de 1,8 et un poids de 230 g/m² de surface. La fibre de carbone du tissu a une résistance en traction de 3,45 GPa, un module d'élasticité de 230 GPa et un allongement maximum de 1,5 % à la rupture. Une fois imprégnées dans une résine époxyde compatible de type Sikadur 330, ces deux composantes forment un composite de renforcement ayant une résistance en traction de 894 MPa, un module de traction de 65 GPa et un allongement à la rupture de 1,33 %. Les propriétés de la fibre de carbone utilisée pour le tissu et du composite sont présentées au tableau 4.1. Les fiches techniques du SikaWrap Hex 230C et de la colle Sikadur 330 sont présentées aux annexes I et VI respectivement.

4.3.2 Sika CarboDur Rods

Le système utilisé pour le renforcement du spécimen S1-ETS-9 mm est composé de tiges en polymère renforcé de fibres (PRF) de carbone ayant un contenu volumétrique de fibres équivalent à 65 %. Contrairement aux spécifications de la fiche technique présentée à l'annexe II, ces tiges sont insérées dans des trous forés à travers l'âme de la section dans le sens vertical de l'élément. Ces trous sont préalablement remplis avec une colle compatible, de type Sika AnchorFix 4. Les tiges en PRF ont une résistance en traction de 2,8 GPa, un module d'élasticité de 155 GPa et un allongement maximal de 1,8 %. Une fois imprégnée dans la résine, la résistance en traction est de 1,7 GPa.

4.3.3 Sika CarboShear L

Les spécimens qui comportent la mention LS dans leur désignation sont renforcés extérieurement à l'aide de lamelles préimprégnées en PRF de carbone ayant un taux de fibres équivalent à 56 %. Ces lamelles sont offertes en plusieurs dimensions. Leurs propriétés géométriques et mécaniques sont présentées à l'annexe III. Les éléments de renfort utilisés pour les spécimens de la présente étude étaient de 200 mm x 500 mm et ont été coupés pour s'ajuster parfaitement aux dimensions des poutres à l'essai. Les lamelles CarboShear L sont de 40 mm de largeur et de 2 mm d'épaisseur, et ce, pour toutes les longueurs offertes. Les lamelles ont une résistance ultime en traction de 1,35 GPa, un module élastique de 90 GPa et présentent un allongement à la rupture de 1,3 %. Notons que la résistance à l'arrachement est influencée par la profondeur d'ancrage des lamelles dans la partie supérieure de l'élément.

4.4 Colle

4.4.1 Sikadur 330

La colle époxyde utilisée pour le spécimen S1-EB, renforcé de tissu SikaWrap Hex 230C, est une résine à deux composantes ayant une haute résistance. La résistance en traction, l'allongement à la rupture ainsi que le module élastique de cette colle époxyde sont

respectivement de 30 MPa, 1,5 % et de 3,8 GPa. L'annexe VI présente la fiche technique complète de ce produit.

4.4.2 AnchorFix 4

Les tiges CarboShear Rod de Sika utilisées pour le renforcement du spécimen S1-ETS-9 mm ont été imprégnées dans une résine époxyde à deux composantes de type Sika AnchorFix 4. Ladite résine a une résistance de liaisonnement de 17 MPa à 14 jours, une résistance au cisaillement de 24,5 MPa et présente un allongement à la rupture de 2,56 %. La fiche technique décrivant les propriétés du produit en détail est présentée à l'annexe IV.

4.4.3 Sikadur 30

Les lamelles Sika CarboShear L des spécimens LS ont été collées en surface à l'aide d'un adhésif époxyde structural en pâte à 2 composantes de type Sikadur 30. Cet adhésif a une résistance en traction à 7 jours de 24,8 MPa, un module élastique de 4,5 GPa et un allongement à la rupture de 1 %. La fiche technique décrivant en détail les propriétés du produit Sikadur 30 est présentée à l'annexe V.

4.5 Calcul de V_{FRP} selon les codes et normes

Le tableau 4.2 présente les résistances en cisaillement théoriques offertes par les différents systèmes mis à l'essai de chacun des spécimens selon les codes et normes à l'exception du spécimen S1-ETS-9mm car la technique ETS n'est couverte par aucune norme.

Tableau 4.2 Résistance en cisaillement du CFRP selon les codes et normes

		spécimen							
Normes et codes	Dernière révision	S1-EB	S1-ETS- 9mm	S1-LS-NA	S1-LS-TA	S1-LS-PA	S1-LS-BA		
ACI 440.2R	2008	117	-	38	38	38	38		
CAN/CSA-S806	2012	117	-	38	102	38	38		
CAN/CSA-S6	2014	117	-	38	38	38	38		
fib-TG 9.3	2001	37	-	22	22	22	22		
CNR-DT200	2004	267	-	82	82	82	82		
HB 305	2008	52	-	26	26	26	26		

Note : les résistances sont en kN

CHAPITRE 5

PRÉSENTATION ET ANALYSE DES RÉSULTATS

5.1 Présentation des résultats

Afin d'être en mesure de comparer les résultats de chacun des spécimens, les efforts appliqués lors des essais initiaux, de préfissuration ont été analysés et comparés pour s'assurer que chacun des spécimens avait subi des contraintes initiales (avant essai post-fissuration) similaires. À cet égard, le tableau 5.1 présente les contraintes enregistrées sur les spécimens durant l'essai de préfissuration, c'est-à-dire avant nos essais, du côté où la rupture a eu lieu lors de nos essais. Ces résultats montrent que l'écart entre l'effort tranchant moyen et l'effort ayant causé la fissuration (qui s'élève à 139 kN) varie entre 2.2 % et 7.9 %. Cet écart est faible et indique que tous les spécimens ont subi des contraintes similaires lors des essais de préfissuration. De fait, tous les spécimens sont retenus pour les essais post-fissuration et leurs résultats peuvent être comparés aux fins d'analyse.

De plus, lors des essais de chargement, des senseurs de déplacement (LVDT : Linear Variable Displacement Transducer) installés sur le banc d'essai ont permis d'enregistrer en temps réel le déplacement transversal et la flèche des poutres grâce à un système automatique de saisie de données. Le tableau 5.2 présente les déplacements enregistrés par les senseurs LVDT à l'atteinte de la force maximale enregistrée. Ces mouvements sont négligeables et permettent de confirmer qu'aucun effort de torsion significatif n'a agi sur les spécimens durant les essais. Ainsi, et tel qu'anticipé, les forces, déplacements et déformations enregistrés lors des essais sont exclusivement liés au cisaillement et à la flexion. Les flèches enregistrées correspondant à la force maximale atteinte sont aussi présentées dans le tableau 5.2.

Les tableaux 5.3 et 5.4 présentent les charges et les résistances atteintes lors des essais pour chacun des spécimens. Ces valeurs sont traduites en gain de résistance par rapport à la poutre de contrôle pour être analysées plus tard.

Le tableau 5.5 présente une comparaison entre les résistances en cisaillement théoriques du renfort selon les codes et normes en vigueur et la valeur expérimentale obtenue lors des chargements jusqu'à rupture selon les différents spécimens mis à l'essai. On observe que les codes et normes ne permettent pas d'estimer avec suffisamment de précision le gain de résistance offert sur les spécimens utilisant les lamelles Carboshear L de Sika. Toutes les normes sous-estiment les valeurs théoriques, entre 12,2 % et 571%, sous les résistances expérimentales obtenues lors des essais. Cependant on observe que les normes ACI 440-2R, CAN/CSA-S806 et CAN/CSA-S6-14 présentent des estimations s'approchant de 5,1 % de la valeur expérimentale du spécimen utilisant le tissu collé en surface.

5.1.1 Tableau des résultats

Tableau 5.1 Efforts internes subis par les spécimens durant les essais de préfissuration (avant les essais)

Spécimen	Charge à la rupture test précédent côté rupture kN	Effort tranchant max. sur spécimen par test préfissuration kN	Rapport efforts tranchants/ Vmax. moyen	Résistance Vr théorique calculée selon CAN/CSA- A23.3-F04 kN	% de Vr atteint avant le renforcement
S1-EB	421,6	142,3	2,2	183	78
S1-ETS 9 mm	423,8	143,1	2,7	183	78
S1-LS-NA	431,0	145,6	4,6	183	80
S1-LS-TA	425,5	143,7	3,1	183	79
S1-LS-PA	402,6	128,3	7,9	183	70
S1-LS-BA	393,0	132,7	4,7	183	73

Note: Vmax. moyenne des tests de préfissuration précédents

139,3 kN

Tableau 5.2 Déplacements

Spécimen	Déplacement transversal	Flèche max.		
	mm	mm		
S1-EB	0,02	21,3		
S1-ETS 9 mm	0,95	13,8		
S1-LS-NA	2,31	14,8		
S1-LS-TA	1,47	43,5		
S1-LS-PA	0,86	19,1		
S1-LS-BA	0,47	18,9		

Tableau 5.3 Efficacité du renforcement en PRF des différents spécimens

Spécimen	Charge à la rupture kN	Gain en résistance	Aire CFRP/ espacement de 175mm	Gain résistance par mm² de PRFC %	Mode de rupture
S1-CON	432	0	0	0	Cisaillement
S1-EB	588	36	133	0,27	Cisaillement/délami nation du CFRP
S1-ETS 9 mm	518	20	64	0,31	Cisaillement
S1-LS-NA	551	28	112	0,25	Cisaillement/éclate ment du béton table de compression
S1-LS-TA	671	55	112	0,49	Flexion
S1-LS-PA	600	39	112	0,35	Cisaillement/éclate ment du béton table de compression
S1-LS-BA	510	18	112	0,16	Cisaillement/éclate ment du béton table de compression

Tableau 5.4 Gain de résistance en cisaillement des spécimens

Spécimen	Résistance au cisaillement théorique de la poutre avant renfort selon CSA-A23.3-F04	Résistance au cisaillement expérimental de la poutre de contrôle	Résistance au cisaillement expérimental du spécimen après renfort	Gain de résistance en cisaillement par rapport à la valeur théorique	Gain de résistance en cisaillement par rapport à la poutre de contrôle	Mode de rupture
	kN	kN	kN	%	%	
S1-EB	183	216	294,0	61	36	Cisaillement / délamination du PRFC
S1-ETS 9mm	183	216	259,0	42	20	Cisaillement
S1-LS-NA	183	216	275,5	51	28	Cisaillement / éclatement du béton table de compression
S1-LS-TA	183	216	335,5	83	55	Flexion
S1-LS-PA	183	216	300,0	64	39	Cisaillement / éclatement du béton table de compression
S1-LS-BA	183	216	255,0	39	18	Cisaillement / éclatement du béton table de compression

Tableau 5.5 Comparaison V_{FRP} : expérimentale vs codes et normes

	00		spécimen						
Normes et codes	rnière révisi	Dernière révision N_{FKP}	S1-EB	S1-ETS- 9mm	S1-LS-NA	S1-LS-TA	S1-LS-PA	S1-LS-BA	
	De		(kN)	(kN)	(kN)	(kN)	(kN)	(kN)	
		Théo.	117	-	38	38	38	38	
ACI 440.2R	2008	Exp.	111	76	92,5	152,5	117	72	
		$\Delta\%$	5,1	-	143,4	300	207,9	89,4	
		Théo.	117	-	38	102	38	38	
CAN/CSA-S806	2012	Exp.	111	76	92,5	152,5	117	72	
		$\Delta\%$	5,1	-	143,4	49,0	207,9	89,4	
	2014	Théo.	117	-	38	38	38	38	
CAN/CSA-S6		Exp.	111	76	92,5	152,5	117	72	
		$\Delta\%$	5,1	-	143,4	49,0	207,9	89,4	
	2001	Théo.	37	-	22	22	22	22	
<i>fib</i> -TG 9.3		Exp.	111	76	92,5	152,5	117	72	
		Δ%	200	-	318,2	590,9	431,8	227,3	
		Théo.	267	-	82	82	82	82	
CNR-DT200	2004	Exp.	111	76	92,5	152,5	117	72	
		Δ%	58,4		12,2	86,0	42,7	12,2	
		Théo.	52	-	26	26	26	26	
HB 305	2008	Exp.	111	76	92,5	152,5	117	72	
		Δ%	113,5		255,8	486,5	350	176,9	

5.2 Analyse des résultats

Objectifs:

Les tests réalisés avaient pour but d'évaluer et de comparer différentes méthodes de renforcement en cisaillement à l'aide de matériaux composites de poutres en béton armé préfissurées. Cette évaluation-comparaison est exprimée en termes d'efficacité, c'est-à-dire gain en résistance, mais aussi en termes de mode de rupture et de transfert de charges.

De façon spécifique, l'analyse des résultats vise à comparer les résultats obtenus en identifiant les caractéristiques et les comportements des éléments en jeu (béton, acier d'armature et PRF) durant la mise à l'essai des spécimens de poutres sous charge croissante jusqu'à la rupture de la poutre. Ainsi, les charges appliquées avant et durant l'essai, les modes de rupture, les fissures, les déformations internes de l'acier d'armatures longitudinales et transversales, les efforts dans le béton ainsi que les déformations du renfort en matériaux composites seront analysés pour chacun des spécimens afin d'évaluer la contribution du renforcement sur la résistance en cisaillement. Cette évaluation exhaustive permettra d'identifier les avantages de chacune des différentes configurations de renforcement et de tirer des enseignements quant aux potentiels de ces méthodes de renforcement avant-gardistes pour l'industrie de la construction.

5.2.1 Spécimen S1-EB

La figure 5.1 présente une image globale de poutre S1-EB, suite à l'enlèvement du renfort après l'essai, on peut y observer la configuration ainsi que l'endroit où les fissures de cisaillement se sont produites.

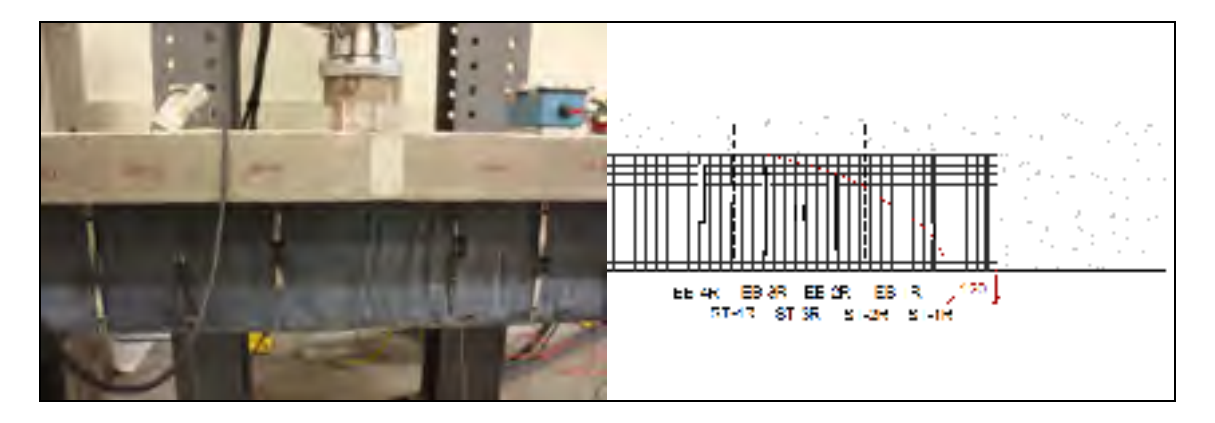


Figure 5.1 Observation spécimen S1-EB (fissure en rouge)

Charge atteinte:

La charge maximale atteinte lors de l'essai était de 588 kN; celle-ci représente une augmentation de 36 % par rapport à la poutre de contrôle (432 kN). On observe que la force progresse linéairement jusqu'à ce que l'acier transversal entre dans la phase plastique et que le renfort atteigne la déformation maximale prescrite en EB-1R et EB-3R (figure 5.2). Notons que ce type de renfort est celui qui représente la section de PRF pour un espacement de 175 mm (soit : 133.4 mm²) la plus élevée, tous spécimens confondus, soit 133.4 mm² comparativement à 112 mm² et 63,6 mm² pour les lamelles en L (L-Shape) et les barres ETS, respectivement. Afin d'être en mesure de comparer les gains de résistance entre les différents types de renforcements étudiés, le gain de résistance total est divisé par l'aire du renfort par espacement. Ainsi, on obtient un gain de résistance de 0.27 %/mm² de renfort pour le spécimen S1-EB.

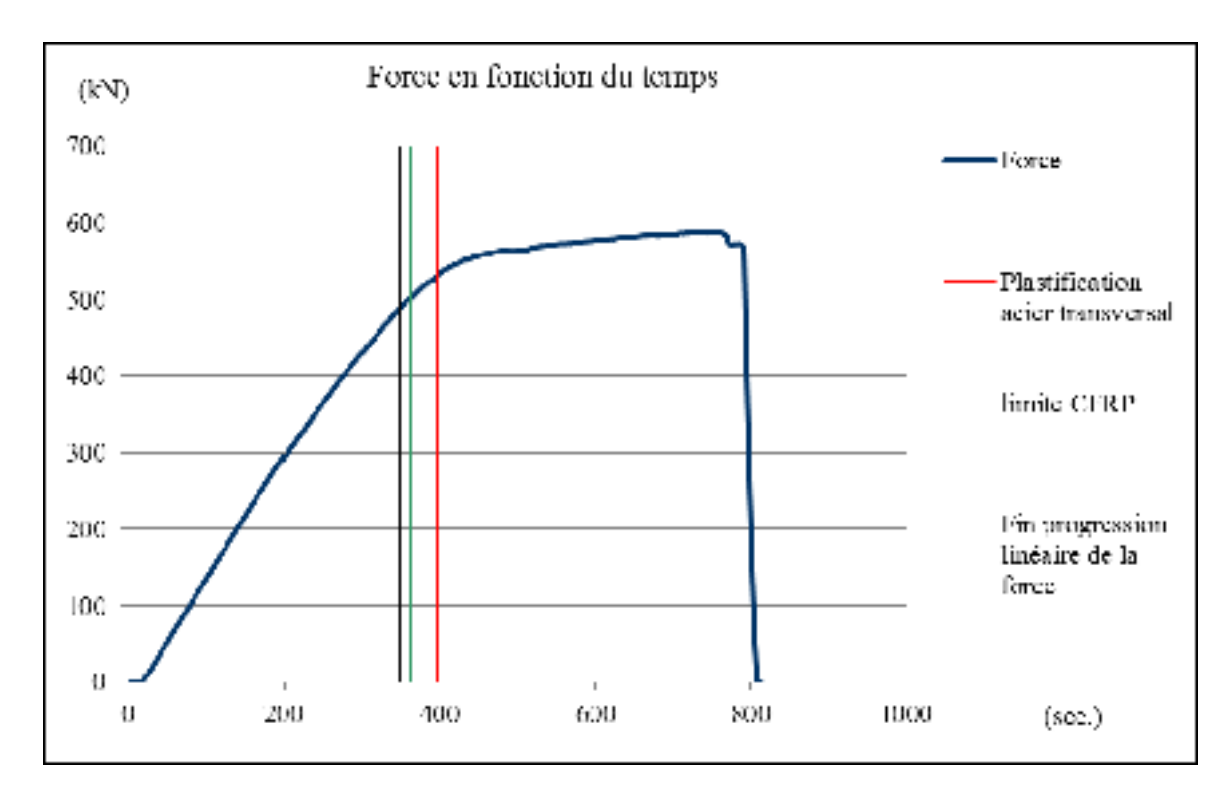


Figure 5.2 Force en fonction du temps spécimen S1-EB

Déformations:

Tel que décrit plus tôt, les jauges de déformation placées en surface sur le renfort en PRFC ainsi que sur les aciers d'armature internes ont permis d'enregistrer les déformations unitaires en temps réel tout au long du chargement, et ce, jusqu'à la rupture. Pour le spécimen S1-EB, les déformations unitaires de chacun des éléments n'ont pas atteint les valeurs maximales simultanément. La déformation unitaire maximale de l'acier transversal enregistrée est de 8790 με pour l'étrier ST-1R, cette valeur indique que l'acier transversal est plastifié puisqu'elle dépasse largement la valeur de 3425 με, limite de déformation élastique de l'acier transversal pour une contrainte élastique limite de 685 MPa. Pour le renfort à la position de la jauge EB-4R, une déformation de 2612 με a été atteinte lors du chargement alors que la déformation limite prescrite par le fournisseur était de 13300 με. Une déformation de 10945 με pour l'armature longitudinale a été enregistrée, dépassant également la limite élastique mesurée de 3250 με.

En analysant plus en profondeur la déformation du renfort du côté où la rupture s'est produite (figure 5.3), on remarque un changement de direction de la courbure presque à l'instant où la force cesse de progresser linéairement. Cette observation peut s'expliquer par l'arrêt de la contribution du renfort, du moins vis-à-vis de la jauge EB-2R. En effet, il s'agit de l'instant (approximatif) où le décollement du PRFC a été observé dans la partie supérieure du renfort. Le changement de courbure vers le bas sur le graphique des déformations indique que le renfort commence à se rétrécir (comprimer). On remarque aussi à ce moment, en EB-1R et EB-3R, que la déformation du renfort demeure plutôt stable lorsque la force cesse de progresser linéairement. On peut en déduire que l'influence du renfort sur le gain de résistance est minime puisqu'à ce moment, les contraintes maximales enregistrées sont principalement observées sur l'acier transversal de la partie comprimée du renfort, en ST-1R et ST-2R. Cependant, il est important de noter qu'en EB-3R et EB-4R, les déformations enregistrées montrent clairement que le renfort continue de contribuer jusqu'à l'atteinte de la force maximale. Les valeurs enregistrées sont cependant inférieures à la déformation maximale de 4000 µe fixée par la norme canadienne CSA-S806-12, qui elle se situe largement sous la déformation ultime (1,33%) spécifiée par le manufacturier. Ceci met en évidence l'importance d'ancrer ce type renfort pour éviter la délamination ou le décollement prématuré.

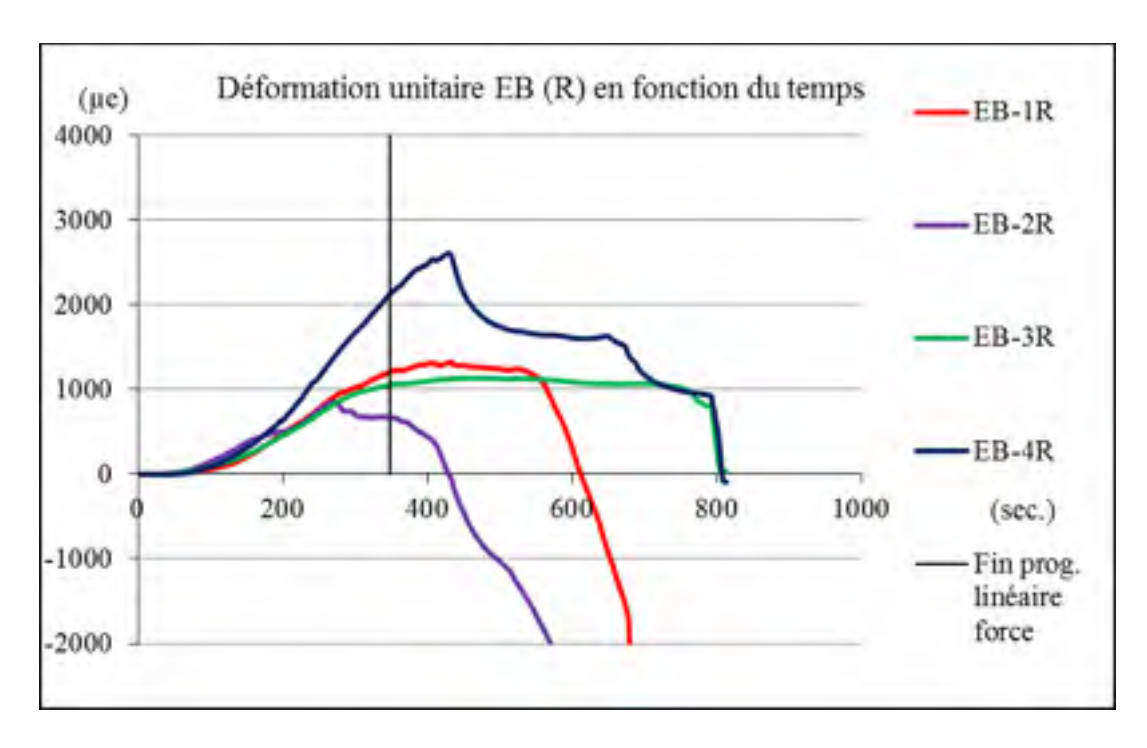


Figure 5.3 Déformation unitaire EB(R) en fonction du temps : spécimen S1-EB

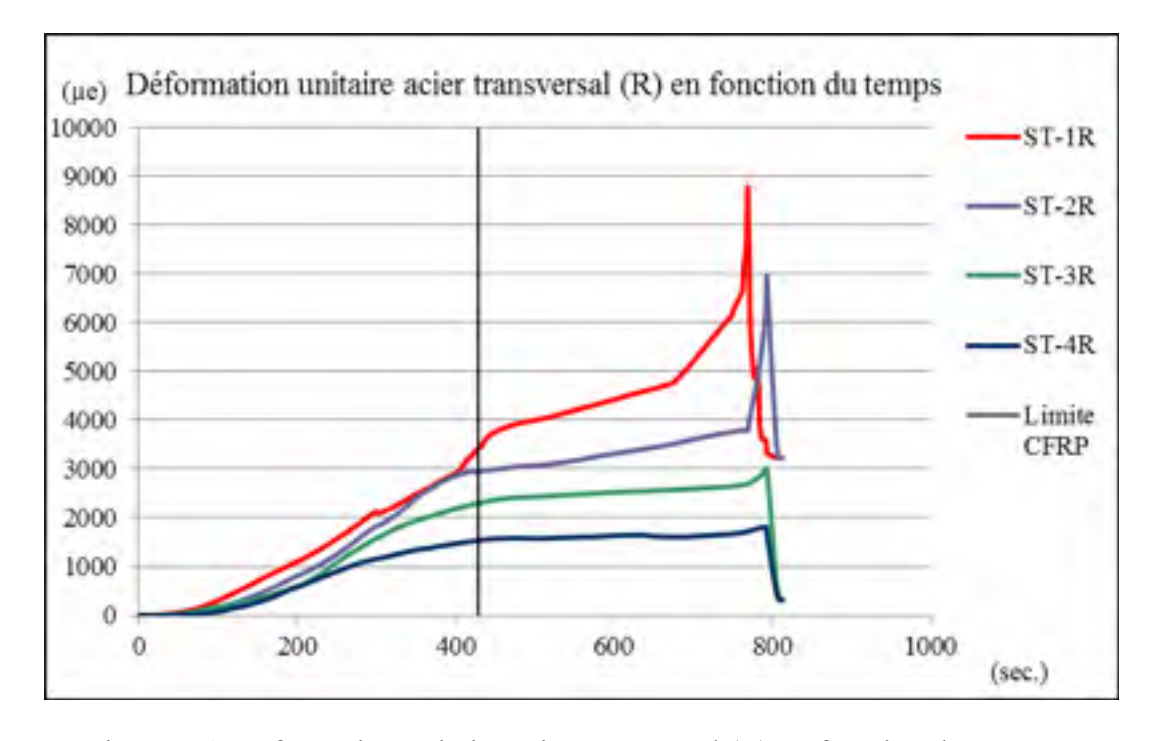


Figure 5.4 Déformation unitaire acier transversal (R) en fonction du temps : spécimen S1-EB

Les déformations internes enregistrées sur les étriers internes en acier décrivent clairement que l'acier transversal a commencé à se plastifier au moment où le renfort a cessé de contribuer au gain de résistance en cisaillement, en EB-1R et EB-2R (figure 5.4). On remarque également que la barre transversale ST-2R est la première à atteindre l'état plastique. Observons qu'elle se situe non loin de la jauge EB-2R, point où l'on note les premiers signes de compression sur le renfort. Ceci laisse croire qu'il y a transfert de contrainte vers l'acier transversal lorsque le renfort cesse de contribuer. Toutefois, l'acier transversal reprend les efforts jusqu'à l'atteinte de la résistance maximale observée, plus particulièrement la barre ST-1R qui enregistre une déformation unitaire de 5910 µe à l'atteinte de la force maximale.

Un autre phénomène se produit quand on observe de près l'acier longitudinal au moment où la majorité de l'acier transversal se trouve plastifié: une augmentation de la déformation unitaire de l'acier longitudinal est aussitôt enregistrée (figure 5.5). Ceci montre que l'acier longitudinal contribue à la reprise des efforts quand l'acier transversal se plastifie, cessant du coup de contribuer de façon significative. Ce phénomène peut facilement s'expliquer par l'analogie du treillis à 45°. De plus, lorsque l'acier longitudinal tend vers une déformation plus importante, une possible contribution du renfort (en flexion) dans la partie inférieure de la poutre analysée n'est pas à écarter, compte tenu des signes, tels que fissures de flexion, qui ont été observées sur le renfort suite à l'essai (figure 5.8).

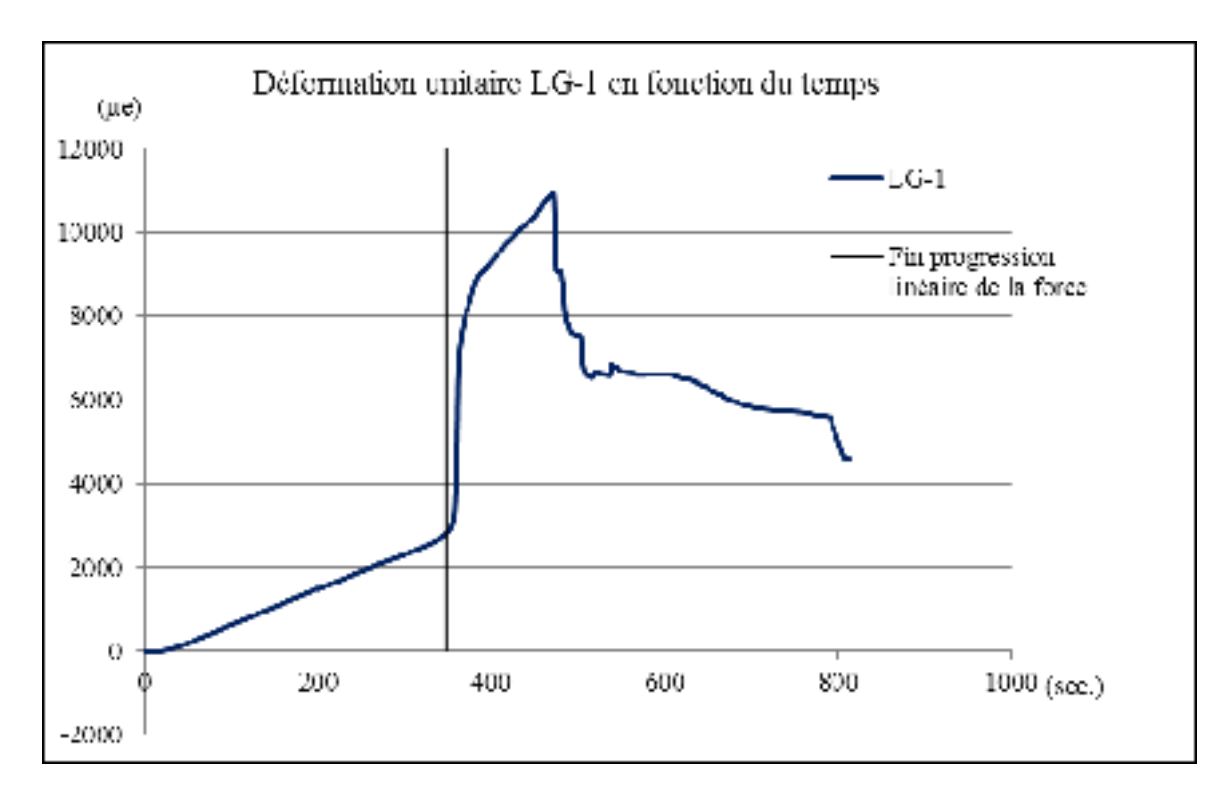


Figure 5.5 Déformation unitaire acier longitudinal en fonction du temps : spécimen S1-EB

Mode de rupture :

La fin de l'essai s'est conclue par une rupture en cisaillement du côté droit comme en témoigne la figure 5.6. L'angle de la fissure principale observée est de 30,8 degrés et s'est développé à 120 mm du point d'appui. Un délaminage du composite en PRFC de la partie supérieure du renfort (figure 5.7) a initié à la jonction de la semelle supérieure du spécimen et de l'âme. Ce délaminage a été remarqué près de la jauge EB-2R pour commencer, où une compression du renfort est notée sur le graphique de la figure 5.3. De plus, des fissures de flexion sur le renfort ont été observées avant la rupture en cisaillement (figure 5.8). Lorsqu'on analyse les contraintes qui ont été appliquées au spécimen lors des essais précédents de préfissuration, on observe que la rupture a lieu du côté sur lequel les efforts maximaux ont été enregistrés. Ceci permet de dire que la rupture du spécimen s'est produite du côté ayant été le plus sollicité lors des essais de préfissuration précédents.

En observant les paramètres de la rupture (figure 5.1), l'emplacement et l'angle de la fissure montrent clairement qu'il s'agit d'une fissure de cisaillement. Les microfissures présentes avant l'application de la charge qui sont dues aux essais réalisés sur les extrémités de la poutre n'ont cependant pas pu être observées durant le chargement puisque ce type de renforcement, collé en surface, vient entièrement cacher le béton.

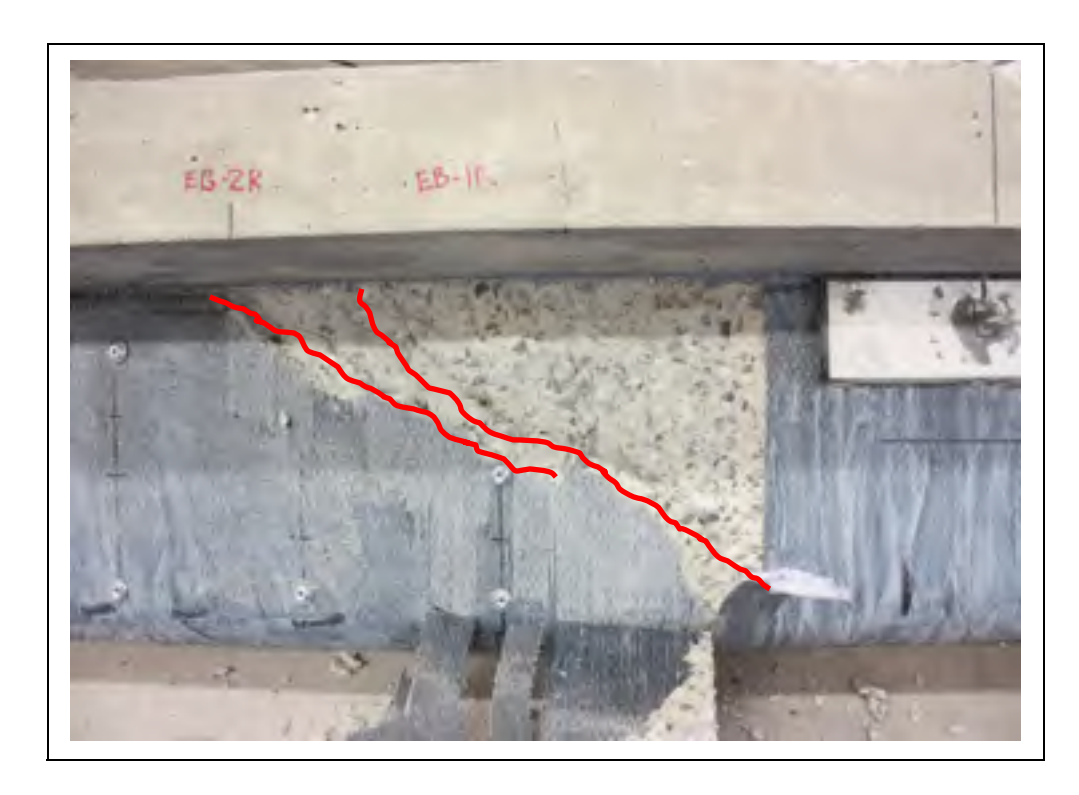


Figure 5.6 Mode de rupture du spécimen S1-EB



Figure 5.7 Délaminage du renfort du spécimen S1-EB



Figure 5.8 Fissure de flexion du PRFC spécimen S1-EB

Maniabilité / mise en œuvre du système :

Considérant que le renforcement en cisaillement doit être appliqué sur des éléments de structure déjà en place, voire en service, se trouvant en majeure partie au-dessus du sol et pouvant être de formes différentes, l'utilisation de ce système est facilement adaptable aux différentes situations. Qu'il s'agisse d'une poutre de dalle nervurée, d'une poutre de pont coulée en place, d'une poutre ASSHTO ou NEBT, il sera possible d'utiliser ce type de renforcement. Contrairement au système de lamelles Sika L-Shape, le tissu en PRF permet d'épouser différentes formes et d'accommoder toutes les dimensions possibles. Le temps de cure minimal recommandé pour la colle Sikadur 330 est de 5 jours dans des conditions de températures situées entre 21 et 24°C, des données sont disponibles dans la fiche technique relative au produit SikaWrap Hex 230C dans ces conditions (annexe I). Notons que ce délai est comparable aux autres systèmes étudiés. La superficie de poutre à préparer est cependant plus importante que celle des autres systèmes. En effet, la surface de contact de ce type de renfort étant plus importante, cela nécessite un nettoyage plus étendu de la surface au jet abrasif. De plus, toutes les arêtes doivent être arrondies à un rayon de 10 mm minimum avant la mise en place du tissu en PRF. Lorsque l'élément renforcé est soumis aux rayons de soleil, le fabricant recommande l'application d'une couche de protection afin d'accroître la durabilité du système. Somme toute, la mise en place de ce système est relativement simple à réaliser malgré les nombreuses étapes de préparation requises.

Résumé sommaire-spécimen S1-EB:

L'analyse du spécimen S1-EB montre que le renfort sous forme de tissu collé en surface (EB) permet une augmentation significative de la résistance en cisaillement des poutres préfissurées. Cependant, la rupture en cisaillement est difficilement prévisible. L'application de ce type de renfort permet d'accroître la résistance, mais empêche d'observer les signes avant-coureurs, tels que l'apparition et la progression des fissures. Mis à part le décollement et le délaminage du renfort qui sont apparents à l'œil nu, il est difficile de prédire une rupture imminente de l'élément une fois renforcé à l'aide de cette méthode de renforcement externe.

Il est recommandé, lors des prochains essais sur des poutres renforcées avec tissu continu, de considérer d'installer une jauge de déformation sur la partie inférieure du renfort, dans la zone en tension. Cette jauge permettrait d'analyser la contribution sur la résistance en cisaillement du renfort dans la partie tendue.

5.2.2 Spécimen S1-ETS-9 mm

La figure 5.9 présente une image globale de poutre S1-ETS-9 mm, on peut y observer la configuration ainsi que l'endroit où la fissure de cisaillement s'est produite.

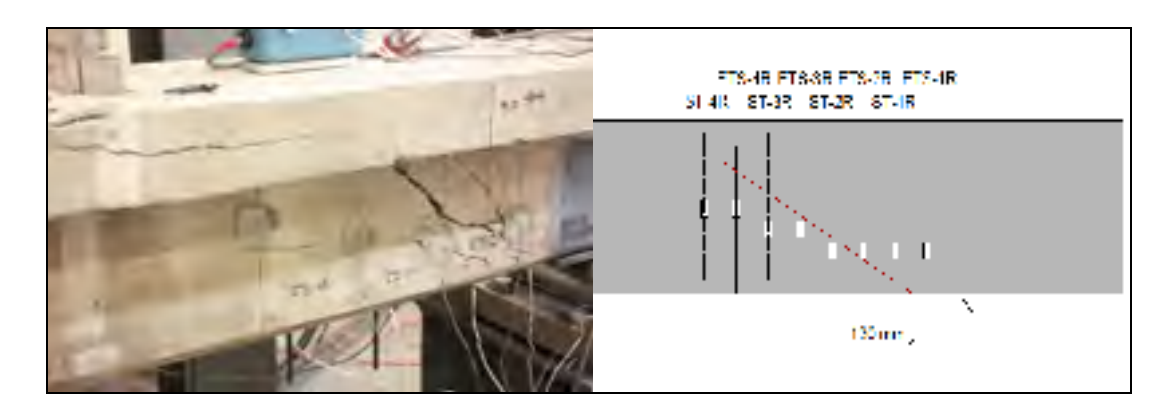


Figure 5.9 Observation spécimen S1-ETS-9 mm (fissure en rouge)

Charge atteinte:

La charge maximale atteinte lors de l'essai était de 518 kN, ce qui représente une augmentation de 20 % par rapport à la poutre de contrôle (432 kN). On observe que la force progresse linéairement jusqu'au moment où l'acier transversal entre dans la phase plastique (figure 5.10). En comparant la progression de la force avec celle du spécimen précédent (S1-EB), on remarque que le spécimen S1-ETS-9 mm ne comporte pas de plateau avant l'atteinte de la force maximale avant rupture. Contrairement au renfort collé en surface, les éléments de renfort encastrés dans l'âme de la poutre du spécimen S1-ETS-9 mm permettent d'empêcher le décollement en surface et continue de contribuer jusqu'à l'atteinte de la force maximale. Cette participation s'observe par une constante croissance de la force avant la rupture. Nous ne pouvons cependant pas

quantifier clairement la contribution du renfort puisqu'aucune donnée sur le renfort n'a pu être enregistrée du côté où la rupture s'est produite. Le système d'acquisition de données n'a pas enregistré les déformations subies par le renfort durant le chargement. Cependant, en analysant le comportement du renfort du côté opposé de la rupture (figure 5.11), nous remarquons que les déformations unitaires du renfort croient de façon linéaire jusqu'à l'atteinte de la force maximale. Notons que ce type de renfort est celui qui représente la section de PRF par espacement de 175 mm la plus faible (soit : 64 mm²) tous spécimens confondus, comparativement à 112 mm² et 133 mm² pour les lamelles en L (L-Shape) et le tissu SikaWrap Hex, respectivement. Bien que des données soient manquantes à l'analyse de ce spécimen, nous sommes tout de même en mesure de comparer le gain de résistance avec les autres spécimens à l'étude. Ainsi, en divisant le gain de résistance total par l'aire du renfort par espacement, on obtient un gain de résistance de 0.31 %/mm² de renfort pour le spécimen S1-ETS-9 mm.

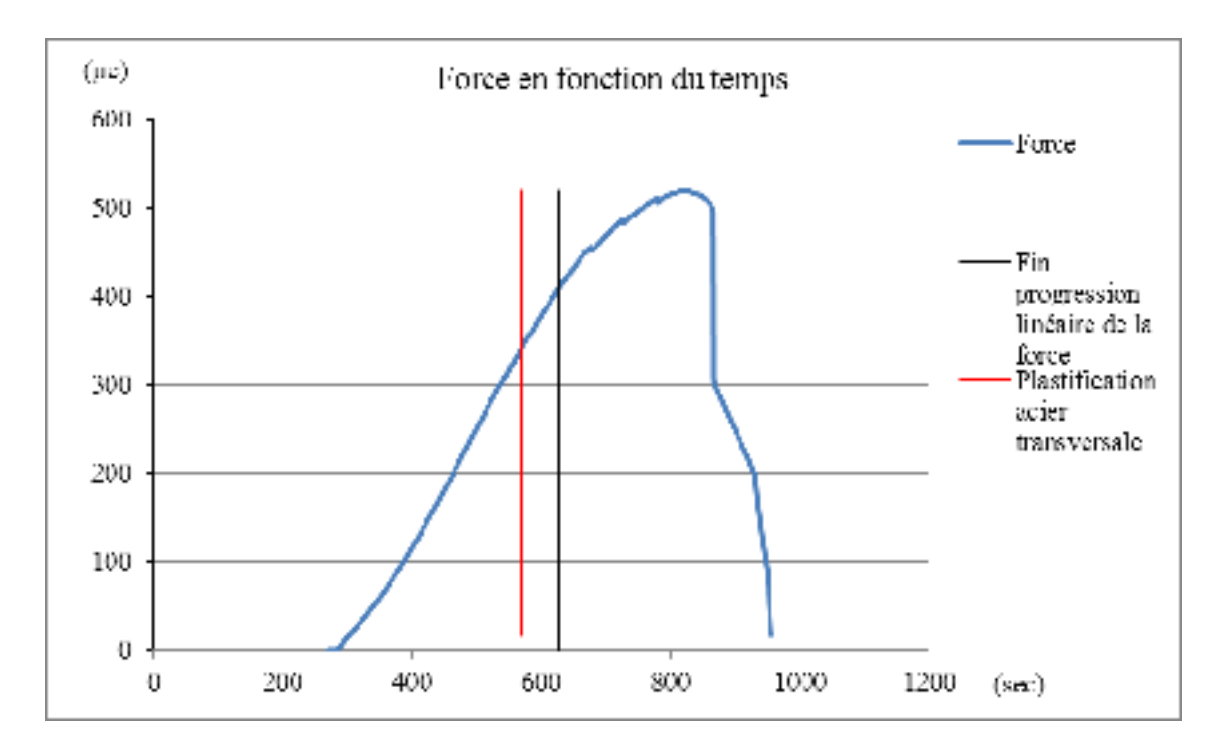


Figure 5.10 Force en fonction du temps pour spécimen S1-ETS-9 mm

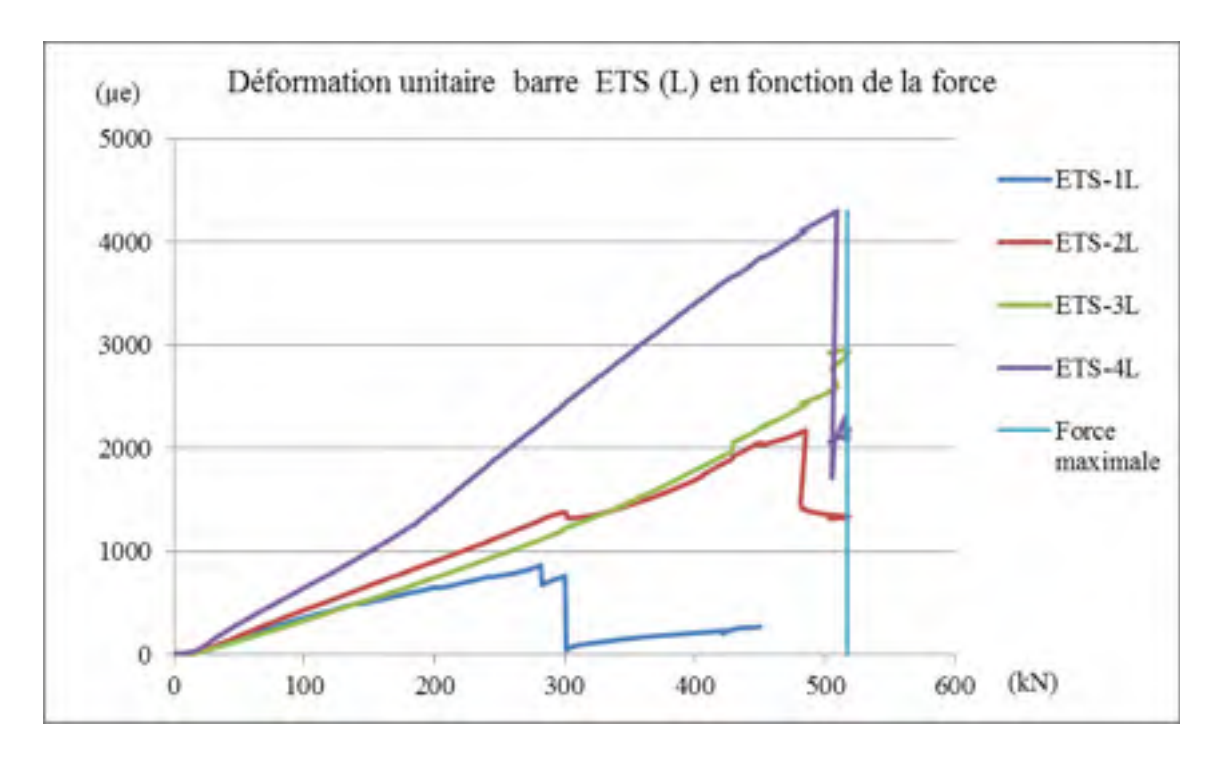


Figure 5.11 Déformation unitaire barres ETS(L) en fonction de la force : spécimen S1-ETS-9 mm

Déformations:

Tel que décrit plus tôt, les jauges de déformation placées sur le renfort en PRFC interne ainsi que sur les aciers d'armature internes, outre ceux des renforts du côté droit, ont permis d'enregistrer les déformations unitaires en temps réel tout au long du chargement, et ce, jusqu'à la rupture. Pour le spécimen S1-ETS-9 mm, les déformations unitaires de chacun des éléments ont atteint les valeurs maximales simultanément non loin du point de rupture. La déformation unitaire maximale de l'acier transversal enregistrée est de 14373 με pour l'étrier ST-1R. Cette valeur indique que l'acier transversal s'est plastifié puisqu'elle dépasse largement la valeur de 3425 με, limite de déformation élastique de l'acier transversal pour une contrainte élastique limite de 685 MPa. Pour le renfort du côté opposé à la rupture, le senseur placé sur la barre ETS-4L présente une déformation maximale de 4304 με lors du chargement alors que la déformation limite prescrite par le fournisseur est de 18000 με. Une déformation de 12874 με pour l'armature longitudinale a été enregistrée, dépassant également la limite élastique mesurée de 3250 με.

Le graphique des déformations unitaires de l'acier transversal (figure 5.12), indique clairement qu'une fois que la limite élastique de l'acier a été atteinte, on observe que la force cesse de progresser linéairement. La contribution de l'acier transversal à la résistance de l'élément est réduite considérablement. Toutefois, la déformation de l'acier augmente jusqu'à l'atteinte de la force maximale. Bien que les données sur la contribution du renfort du côté de la rupture ne soient pas disponibles, il est raisonnable d'admettre que les barres de PRFC encastrées contribuent, car l'absence d'un plateau plastique sur le graphique de la force en fonction du temps (graphique 5) indique qu'un élément, autre que l'acier transversal, permet une augmentation presque constante de la force enregistrée jusqu'à la force maximale.

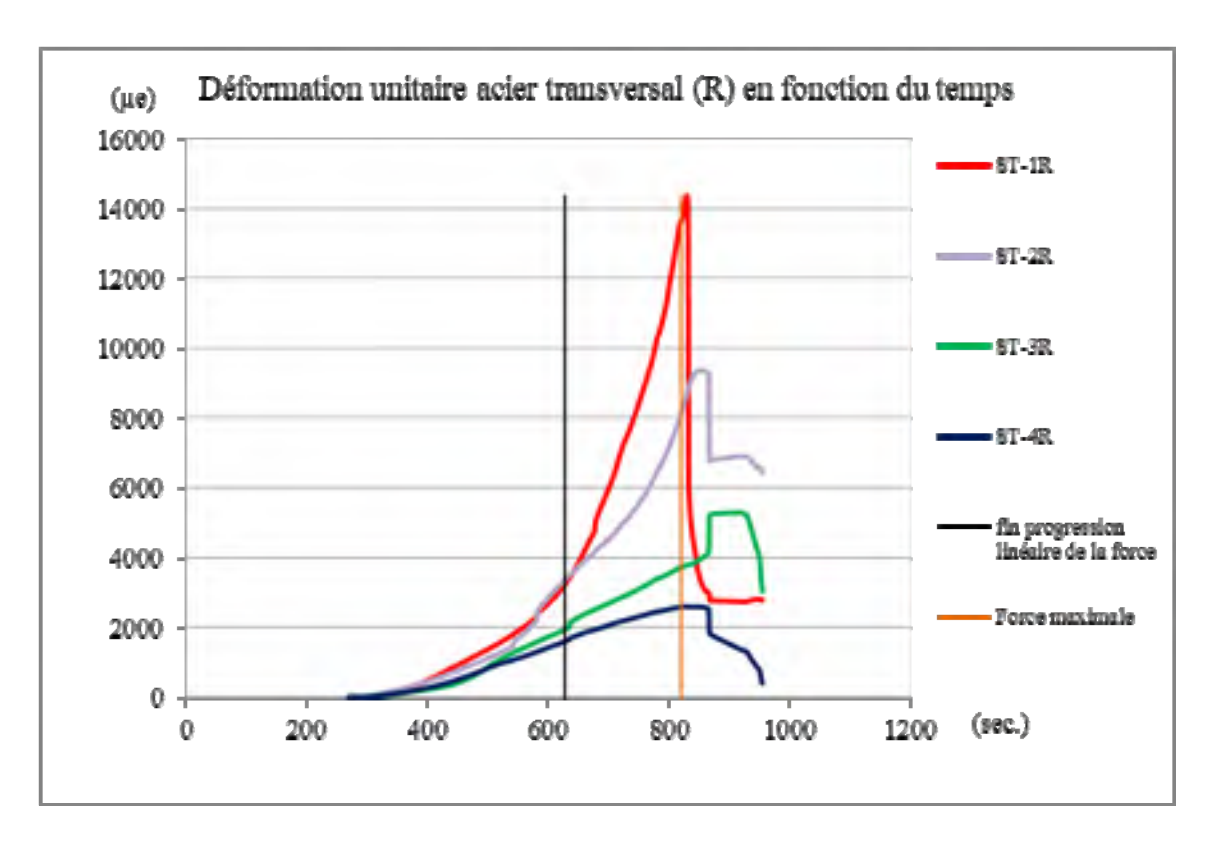


Figure 5.12 Déformation unitaire acier transversal (R) en fonction du temps pour spécimen S1-ETS-9 mm

La limite élastique de l'acier longitudinal est aussi atteinte durant le chargement du spécimen S1-ETS-9 mm (figure 5.13). Par contre, puisque nous ne détenons pas les

données du côté de la rupture sur le renfort de PRFC, nous ne sommes pas en mesure d'établir l'influence de la plastification des éléments d'acier sur le comportement du renfort.

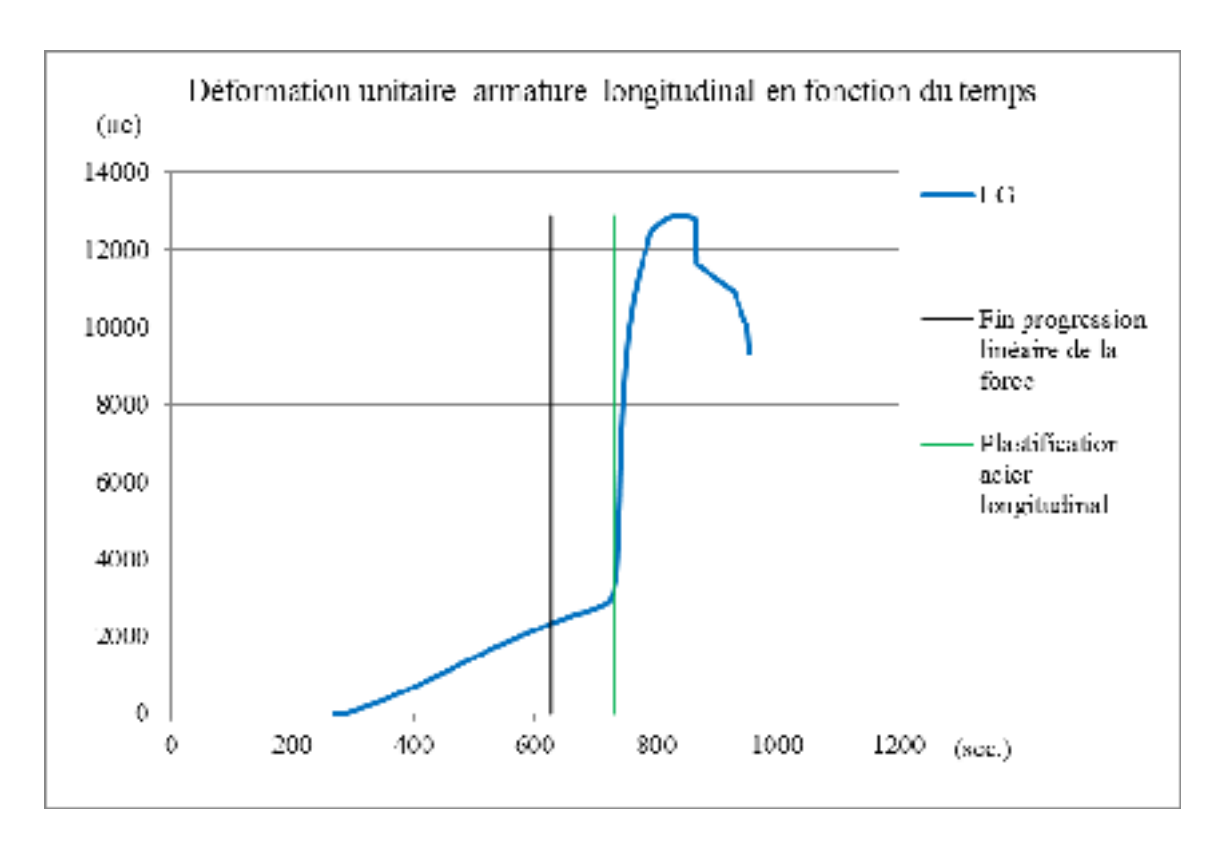


Figure 5.13 Déformation unitaire acier longitudinal en fonction du temps pour spécimen S1-ETS-9 mm

Mode de rupture :

La fin de l'essai s'est conclue par une rupture en cisaillement du côté droit comme en témoigne la figure 5.14. L'angle de la fissure principale observée est de 30.8 degrés et s'est développé à 130 mm du point d'appui. De plus, suite à une auscultation post-chargement, nous avons découvert que l'étrier ST-2R s'était sectionné dans l'axe de la fissuration (figure 5.15). Ces observations permettent d'affirmer que lors de l'atteinte de la force maximale, le spécimen S1-ETS-9 mm a cédé en cisaillement.

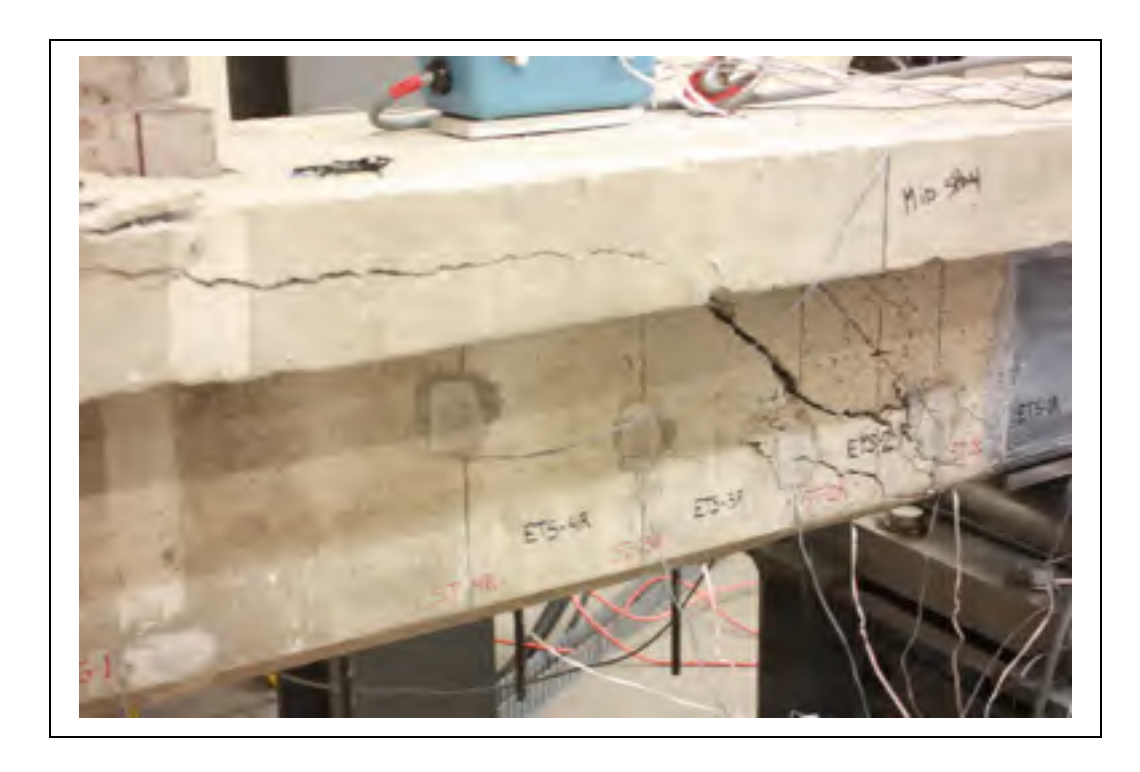


Figure 5.14 Mode de rupture du spécimen S1-ETS-9 mm

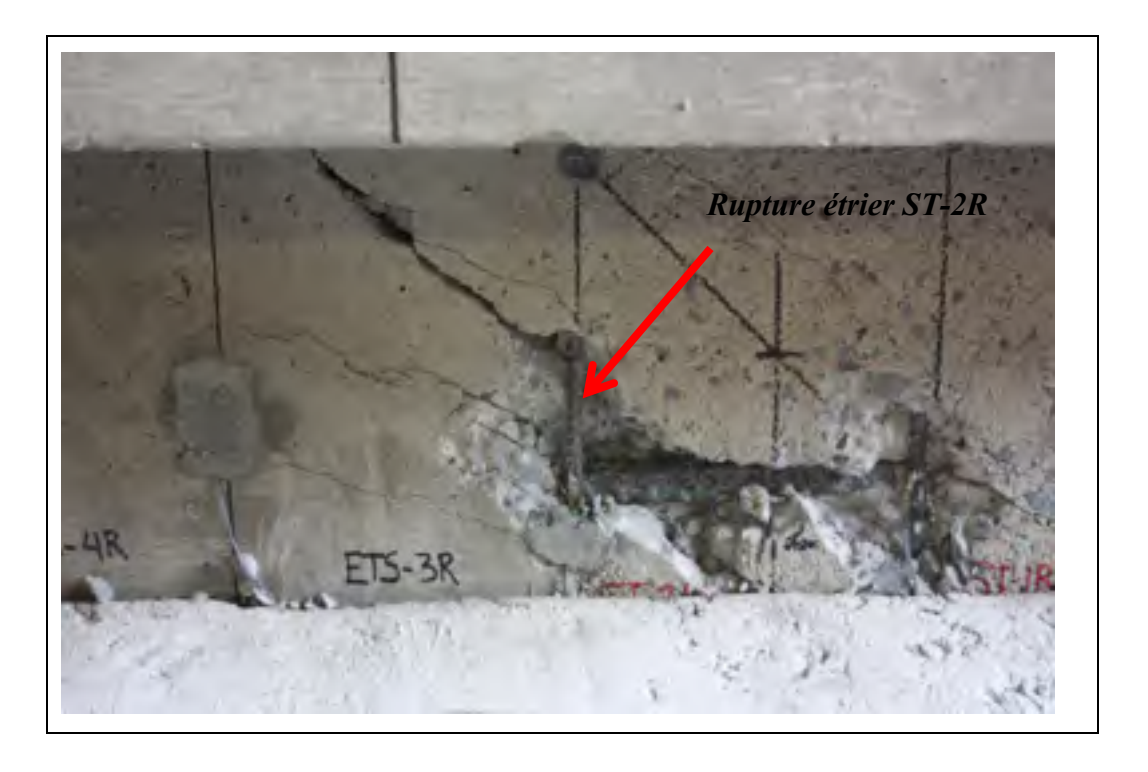


Figure 5.15 Rupture de l'étrier ST-2R du spécimen S1-ETS-9 mm

Maniabilité / mise en œuvre du système :

L'application du renforcement en cisaillement à l'aide de ce système n'est pas limitée. Le système peut être utilisé pour tous types de poutre de béton armé, de dalle nervurée ou même au niveau des dalles épaisses. Du fait que les barres de PRFC sont encastrées dans le béton, cette méthode, représentée par le spécimen S1-ETS-9 mm, offre une protection contre les rayons directs du soleil contrairement aux systèmes de renforcement des autres poutres à l'étude. Ceci en fait un avantage au niveau de la durabilité des poutres exposées. Des dispositions particulières seront cependant nécessaires à la localisation des barres d'armatures existantes des éléments renforcés avant d'entreprendre le percement. Il pourrait être parfois difficile d'effectuer le forage nécessaire à l'insertion des barres sans croiser l'acier d'armature existante. Ce point pourrait être encore plus contraignant dans le cas des poutres de béton armé précontraintes, surtout dans le cas où la quantité de torons dans la semelle inférieure est importante. De plus, avant de s'arrêter sur ce choix de système, il faudra s'assurer qu'il y ait suffisamment d'espace sous les poutres pour utiliser l'équipement de forage. Outre ces précautions, la facilité, la rapidité d'exécution et de préparation de ce système pourraient s'avérer avantageuses.

Résumé sommaire-spécimen S1-ETS-9 mm :

L'interprétation que nous pouvons tirer suite à l'analyse des données recueillies lors de l'essai sur le spécimen S1-ETS-9 mm démontre que l'utilisation de ce type de renfort permet d'augmenter considérablement la résistance des poutres de béton armé préfissurées. La contribution du renfort ne peut toutefois être quantifiée compte tenu de la défaillance du système de saisie de données du côté de la rupture. Néanmoins, l'augmentation de la force maximale observée comparativement à la poutre de contrôle témoigne de l'efficacité et la contribution évidente du système de renfort du spécimen S1-ETS-9 mm. Par contre en comparant avec les autres systèmes de renforcement mis à l'essai, cette méthode de renforcement présente un comportement moins ductile. Ce point et illustré sur le graphique de la figure 5.13 et ne présente aucun plateau avant la rupture. De plus, le spécimen ne montre aucun signe précurseur de la rupture avant la

ruine de l'élément. Contrairement aux autres spécimens qui présentaient tous un décollement du renfort par arrachement du béton en surface avant rupture, le renfort du spécimen S1-ETS-9 mm ne pouvait être évalué visuellement, car le renfort de cette poutre était encastré dans l'âme.

5.2.3 Spécimen S1-LS-NA

La figure 5.16 présente une image globale de poutre S1-LS-NA, on peut y observer la configuration ainsi que l'endroit où la fissure de cisaillement s'est produite.

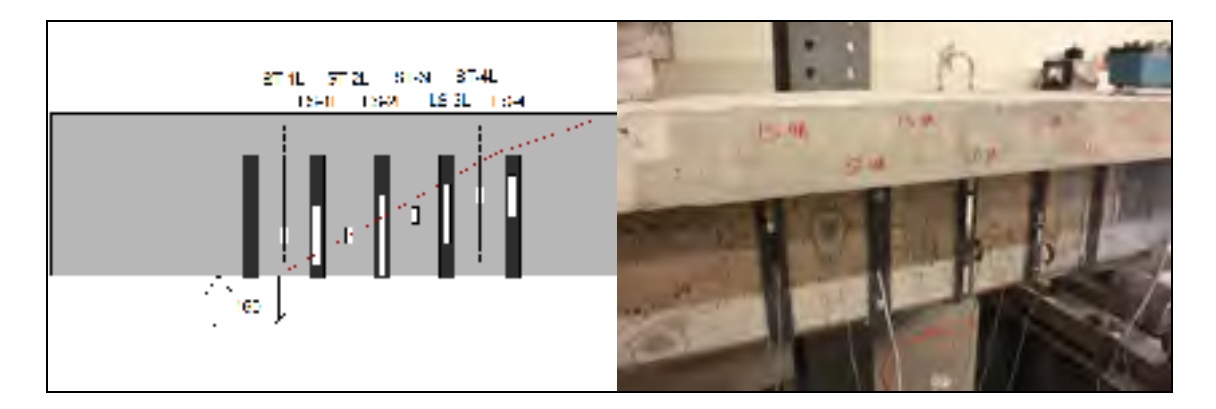


Figure 5.16 Observation du spécimen S1-LS-NA (fissure en rouge)

Charge atteinte:

La charge maximale atteinte lors de l'essai était de 551 kN, ce qui représente une augmentation de 28 % comparativement à la poutre de contrôle (432 kN). Lorsqu'on observe la progression de la force (figure 5.17), on remarque que lorsque le renfort arrête de contribuer et que l'acier se plastifie, ces deux paramètres se situent près du moment où la force cesse de progresser de façon linéaire. Ce phénomène indique que l'accroissement de la force est lié directement à l'interaction de ces deux composantes. On peut aussi observer qu'au moment où le renfort cesse de contribuer, une augmentation de la force est tout de même visible, bien que l'acier ait commencé à se plastifier. On remarque aussi que l'acier d'armature commence à se plastifier au-delà de la force maximale atteinte de la poutre de contrôle. Cette observation, qu'on peut voir

aussi sur plusieurs spécimens à l'essai, démontre une certaine interaction entre l'acier transversal et le renfort de PRFC. Notons enfin que ce système a permis d'obtenir un gain de résistance de 0,25 % par mm² de PRFC.

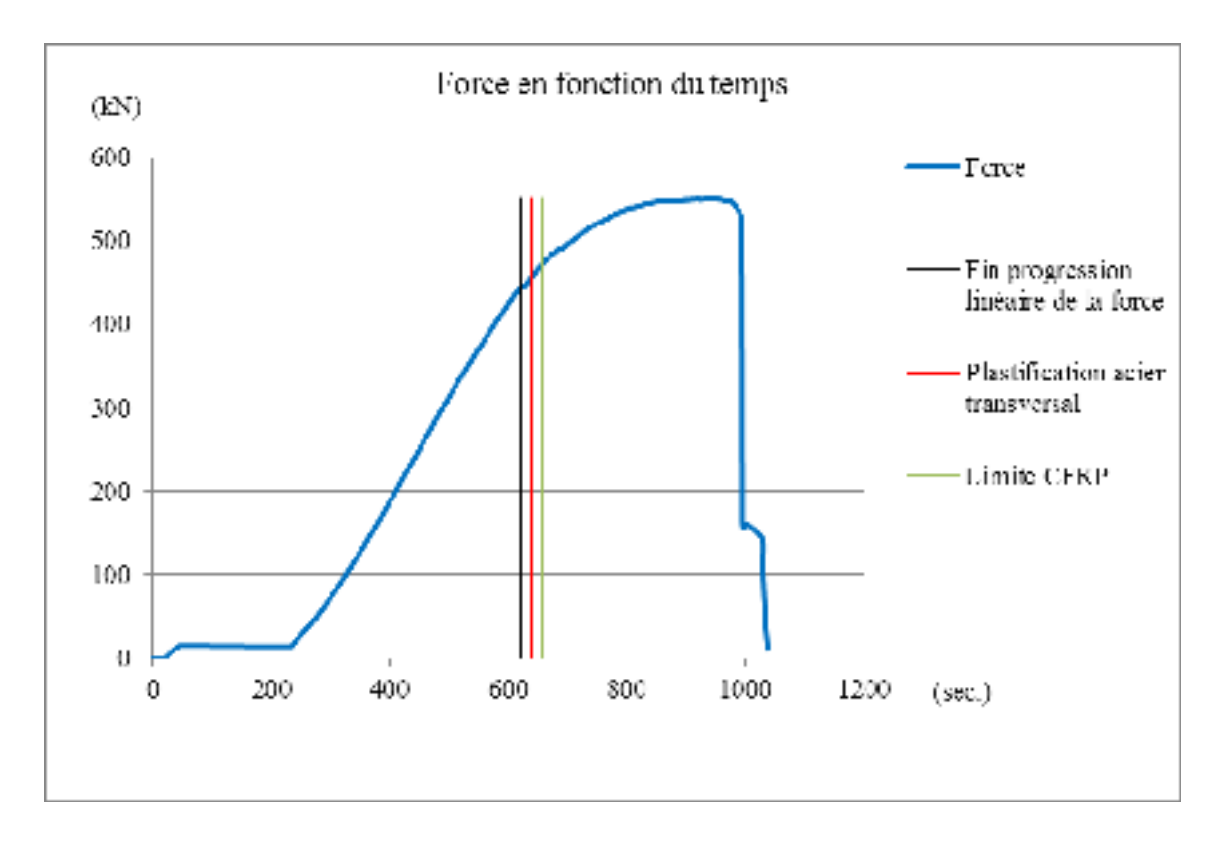


Figure 5.17 Force en fonction du temps pour spécimen S1-LS-NA

Déformations:

Tout au long de l'essai, les jauges à déformation placées sur l'armature interne et sur le renfort en PRFC ont enregistré les déformations dans les différents éléments du spécimen lors du chargement jusqu'à la rupture. Du côté de la rupture, la déformation maximale atteinte par la barre ST-2L a été de 15862 µe. Cette valeur, située au-delà de la limite élastique de 3425 µe, confirme que l'armature transversale a atteint l'état de plastification lors du chargement en ST-1L et ST-2L. Toutefois, on peut remarquer qu'en ST-3L et ST-4L les déformations enregistrées montrent que ces barres n'étaient pas encore plastifiées à l'atteinte de la force maximale. Au moment de l'atteinte de la force maximale, on remarque en ST-2L une augmentation significative de la

déformation au-delà de cette limite, qui se traduit par la fin de sa contribution (figure 5.18). Notons que ST-2L s'est fractionnée à la fin du chargement. Le renfort quant à lui a subi une déformation unitaire maximale de 1176 μe. Cette déformation est très loin de la limite prescrite par le fournisseur de 13000 μe. Cette faible performance est principalement due au décollement prématuré du renfort occasionné par l'absence d'encastrement des lamelles de CFRP sur ce spécimen. En observant la déformation du renfort lors du chargement (figure 5.19), on remarque que lorsque la déformation commence à décroître, le renfort commence à décoller dans la partie supérieure de l'âme (figure 5.21). Cette observation est visible par la compression des capteurs de déplacement externes placés sur les lamelles de PRFC. L'armature longitudinale a enregistré une déformation de 10690 μe à la fin du chargement. Cette valeur, supérieure à 3250 μe, indique que l'acier longitudinal était aussi dans un état plastifié à la fin de l'essai. Malgré cette plastification, le graphique de la figure 5.20 témoigne de la contribution de l'acier longitudinal jusqu'à l'atteinte de la force maximale.

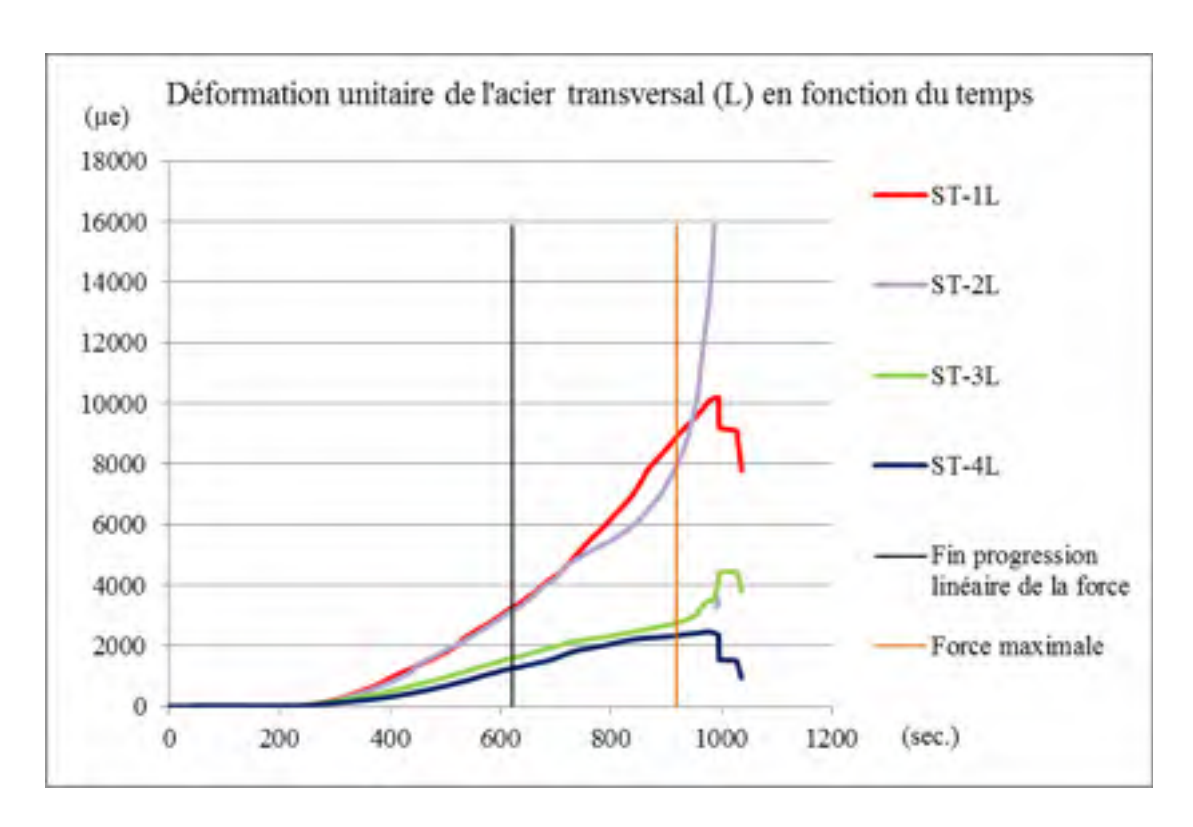


Figure 5.18 Déformation unitaire de l'acier transversal en fonction du temps pour spécimen S1-LS-NA

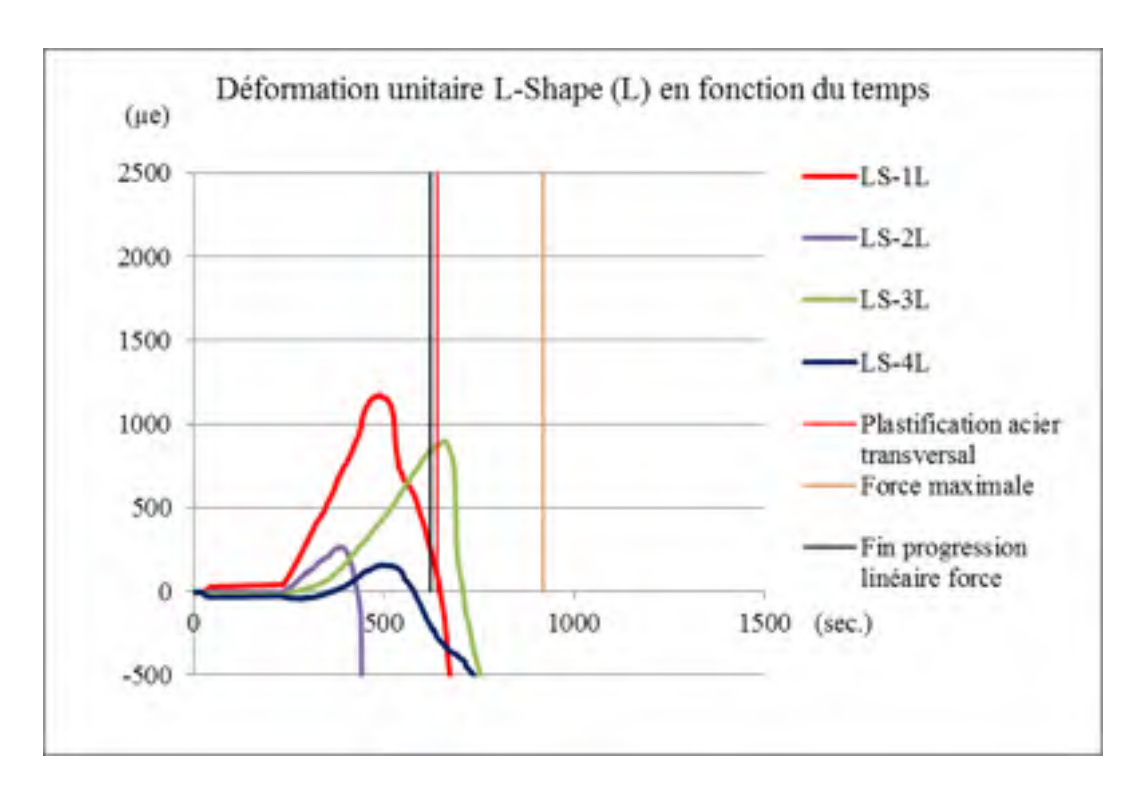


Figure 5.19 Déformation unitaire L-Shape (L) en fonction du temps pour spécimen S1-LS-NA

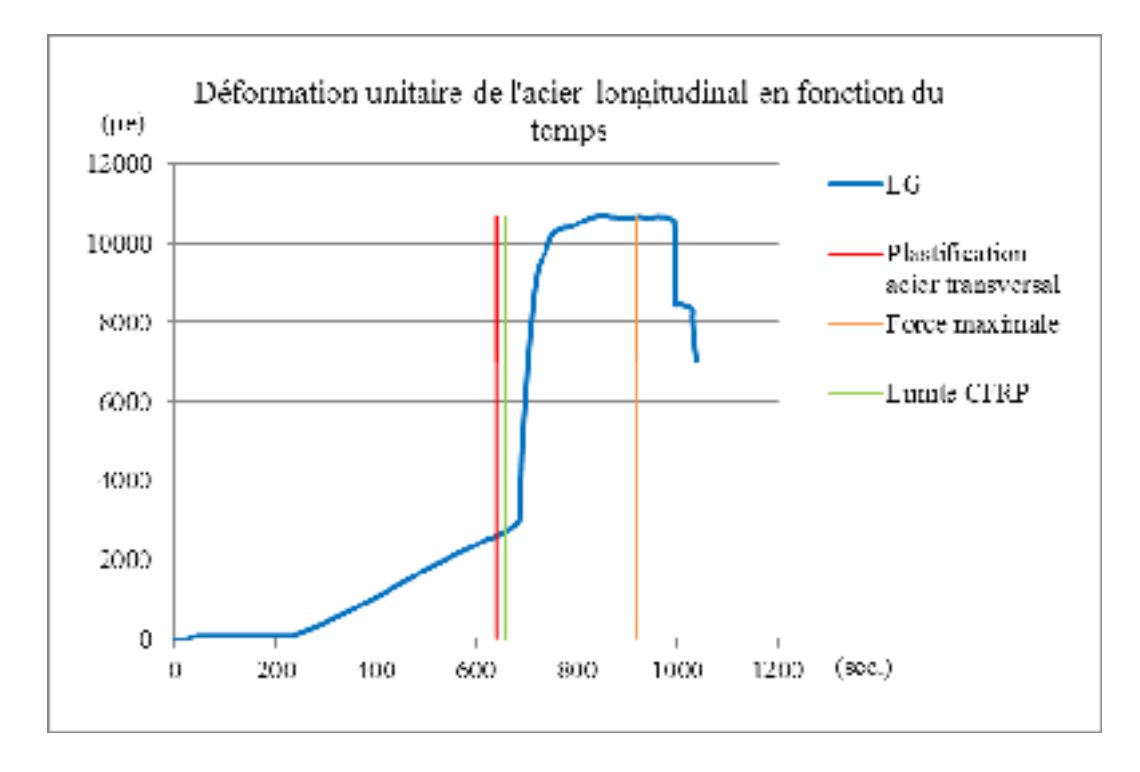


Figure 5.20 Déformation unitaire de l'acier longitudinal en fonction du temps pour spécimen S1-LS-NA

Mode de rupture :

La fin de l'essai s'est terminée par une rupture en cisaillement du côté gauche comme on peut voir sur la figure 5.21. L'angle de la fissure principale observée est de 27.7 degrés et s'est développé à 160 mm du point d'appui. Nous avons aussi pu observer que l'étrier ST-2L s'était sectionné dans le plan de la fissuration. On peut aussi observer le décollement des lamelles de PRFC sur cette figure. Ces observations permettent d'affirmer que suite à l'atteinte de la force maximale, le spécimen S1-LS-NA a cédé en cisaillement à la fin du chargement. En examinant spécifiquement l'endroit où la fissure s'est produite, on remarque que le spécimen a cédé exactement à un endroit où on pouvait observer une fissure due au préchargement. Cette fissure avait était identifiée par un trait rouge sur la poutre avant le chargement (figure 5.22).



Figure 5.21 Mode de rupture du spécimen S1-LS-NA

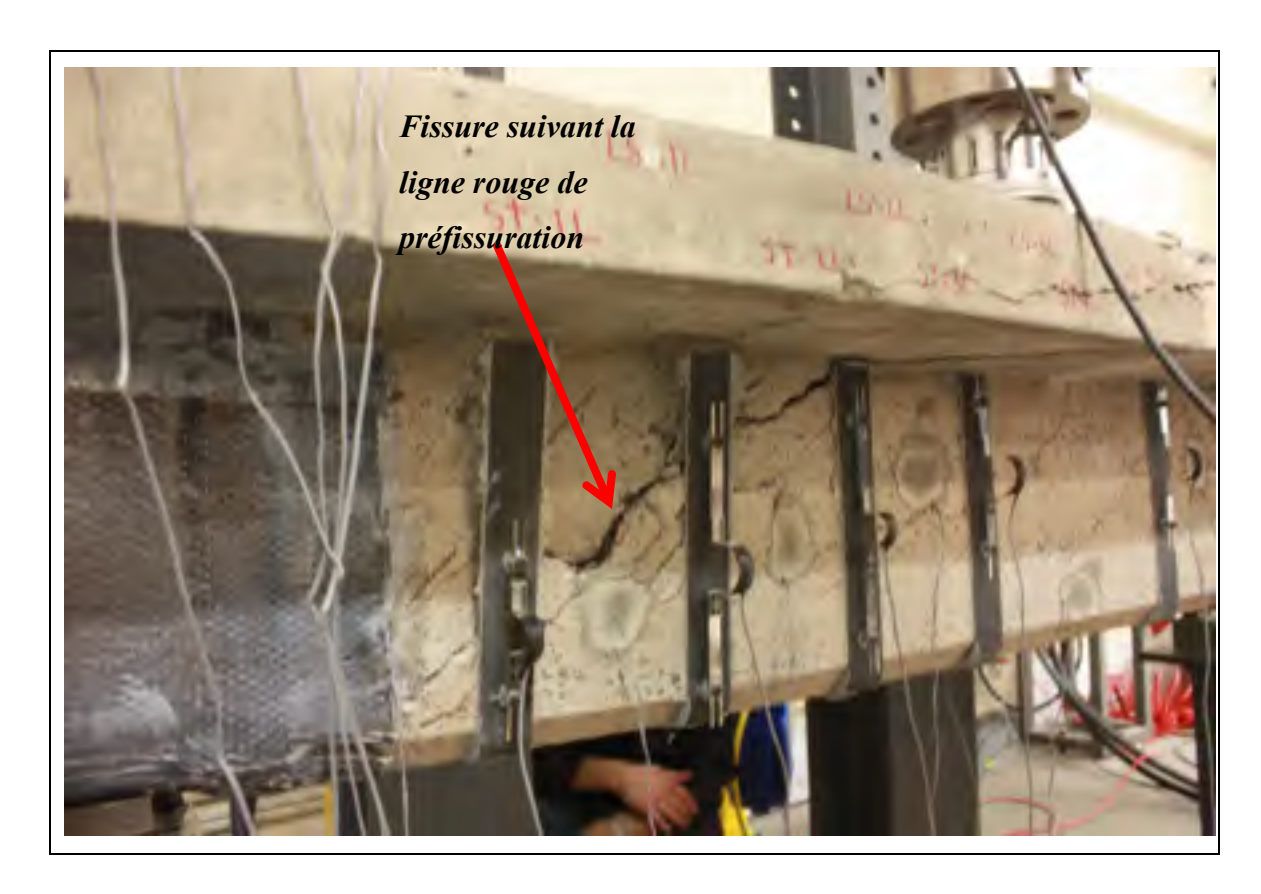


Figure 5.22 Fissure de préfissuration du spécimen S1-LS-NA

Maniabilité / mise en œuvre du système :

Le spécimen S1-LS-NA, muni de lamelles CarboShear L, constitue un système de renforcement dont la facilité d'application se situe entre celle du spécimen S1-ETS-9 mm et du spécimen S1-EB. Un minimum de préparation est toutefois nécessaire avant la mise en place du renfort. En effet, une préparation au jet abrasif des surfaces vis-à-vis le positionnement des lamelles est nécessaire afin de permettre une meilleure adhésion en surface. Cette préparation demande par contre de confiner la zone renforcée lors de la mise en œuvre, demandant ainsi des dispositions particulières qui pourraient augmenter le coût des travaux. De plus, ce système de renfort ne peut être utilisé sur tous les types de poutres. Seulement les poutres rectangulaires ou en T peuvent être renforcées à l'aide de ce système. Cette particularité en fait un inconvénient puisqu'il peut être difficile de l'utiliser pour le renforcement de poutres préfabriquées, AASHTO et NEBT, que l'on retrouve sur la plupart des ponts du réseau routier québécois. Contrairement au système

avec tissu collé en surface, spécimen S1-EB, cette méthode de renfort permet d'observer la progression des fissures une fois la poutre renforcée, laissant ainsi prévoir la ruine de l'ouvrage.

Résumé sommaire-spécimen S1-LS-NA:

Bien que le fournisseur recommande l'encastrement des lamelles sur une profondeur de 100 mm minimum, nous avons tout de même évalué le gain de résistance de ce système sans aucun ancrage avec le spécimen S1-LS-NA. La contribution de ce système de renforcement a clairement été influencée par ce manque d'encastrement. Le décollement prématuré des lamelles Sika CarboShear L dans la partie supérieure a visiblement affecté la progression de la force. Aussitôt le décollement initié, les efforts sont transférés à l'acier d'armature interne, limitant le gain possible de résistance. Même si ce système permet un certain gain de résistance, les bienfaits d'ancrer les lamelles dans la table de compression sur une profondeur sera discuté lors de l'étude des spécimens suivants.

5.2.4 Spécimen S1-LS-TA

La figure 5.23 présente une image globale de poutre S1-LS-TA, on peut y observer la configuration ainsi que l'endroit où la fissure de cisaillement s'est produite.

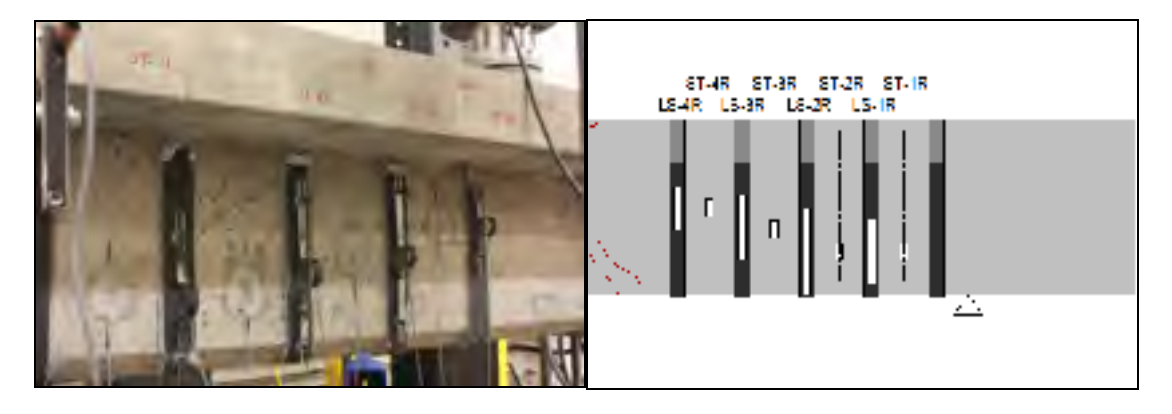


Figure 5.23 Observation du spécimen S1-LS-TA (fissure en rouge)

Charge atteinte:

La charge maximale atteinte lors de l'essai était de 671 kN, ce qui représente une augmentation de 55 % comparativement à la poutre de contrôle (432 kN). Cette charge est la plus élevée, tous spécimens confondus. L'acier transversal ainsi que le renfort ont contribué jusqu'à l'atteinte de la force maximale. Contrairement à la plupart des autres spécimens, la fin de la progression linéaire de la force ne coïncide pas avec la plastification de l'acier transversal, mais avec celle de la plastification de l'acier longitudinal (figure 5.24). Lors du chargement, on remarque également que l'acier transversal se plastifie beaucoup plus tard que l'acier longitudinal. Cette observation peut s'expliquer par le soulagement des barres transversales dû à une contribution bénéfique et efficace du renfort. Cette configuration permet ainsi à l'acier transversal de se plastifier sous une charge beaucoup plus élevée que les autres spécimens, autour de 600 kN. Notons que ce système a permis d'obtenir le gain de résistance le plus efficace, soit 0,49 % par mm² de PRFC.

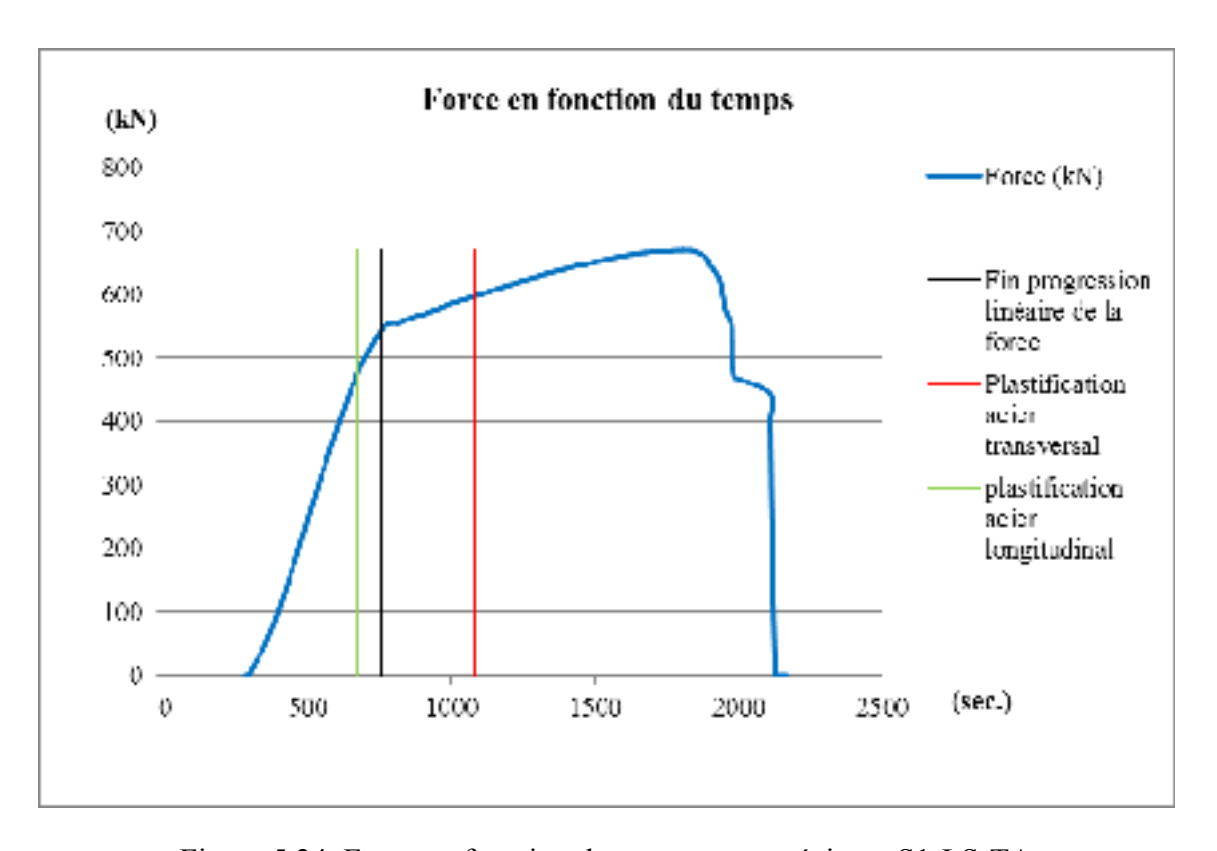


Figure 5.24 Force en fonction du temps pour spécimen S1-LS-TA

Déformations:

Puisque les jauges de déformation des armatures internes et du renfort ont permis la saisie de données similaires sur les deux côtés du spécimen, et que la rupture s'est produite en flexion au centre de la poutre mise à l'essai, les données d'un seul côté seront alors représentées graphiquement. Une déformation maximale de 13977 µe a été atteinte sur la barre transversale ST-4L, passée la force maximale atteinte. On remarque sur le graphique de la figure 5.25, qu'au-delà de la limite maximale de la force enregistrée, les déformations unitaires s'amplifient au niveau des barres ST-3L et ST-4L, contrairement à la plupart des autres spécimens qui ont démontré des déformations plus importantes sur les barres situées à proximité des appuis. Cette amplification décrit une augmentation des contraintes dans les barres transversales situées plus près de la zone de flexion. Il est important de noter que toutes les barres et tous les éléments de renfort ont contribué jusqu'à l'atteinte de la force maximale. La déformation la plus élevée observée pour les lamelles en L (L-Shape) a été de 10479 µe au renfort LS-4L (figure 5.26). Cette valeur s'approche davantage de la limite de 13000 µe prescrite par le fournisseur. Tout comme pour l'acier transversal, ce maximum obtenu est situé plus près de la fissure en flexion que des appuis. Ceci pourrait s'expliquer par un changement de mode de rupture de cisaillement vers un mode de rupture en flexion-cisaillement. L'armature longitudinale, contrairement à la plupart des autres spécimens, s'est plastifiée avant l'acier transversal. Une déformation unitaire de 13345 µe a été enregistrée bien avant l'atteinte de la force maximale. Suite à cette déformation, une baisse significative de la force a été observée pour se stabiliser jusqu'à l'atteinte de la force maximale (figure 5.27).

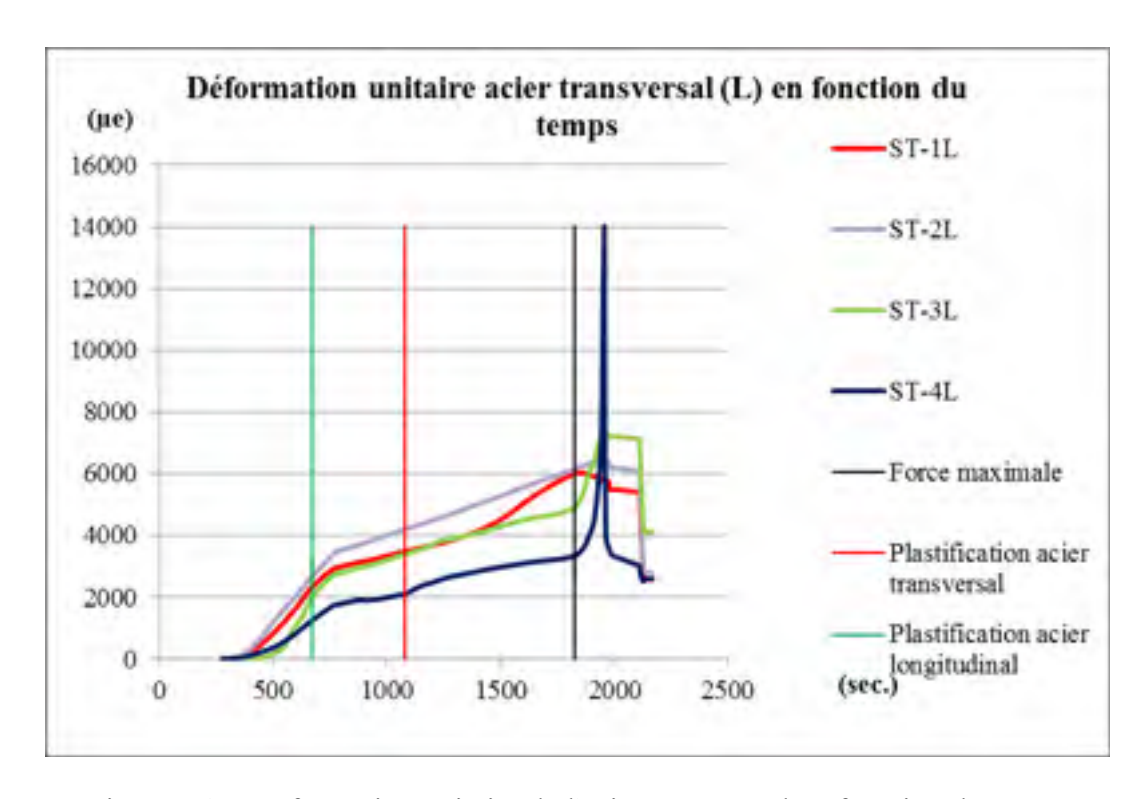


Figure 5.25 Déformation unitaire de l'acier transversal en fonction du temps pour spécimen S1-LS-TA

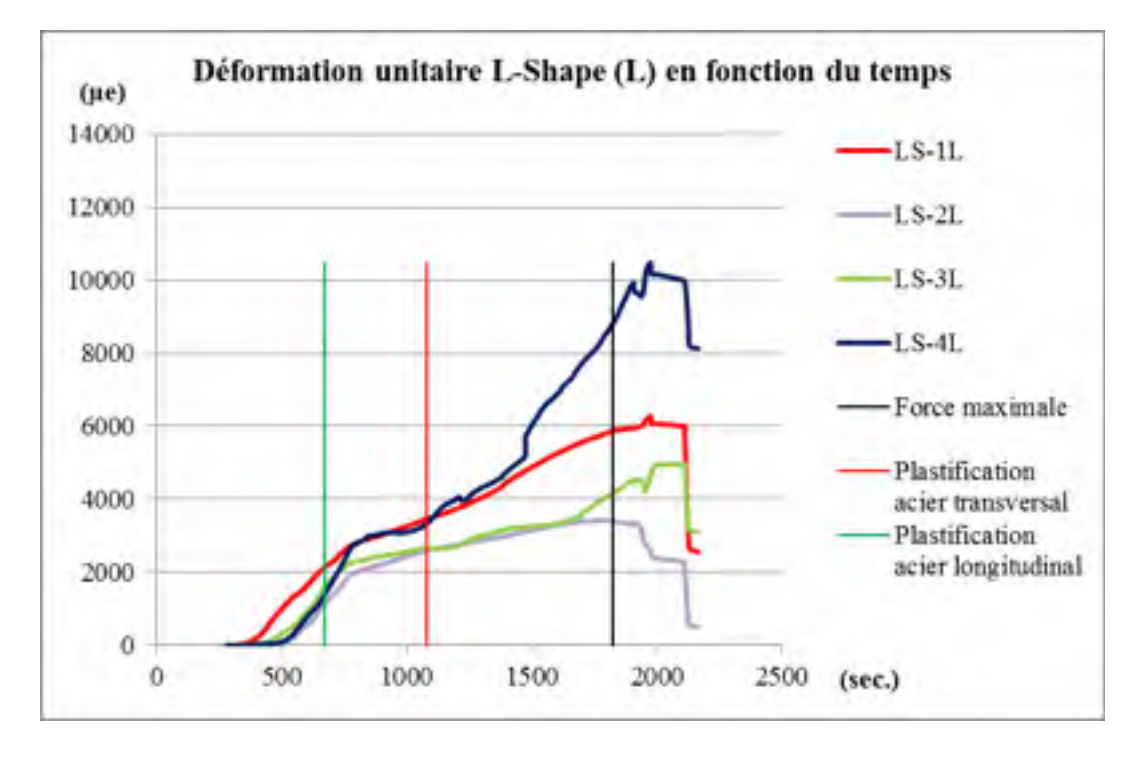


Figure 5.26 Déformation unitaire L-Shape (L) en fonction du temps pour spécimen S1-LS-TA

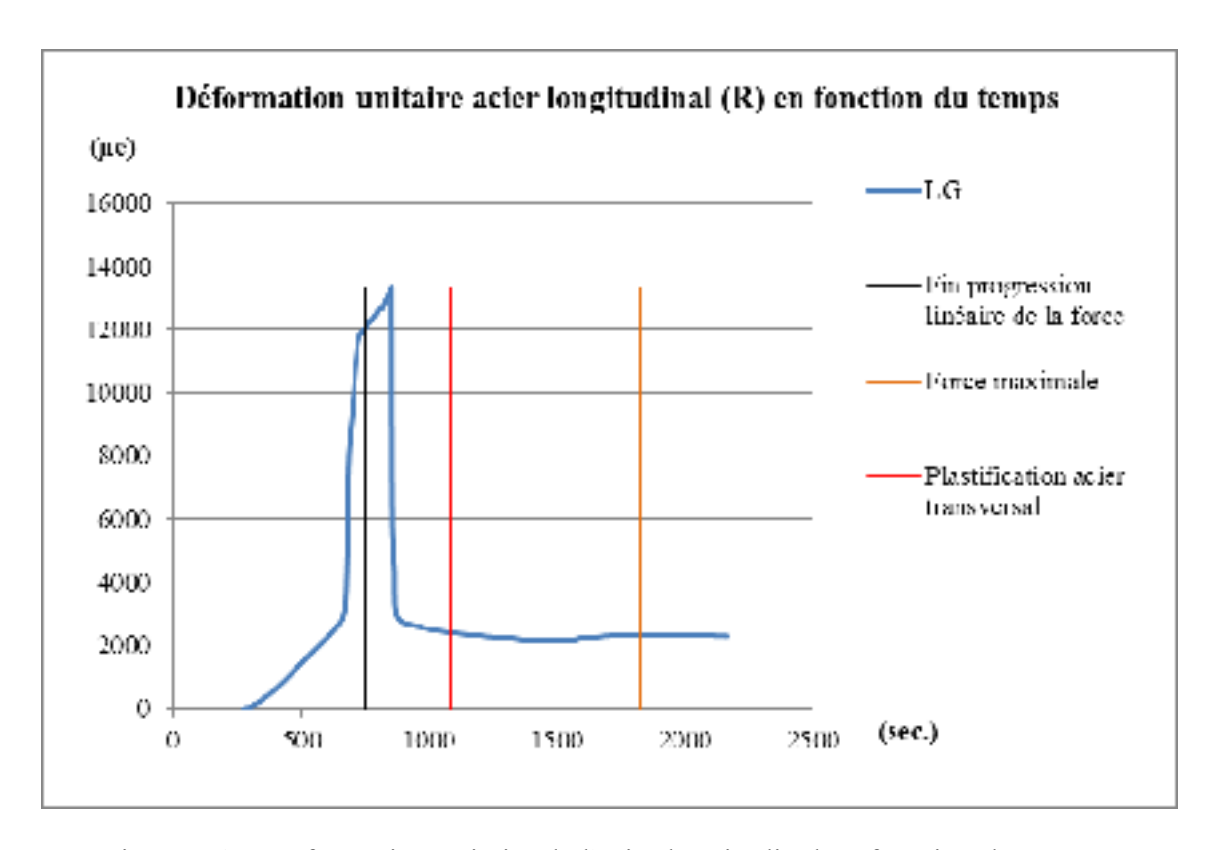


Figure 5.27 Déformation unitaire de l'acier longitudinal en fonction du temps : spécimen S1 LS-TA

Mode de rupture :

Le spécimen S1-LS-TA a montré certaines particularités intéressantes. Il s'agit de la seule poutre mise à l'essai dont le mode de rupture est par flexion. Cette observation démontre clairement l'efficacité de ce système de renforcement et des bienfaits d'ancrer les lamelles de PRFC comme le recommande le fournisseur. Bien que les spécimens à l'étude avaient été dimensionnés pour atteindre une rupture par cisaillement avant une rupture par flexion, ce type de renforcement a permis d'augmenter la résistance au cisaillement au-delà de sa résistance en flexion, et ce, même après avoir subi des efforts ayant causé une préfissuration lors des essais de préchargement. En observant la figure 5.28, on aperçoit clairement les fissures de flexion au centre de la poutre, mais on remarque aussi une fissure de cisaillement qui passe par le renfort LS-3L, ST-4L et LS-4L. Cette fissure s'apparente clairement à une fissure de flexion-cisaillement, ce qui explique pourquoi les déformations des éléments à proximité du centre de la poutre sont

plus importantes que celles des éléments près des appuis à la rupture du spécimen. On peut aussi voir sur cette figure que le béton a éclaté dans la zone de compression, ce qui montre que le spécimen a été jusqu'à la limite de sa capacité.

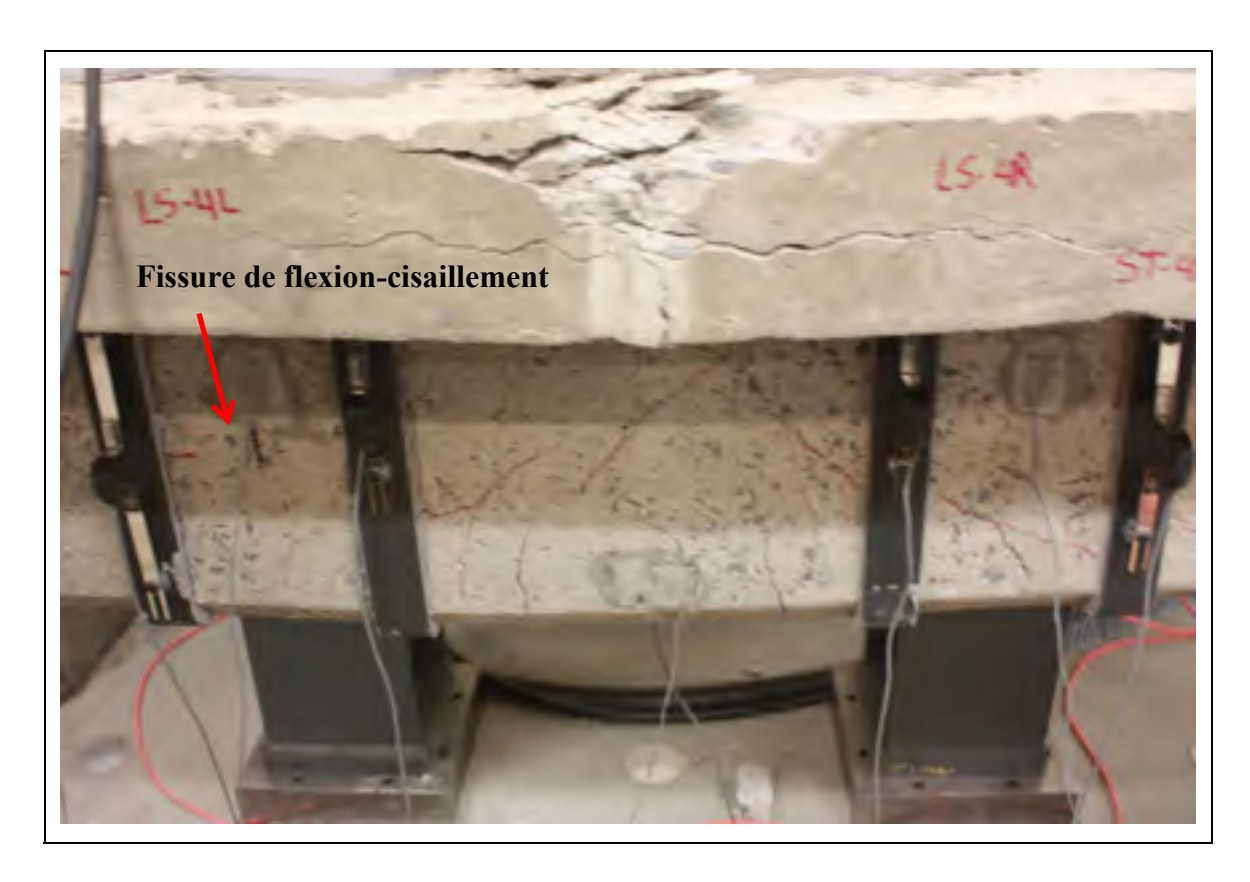


Figure 5.28 Mode de rupture du spécimen S1-LS-TA

Maniabilité / mise en œuvre du système :

Tout comme les autres spécimens S1-LS, par la forme de lamelles préfabriquées, ce mode de renfort est limité aux poutres rectangulaires ou en T et aux dalles nervurées. Un nettoyage de surface, au niveau du renfort, à l'aide d'un jet d'abrasif est aussi nécessaire pour une meilleure adhésion de la colle servant de liaison entre le béton et les lamelles de PRFC. Cette méthode de nettoyage demande une certaine mesure de confinement de l'élément renforcé lors de la préparation au jet abrasif, ce qui représente une certaine contrainte de mise en œuvre. De plus, une tâche supplémentaire est nécessaire pour permettre d'ancrer les lamelles CarboShear L d'une certaine profondeur. Un forage doit

être réalisé dans la partie inférieure de la dalle pour obtenir une profondeur d'ancrage. Ce forage de 100 mm pourrait être particulièrement difficile à réaliser en raison de l'armature dans la dalle supportée par les poutres. La surveillance lors de la mise en place des armatures à l'époque, n'étant pas aussi contrôlée qu'aujourd'hui, pourrait impliquer une irrégularité de l'espacement qui rendrait difficile d'établir un espacement constant pour l'installation des lamelles sans intercepter ces barres lors du forage de préparation. Outre ces inconvénients, l'exposition du béton entre les lamelles de renforcement permet d'observer la progression et le comportement des fissures répertoriées avant ou après le renforcement.

Résumé sommaire-spécimen S1-LS-TA:

La justification d'ancrer les lamelles de PRFC Sika CarboShear L a clairement été démontrée par cet essai de chargement. La contribution du renfort a permis de changer le mode de rupture établi par le dimensionnement en amenant le spécimen à céder en flexion. En transformant ainsi le mode de rupture, le spécimen devient plus ductile. Cette particularité permet d'observer des signes avant-coureurs avant la ruine de l'élément, contrairement à la rupture en cisaillement qui survient généralement sans qu'on puisse la prédire. La flèche de la poutre et les fissures de flexion sont des signes qui sont facilement observables avant la rupture. La ductilité des éléments est maintenant un critère incontournable faisant partie des normes à respecter lors d'une conception. Outre les difficultés d'ancrage et de confinement de l'élément renforcé lors du nettoyage, ce systèmes de renforcement présente le gain de résistance le plus important de tous les systèmes mis à l'essai. Les résultats démontrent qu'il serait avantageux d'utiliser cette méthode de renforcement en présence d'éléments de géométrie qui permettent son utilisation.

5.2.5 Spécimen S1-LS-PA

La figure 5.29 présente une image globale de poutre S1-LS-PA, on peut y observer la configuration ainsi que l'endroit où la fissure de cisaillement s'est produite.

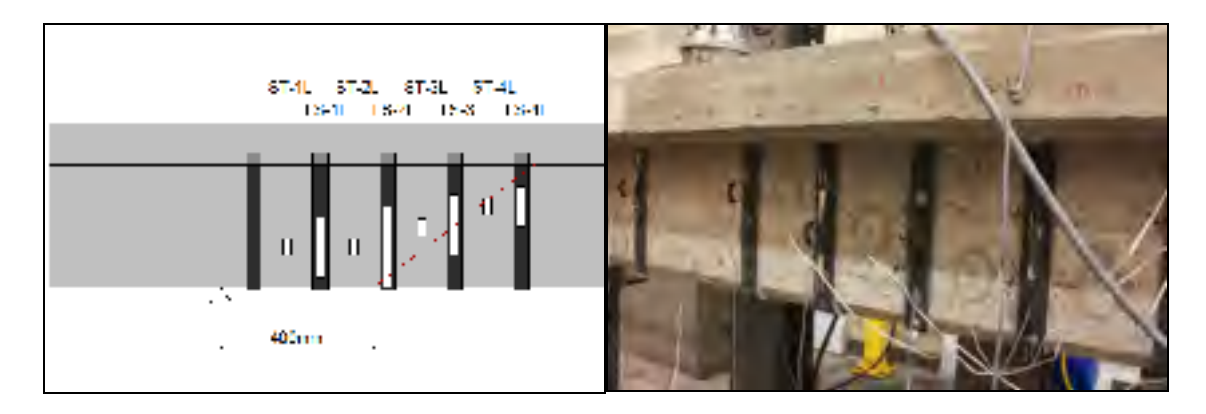


Figure 5.29 Observation du spécimen S1-LS-PA (fissure en rouge)

Charge atteinte:

La charge maximale atteinte lors de l'essai était de 600 kN, ce qui représente une augmentation de 39 % comparativement à la poutre de contrôle (432 kN). Le spécimen S1-LS-PA se retrouve au second rang, des spécimens à l'essai, au niveau de son efficacité. Comme pour le spécimen S1-LS-TA, la force cesse de progresser linéairement suite à la plastification de l'acier longitudinal (figure 5.30). Ce sont les deux seuls spécimens où l'on observe une plastification de l'acier longitudinal avant celle de l'acier transversal. La contribution efficace du renfort L-Shape en PRFC permet de soulager les étriers des contraintes induites par l'effort tranchant en redistribuant une partie de ces efforts vers les renforts de PRFC. Ainsi, la charge obtenue lorsque les étriers se plastifient est clairement sous une charge plus élevée (570 kN) que le spécimen de contrôle et la plupart des autres poutres à l'essai. Le gain de résistance obtenu pour ce spécimen est de 0.35 % par mm² de PRFC

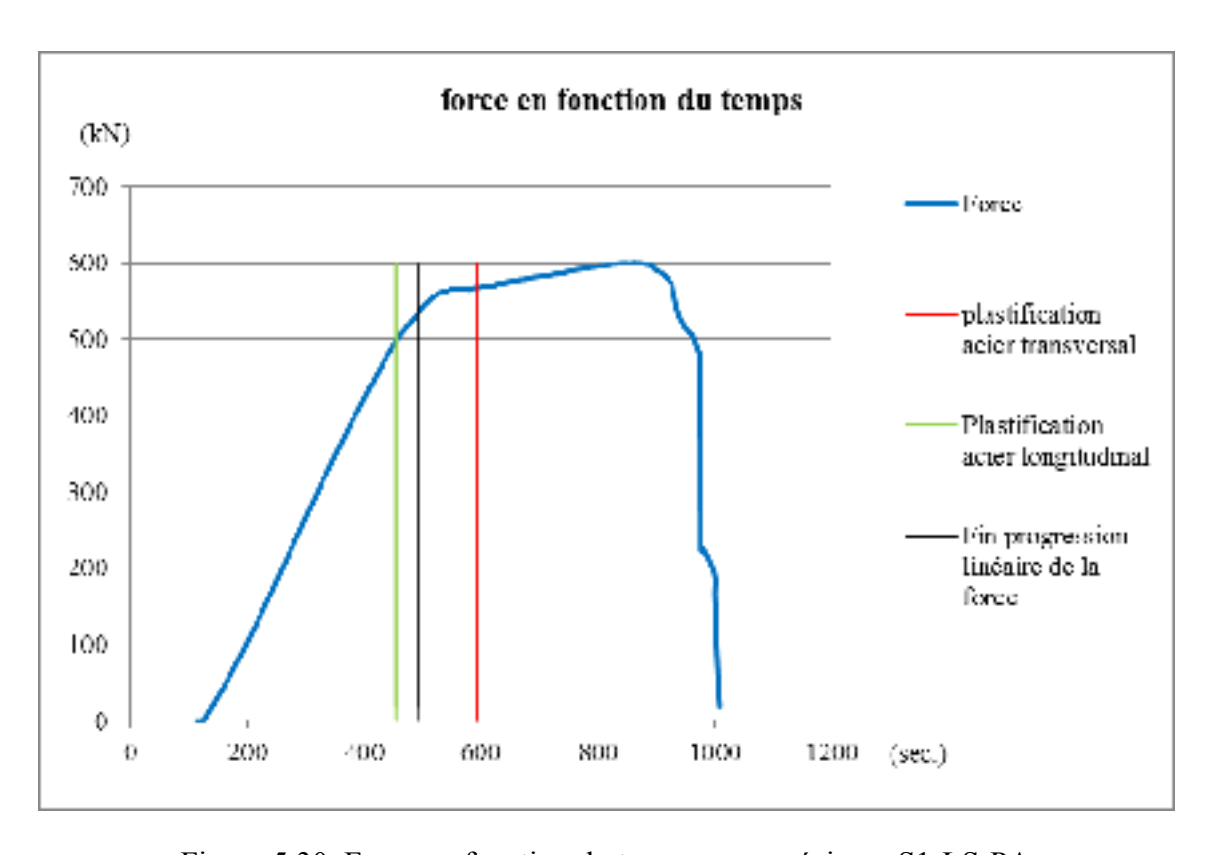


Figure 5.30 Force en fonction du temps pour spécimen S1-LS-PA

Déformations:

Les jauges de déformation placées sur les armatures et les lamelles de renfort nous permettent d'analyser la contribution de chacun des éléments sous charge. Pour le spécimen S1-LS-PA, les données du côté de la rupture sont analysées pour traduire les réactions lors de l'essai. Une déformation unitaire maximale de l'acier transversal de 16110 µe a été atteinte en ST-2L après l'atteinte de la force maximale. Au-delà de cette force, on observe que les déformations des barres transversales s'amplifient jusqu'à la rupture du spécimen, particulièrement en ST-3L et ST-4L (figure 5.31). Contrairement aux autres poutres à l'essai, à l'exception de S1-LS-TA, les déformations les plus importantes de l'acier se trouvent plus éloignées de l'appui. Ce phénomène peut s'expliquer par l'arrêt de la contribution du renfort en LS-3L et LS-4L (figure 5.32). En analysant les déformations des renforts les plus près du centre de la poutre, on voit que lorsque la poutre fléchit, le renfort se décolle de l'âme par arrachement du béton en surface. Cet aspect peut être observé sur le graphique de la figure 5.32, par une

diminution des déformations puisque les jauges à déformation se compriment lorsque le renfort bombe au niveau de l'âme. En examinant le comportement du renfort LS-3L, on remarque qu'au moment où il commence à se comprimer, la déformation unitaire dans l'acier ST-3L augmente. Ce phénomène démontre clairement l'interaction entre le renfort et l'acier d'armature transversale. Les renforts LS-1L et LS-2L ont cependant contribué jusqu'à la rupture du spécimen. L'armature longitudinale, quant à elle, s'est plastifiée avant l'acier transversal pour finalement atteindre une déformation unitaire de 9272 µe bien avant d'atteindre la force maximale enregistrée (figure 5.33).

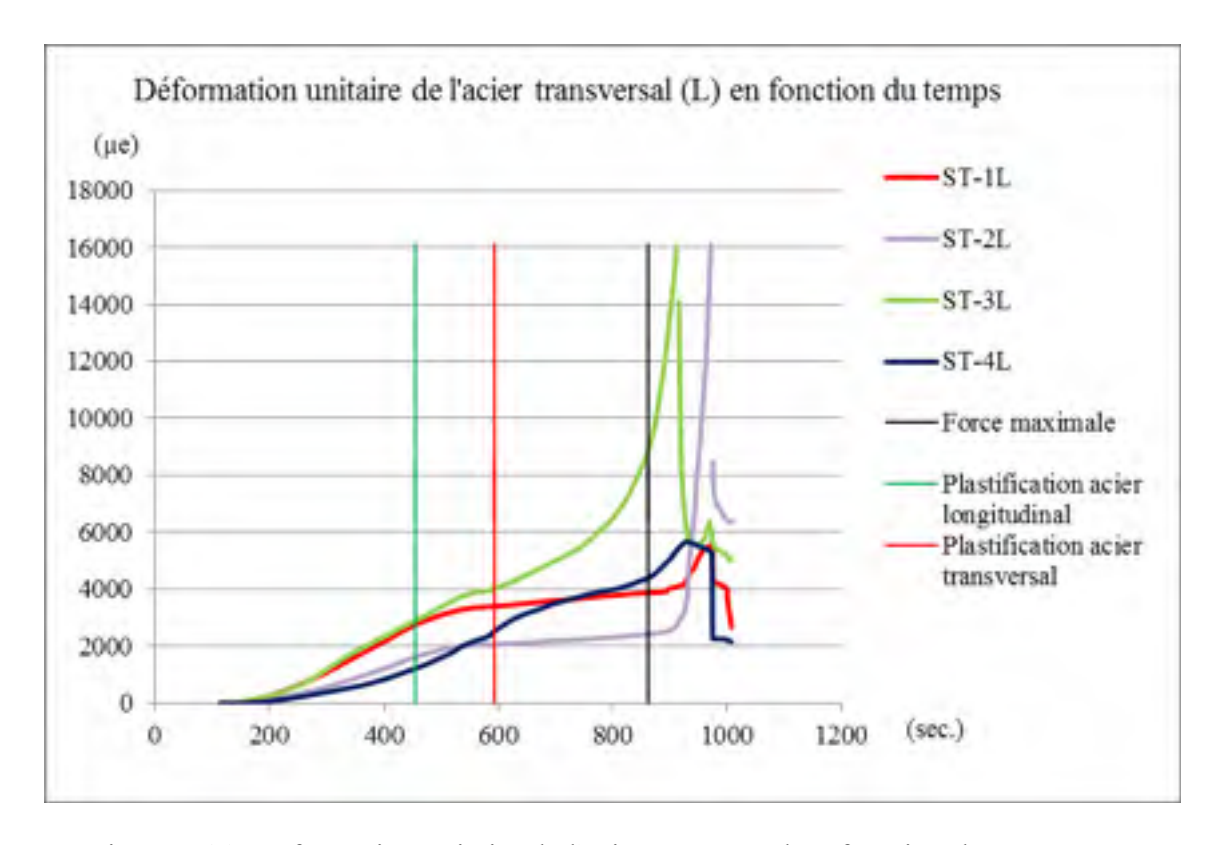


Figure 5.31 Déformation unitaire de l'acier transversal en fonction du temps pour spécimen S1-LS-PA

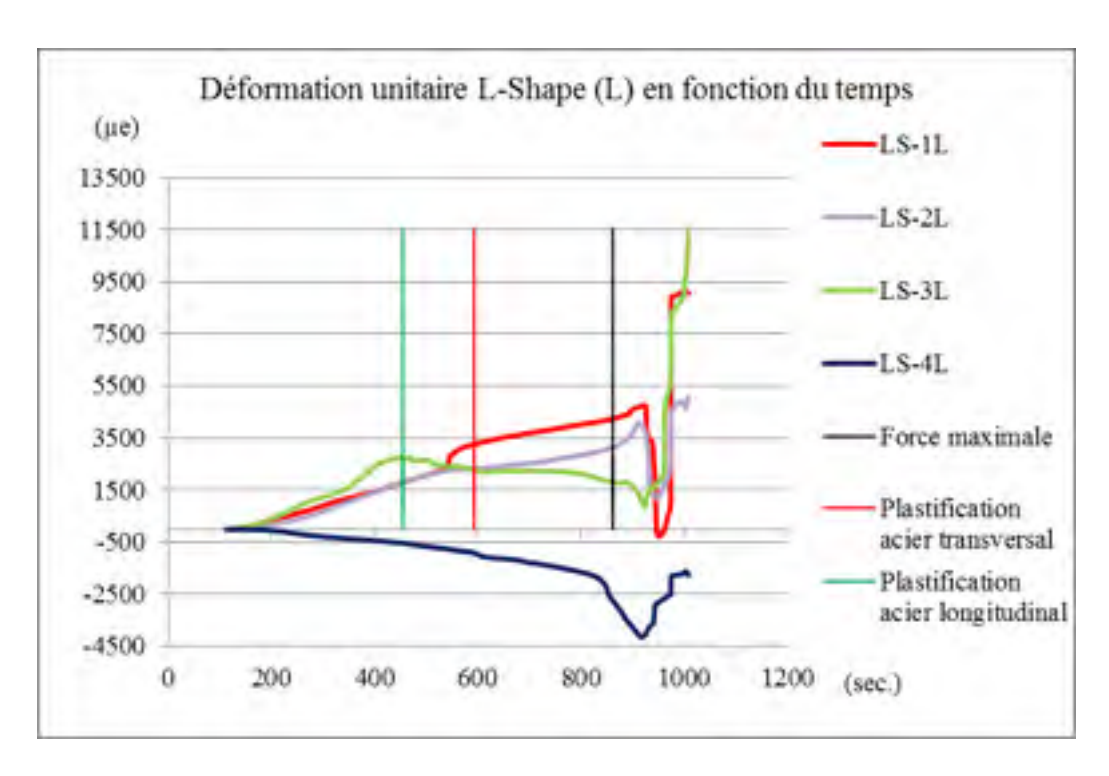


Figure 5.32 Déformation unitaire L-Shape (L) en fonction du temps pour spécimen S1-LS-PA

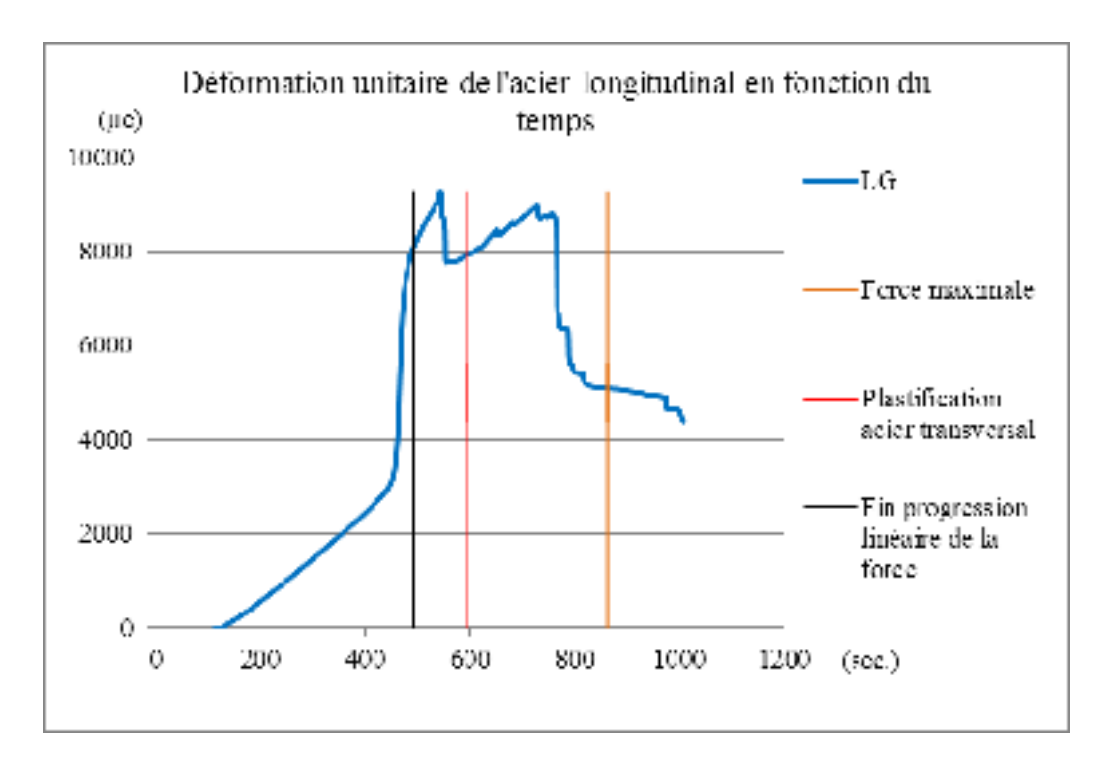


Figure 5.33 Déformation unitaire de l'acier longitudinal en fonction du temps pour spécimen S1-LS-PA

Mode de rupture :

La fin du chargement s'est résumée par une rupture en cisaillement du côté gauche du spécimen (figure 5.34). Cependant, la fissure s'est développée à une distance de 400 mm de l'appui, ce qui est particulier puisque les contraintes de cisaillement sont toujours plus importantes à proximité des appuis pour ce type de chargement (deux appuis et une charge au centre). Bien que la fissure soit développée à une distance des appuis supérieure aux autres spécimens, l'angle de la fissure est de 35,8 degrés, ce qui s'apparente tout de même à une fissure de cisaillement. On peut aussi remarquer que la rupture n'a pas eu lieu dans une des fissures de préchargement, marquées d'un trait rouge sur le spécimen. Outre la fissure de cisaillement, on voit que les lamelles de PRFC, au droit de la fissure, ont cédé par arrachement du béton dans la semelle supérieure de la poutre. Ceci vient confirmer les recommandations du fournisseur à ancrer d'au moins 100 mm les lamelles de PRFC dans l'élément afin d'éviter l'arrachement du béton aux points d'ancrage.

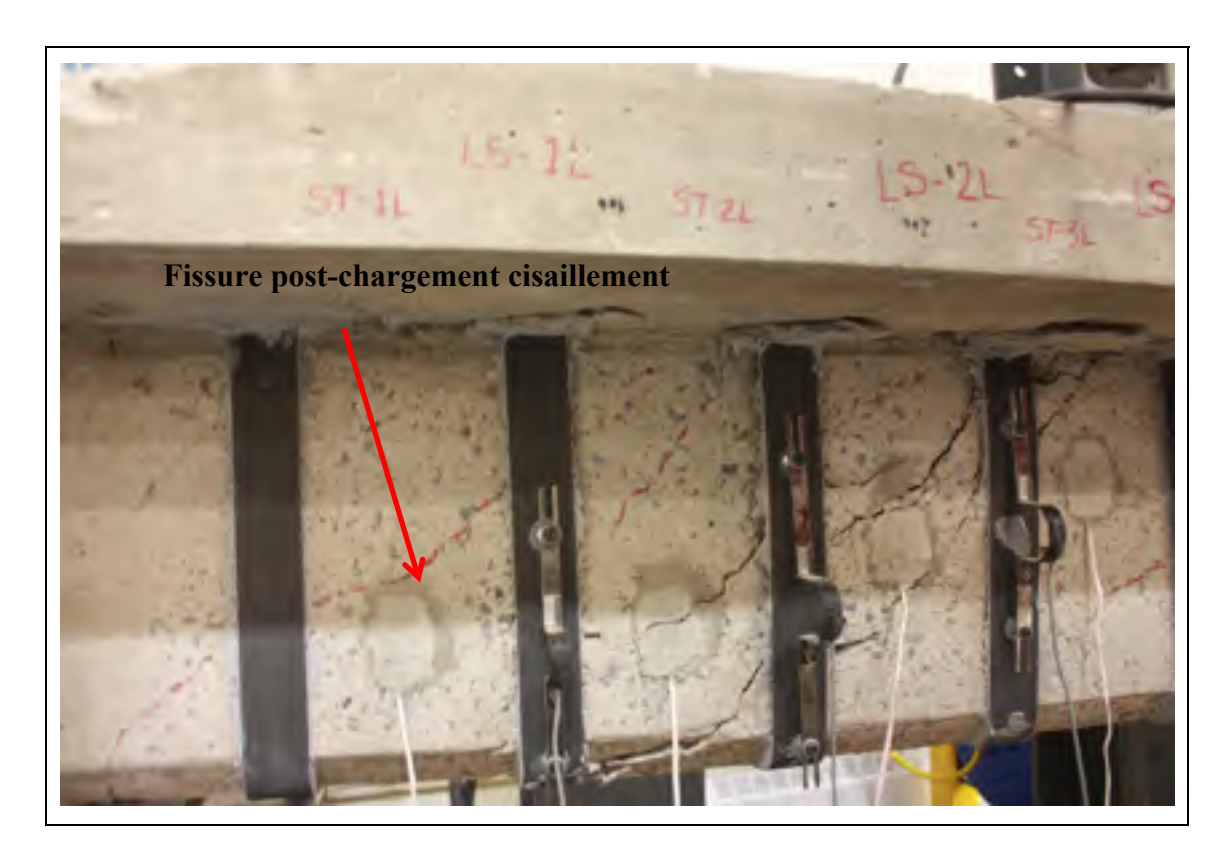


Figure 5.34 Mode de rupture du spécimen S1-LS-PA

Maniabilité / mise en œuvre du système :

Ce spécimen comporte tous les mêmes avantages et inconvénients que les autres spécimens renforcés à l'aide des lamelles CarboShear L : zone de préparation limitée à la largeur des lamelles, possibilité du suivi des fissures existantes et suivi du comportement global de la poutre. Cependant puisque les ancrages sous la dalle sont limités à 25 mm de profondeur, cet aspect permet d'éviter d'intercepter l'armature des dalles généralement placée à 35 mm de recouvrement. Cet avantage supplémentaire augmente considérablement la rapidité d'installation ainsi que les limitations d'espacement du système de renfort. En limitant la profondeur d'ancrage, on évite ainsi les possibilités d'abîmer ou d'intercepter l'armature de la dalle. Bien que le fournisseur prescrive un encastrement minimum de 100 mm, cette configuration avec une profondeur d'ancrage réduite a quand même été mise à l'essai en raison de cette particularité. Ce mode de renforcement comporte tout de même les inconvénients d'un nettoyage au jet abrasif, de confinement de l'élément lors de la préparation et de limitation des types de poutres pouvant être renforcées à l'aide de ce système.

Résumé sommaire-spécimen S1-LS-PA:

Le spécimen S1-LS-PA a montré un gain de résistance élevé avant rupture. Même si les recommandations d'encastrement du fournisseur n'ont pas été respectées, un encastrement de 25 mm des lamelles de PRFC Sika CarboShear L a permis d'obtenir une augmentation de résistance en cisaillement de 39 %. Cependant, les éléments de renfort à proximité de la zone en flexion de la poutre n'ont pas réussi à contribuer jusqu'à la résistance optimale obtenue. Un arrachement du béton en surface entre l'âme et le renfort est survenu assez tôt lors du chargement, ce qui a aussitôt fait réagir davantage les étriers ST-3L et ST-4L. Puisque les renforts en LS-1L et LS-2L ont continué de contribuer, la rupture s'est déplacée vers le centre de la poutre se trouvant fragilisée par l'absence de contribution du PRFC dans cette zone. L'effort tranchant étant plus faible en s'approchant du centre de la poutre a donc permis d'augmenter la charge sous laquelle on obtient la rupture du spécimen. Cette méthode de renforcement, bien qu'elle ne respecte pas les recommandations de mise en œuvre du fournisseur,

présente des résultats qui justifieraient son utilisation lors de situation problématique particulière. Par exemple, lorsqu'un élément présente un espacement d'armature irrégulier au niveau de la dalle, limitant ainsi la possibilité d'intercepter l'armature lors du percement pour l'encastrement.

5.2.6 Spécimen S1-LS-BA

La figure 5.35 présente une image globale de poutre S1-LS-BA, on peut y observer la configuration ainsi que l'endroit où la fissure de cisaillement s'est produite.

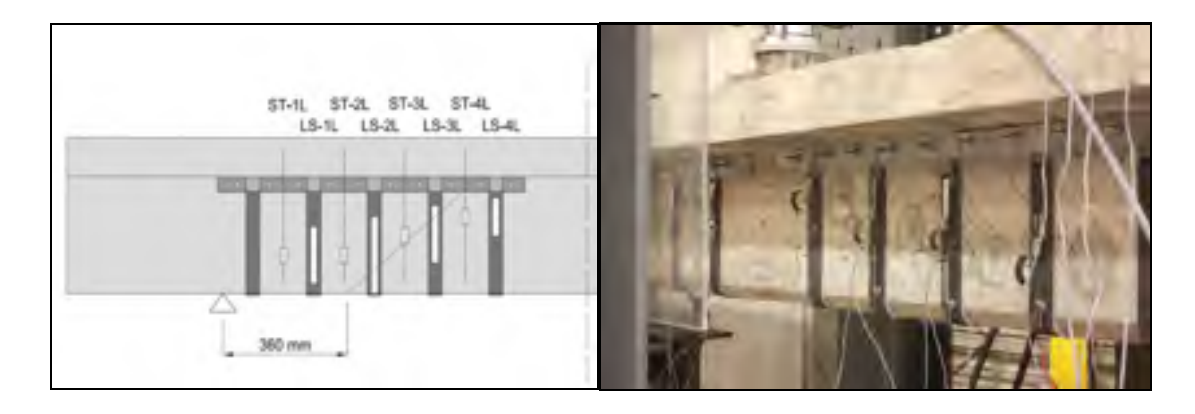


Figure 5.35 Observation du spécimen S1-LS-BA (fissure en rouge)

Charge atteinte:

Le spécimen S1-LS-BA est celui qui a atteint la force la moins élevée parmi toutes les poutres renforcées, malgré l'installation d'une plaque d'acier en surface pour limiter l'arrachement prématuré des lamelles de renfort et du béton en surface. L'augmentation de la charge maximale enregistrée de 18 % par rapport à la poutre de contrôle se retrouve sous celle du spécimen S1-LS-NA de 28 %, n'utilisant aucun système pour empêcher le décollement du renfort. La charge atteinte de 510 kN représente un gain de 0,16 % par mm² de PRFC, de loin le moins efficace de tous les spécimens mis à l'essai. Le graphique de la figure 5.36 présente l'augmentation de la force lors du chargement jusqu'à la rupture du spécimen. On remarque qu'une fois la fin de la progression linéaire de la force atteinte, aucun plateau n'est observé sur le graphique, traduisant ainsi

l'absence de ductilité de ce spécimen. Ce phénomène peut s'expliquer par la fin de la contribution du renfort en LS-1L et LS-2L qui s'observe pratiquement au même moment que la plastification de l'acier. Notons aussi que la barre d'armature ST-3L s'est fracturée au même moment où l'acier longitudinal atteint la phase plastique.

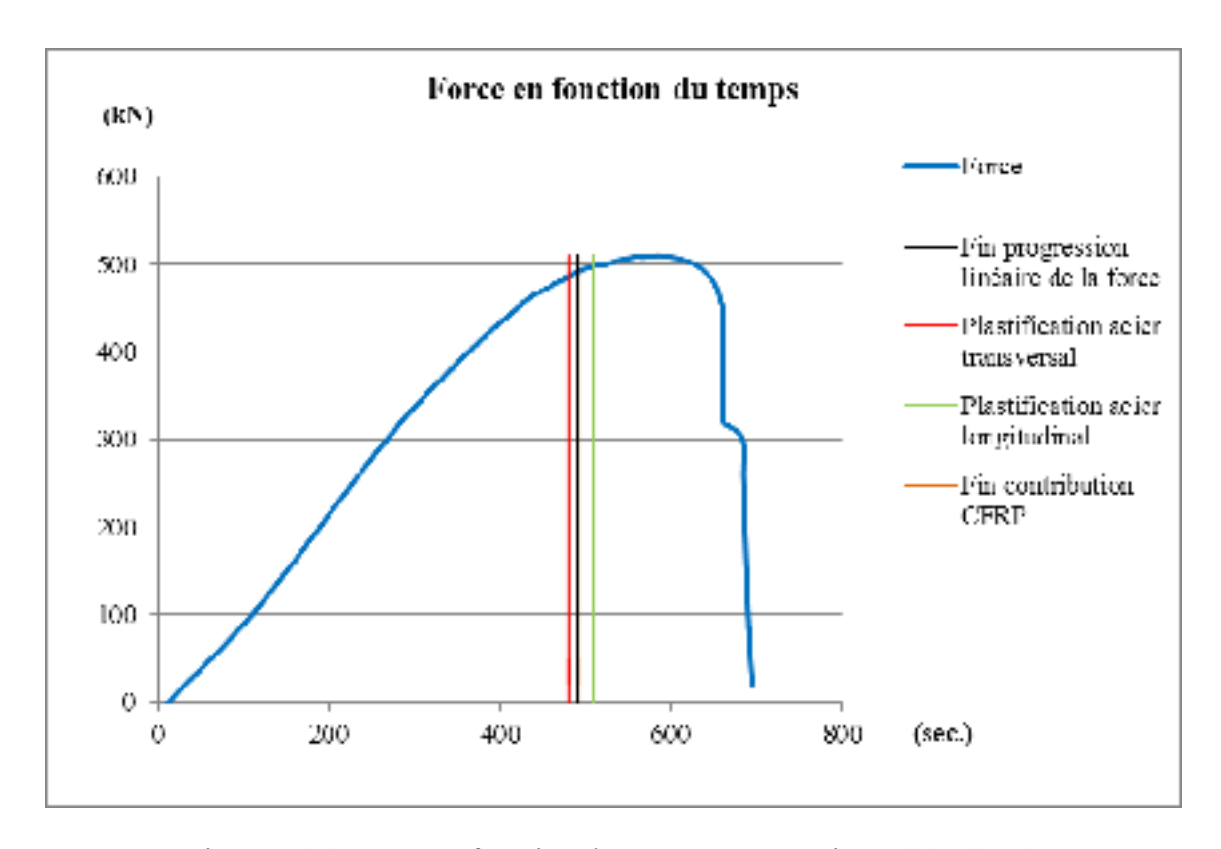


Figure 5.36 Force en fonction du temps pour spécimen S1-LS-BA

Déformations:

Afin d'étudier le spécimen S1-LS-BA, les déformations relevées par les jauges de déformation placées sur les armatures internes et sur le renfort externe du côté de la rupture seront analysées afin de décrire le comportement de cette méthode de renforcement. En observant les déformations unitaires de l'armature transversale (figure 5.37), on voit que ce ne sont pas toutes les barres qui ont contribué jusqu'à l'atteinte de la force maximale. La barre ST-3L s'est rompue bien avant la fin du chargement, ce qui a aussitôt causé une augmentation des contraintes vers les autres barres d'acier. Plus particulièrement sur l'étrier ST-4L qui est celui dont la déformation unitaire a connu

l'augmentation la plus significative suite à la rupture de ST-3L, soit jusqu'à 10379 μe, bien au-dessus de la limite élastique de 3450 μe. Comme pour les autres spécimens renforcés avec les Sika L-Shape, la contribution du renfort a aussi cessé en premier dans la zone située près du centre de la poutre en LS-4L (figure 5.38). Notons que les premiers signes de décollement du renfort ont eu lieu en LS-4L, suivi respectivement de LS-1L et LS-2L. Le renfort LS-3L est le seul ayant contribué jusqu'à l'atteinte de la force maximale. On remarque ce fait par la décroissance des déformations sur les autres renforts. Cette diminution est visible par la compression des jauges due au bombement du renfort en surface. La déformation unitaire du renfort en LS-3L n'a toutefois pas dépassé 2515 μe. Cette valeur est loin de la limite de 13000 μe prescrite par le fournisseur. L'armature longitudinale a quant à elle contribué jusqu'à la rupture de l'élément. Cependant, la déformation enregistrée a légèrement excédé la limite élastique de 3250 μe pour atteindre 3405 μe. Ceci indique que la charge exercée sur le spécimen était clairement dirigée vers la déficience en cisaillement du spécimen une fois la barre ST-3L rompue.

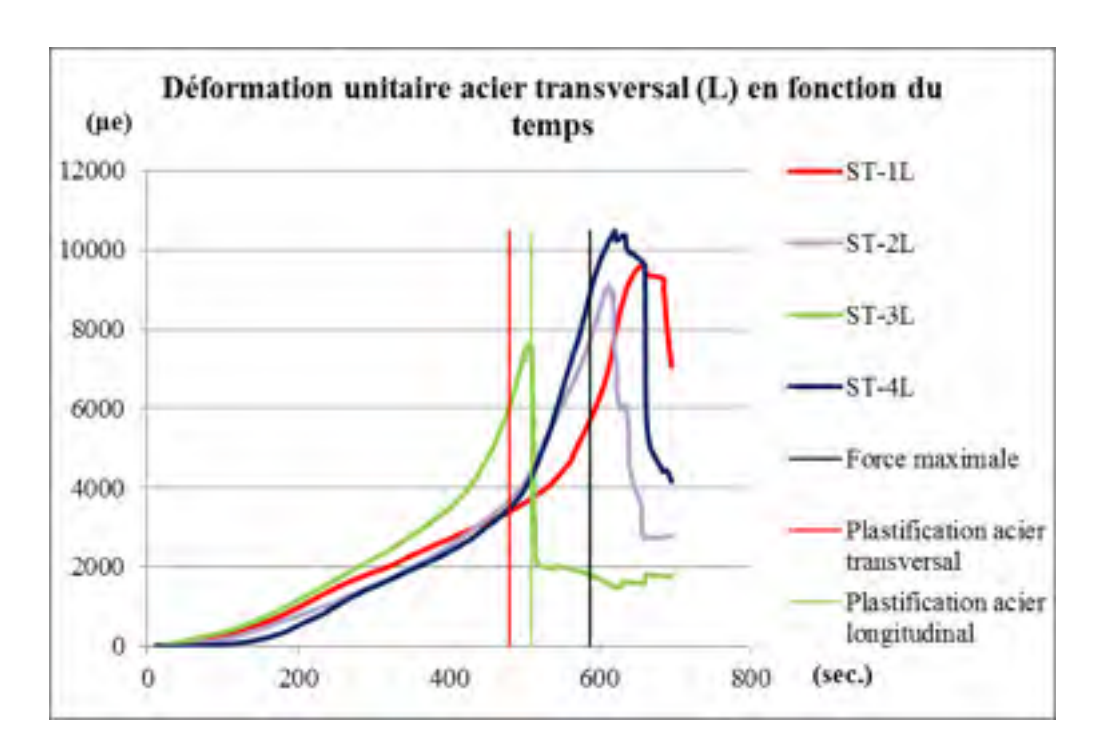


Figure 5.37 Déformation unitaire de l'acier transversal en fonction du temps pour spécimen S1-LS-BA

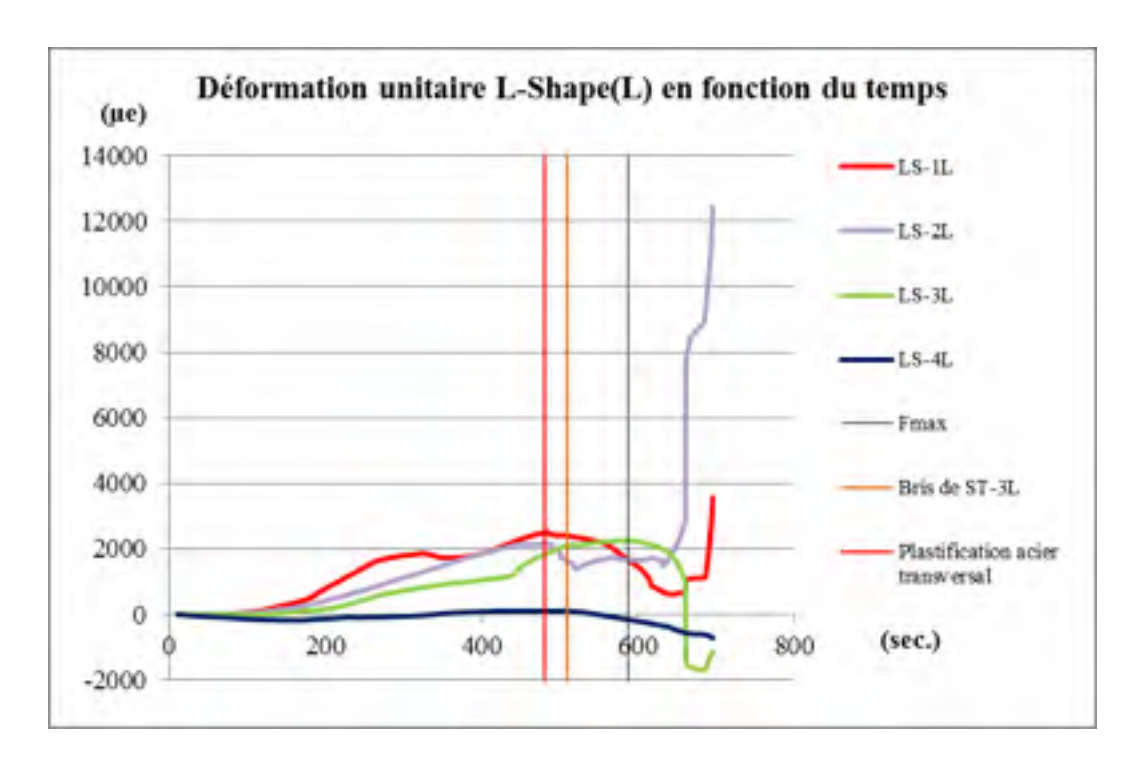


Figure 5.38 Déformation unitaire L-Shape (L) en fonction du temps pour spécimen S1-LS-BA

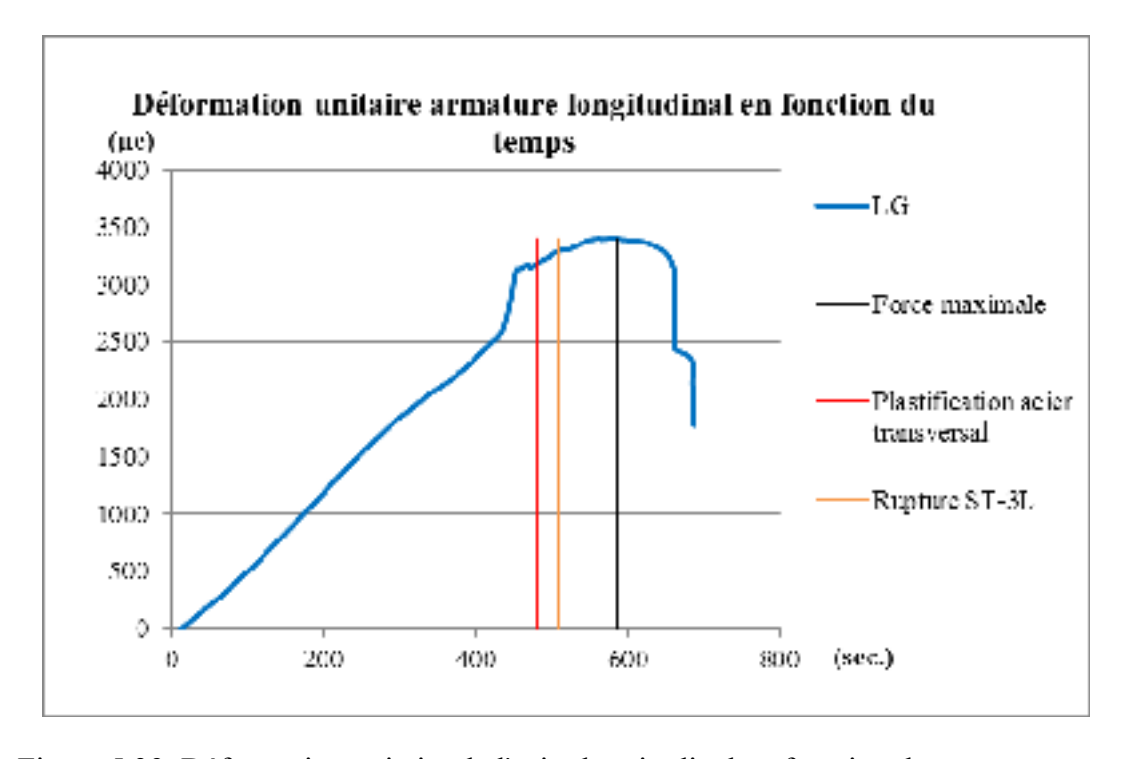


Figure 5.39 Déformation unitaire de l'acier longitudinal en fonction du temps pour spécimen S1-LS-BA

Mode de rupture :

La fin du chargement s'est résumée par une rupture en cisaillement du côté gauche du spécimen (figure 5.40). Comme toutes les poutres renforcées avec les lamelles en L (L-Shape), la rupture s'est produite à une distance de l'appui supérieure aux poutres utilisant les barres ETS et le tissu de PRFC, soit à une distance de 360 mm de l'appui avec un angle de 38,5 degrés. La barre d'acier placée au haut de l'âme servant à empêcher le décollement n'a pas permis d'atteindre un rendement supérieur au spécimen S1-LS-NA, conçu sans aucun dispositif d'ancrage. Après le décollement du béton en surface sous les lamelles, un glissement du renfort sous la barre d'ancrage a été observé avant la rupture (figure 5.41). Cette figure montre aussi que la rupture a eu lieu dans une fissure existante causée lors des essais de préchargement, interceptant la barre ST-3L qui s'est rompue avant l'atteinte de la force maximale enregistrée (figure 5.42).

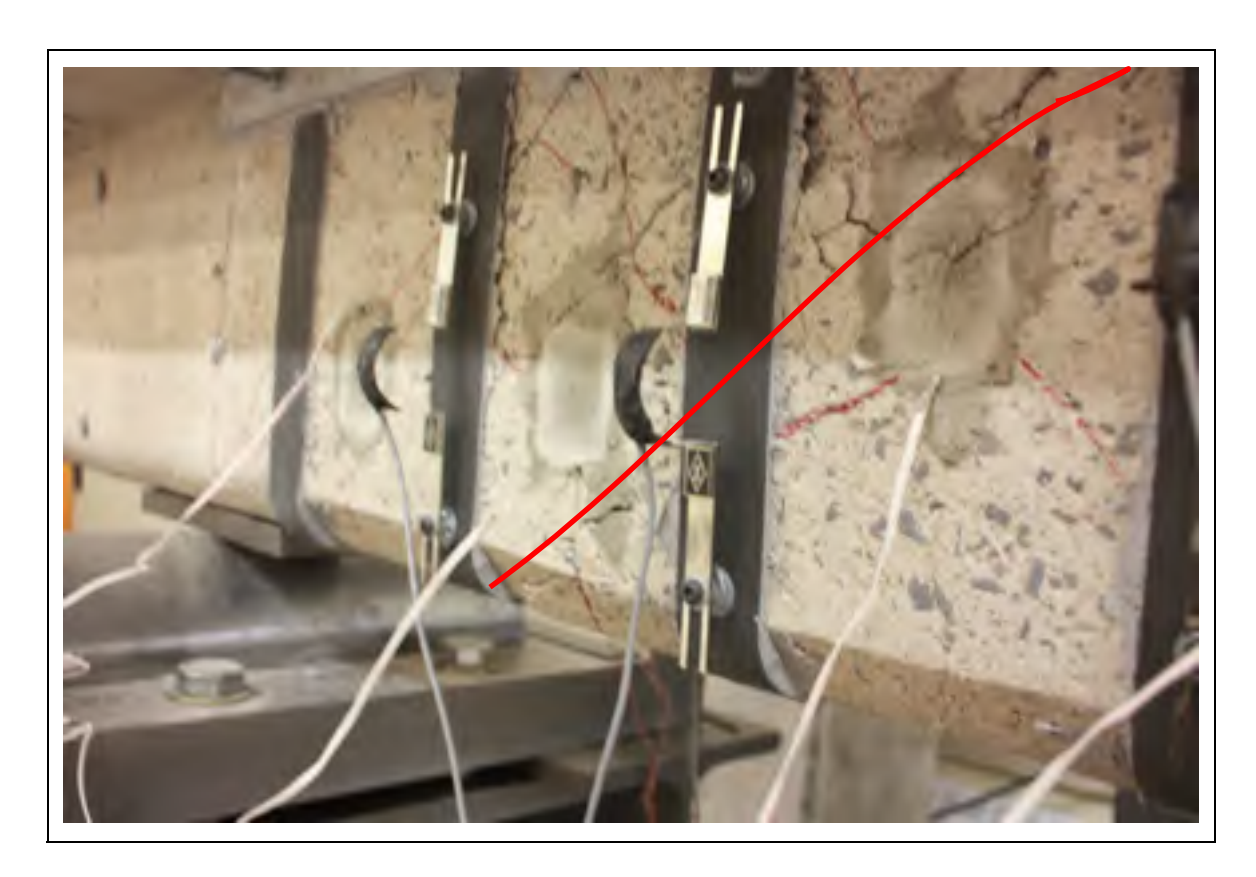


Figure 5.40 Mode de rupture du spécimen S1-LS-BA

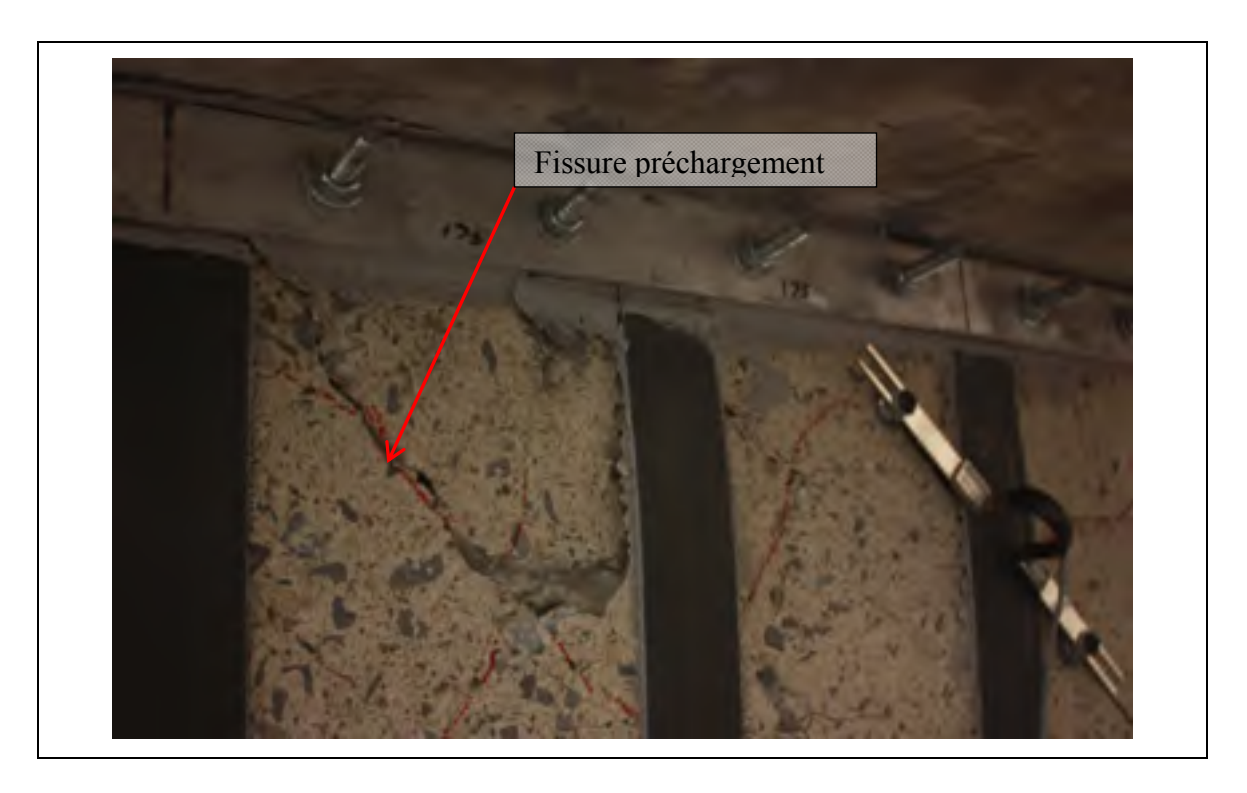


Figure 5.41 Décollement et glissement du renfort pour spécimen S1-LS-BA



Figure 5.42 Rupture de l'étrier ST-3L pour spécimen S1-LS-BA

Maniabilité / mise en œuvre du système :

Comparativement aux autres spécimens utilisant les lamelles Sika CarboShear L, le spécimen S1-LS-BA comporte certaines étapes supplémentaires quant à sa préparation. Puisqu'une plaque d'acier est installée sur la partie supérieure des lamelles à la jonction de l'âme et de la semelle supérieure, un temps de préparation est nécessaire à la coupe et au percement de cette plaque. Cette plaque devra ensuite être ancrée à l'âme de la poutre à l'aide de tiges filetées à laquelle on devra réaliser un percement afin d'y introduire les tiges en utilisant un produit d'ancrage qui demandera un temps de cure avant l'installation de la plaque. Tout comme les spécimens avec les lamelles en L (L-Shape), la possibilité d'intercepter l'acier d'armature lors du percement pourrait rendre sa réalisation plus délicate. De plus, son utilisation est aussi limitée aux éléments de forme rectangulaire comme les dalles nervurées et poutres rectangulaires ou en T. Notons que ce système de renforcement est le plus complexe parmi ceux renforcés à l'aide des lamelles Sika CarboShear L.

Résumé sommaire-spécimen S1-LS-BA:

Les résultats obtenus lors de l'essai sur le spécimen S1-LS-BA montrent clairement que cette méthode de renforcement n'est pas celle à privilégier. L'augmentation de résistance de 18 % est la plus faible de toutes les méthodes mises à l'essai. Cependant, le spécimen S1-LS-BA est le seul qui a connu une rupture prématurée d'un étrier. Tous les autres spécimens ont connu une contribution de toutes les barres d'armature transversale jusqu'à l'obtention de la force maximale enregistrée. On peut se questionner sur l'état de la barre ST-3L suite au test réalisé lors de l'essai de préchargement. Notons que cette barre transversale se retrouvait dans un plan de fissuration visible avant nos essais. Il est tout de même important de spécifier que la poutre a tout de même résisté jusqu'à l'atteinte d'une charge supérieure suite à la rupture de la barre ST-3L. Tel que décrit précédemment, la fissure s'est développée à une distance plus éloignée de l'appui comme les autres spécimens renforcés avec les lamelles Sika L-Shape. On peut croire que cette observation est liée à la faible contribution du renfort lorsqu'il est placé près de

l'effort de flexion maximum, démontrant ainsi une résistance inférieure au renforcement situé à proximité des appuis.

CONCLUSION ET RECOMMANDATIONS

Les résultats obtenus suite au programme expérimental et les théories développées dans le cadre de cette étude permettent de répondre aux objectifs fixés dans cette étude qui étaient de comparer les différentes méthodes de renforcement en cisaillement de poutres en béton armé à l'aide de PRF et de comparer la faisabilité de mise en place de ces différents systèmes. En effet, les données théoriques et expérimentales amenées par les différentes recherches au cours des dernières années ainsi que les résultats obtenus lors de nos essais permettent de conclure que certaines méthodes de renforcement sont plus efficaces et qu'il y a certainement des systèmes qui conviennent mieux selon différentes particularités dimensionnelles et contraintes physiques.

Le volet théorique à travers les observations faites sur le comportement des poutres de béton armé renforcées en cisaillement à l'aide de PRF et les différents modèles de calculs ont permis de mieux cibler les paramètres d'influences lors de l'établissement du programme expérimental et de déterminer la résistance initiale théorique des spécimens avant renfort selon le modèle proposé par la norme CAN/CSA A23.3-F04.

À travers les études sur le renforcement des poutres en BA à l'aide de PRF qui ont été analysées dans la revue de la littérature, les différents systèmes utilisés pour le renforcement en cisaillement nous ont guidé dans le choix des systèmes étudiés dans le cadre de ce mémoire. De plus, le problème récurrent de décollement attribué à la longueur d'ancrage du renfort de PRF nous a amené à vérifier son influence au sein d'un groupe de spécimens utilisant le même type de système en faisant varier la profondeur d'ancrage des lamelles Sika CarboShear L.

Ainsi, le choix des systèmes de renforts étudiés et le nombre de spécimens choisi pour cette étude ont conduit à un ensemble de sept spécimens comme suit :

- une poutre de contrôle préfissurée (S1-CON) servant de mesure comparative avec les autres poutres renforcées;
- une poutre renforcée à l'aide de tissu de PRFC collé en continu sur l'âme de la poutre (S1-EB);
- une poutre renforcée à l'aide de tiges de PRFC insérées à travers l'âme de la poutre (S1-ETS);
- quatre poutres renforcées à l'aide de lamelles Sika CarboShear L collées sur l'âme des poutres à espacement régulier de 175 mm, comportant des profondeurs d'ancrage dans la semelle supérieure variées de 0 mm, 25 mm, 100 mm et 0 mm munies d'une plaque d'ancrage sur les côtés à l'extrémité des lamelles de la partie verticale (S1-LS-NA, S1-LS-PA, S1-LS-TA, S1-LS-BA).

Sur la base des résultats expérimentaux obtenus dans cette étude, on peut conclure que certains systèmes offrent de meilleures performances en terme de gain de résistance et que d'autres, sans être de loin moins performant, peuvent offrir d'autres avantages de facilité de mise en place et de durabilité à long terme. Plus spécifiquement, les conclusions suivantes peuvent être énoncées :

tous les spécimens ont cédé en cisaillement à l'exception du spécimen S1-LS-TA qui a rompu en flexion avec un comportement qu'on pourrait qualifier de ductile. Il s'agit d'un net avantage si on considère que ce type de comportement est priorisé aujourd'hui lors des nouvelles conceptions de structures. Ce spécimen est aussi celui qui a offert le gain de résistance en cisaillement le plus élevé par rapport à la poutre de contrôle, soit une augmentation de 55 %. De plus, en comparant les gains de résistance par mm² de PRFC, ce spécimen est de loin celui qui offre le meilleur rendement. On peut grossièrement estimer que ce système procure 0,49 % d'augmentation de résistance pour chaque mm² de PRFC par espacement de 175 mm. Il est important de noter que ce spécimen rencontrait les exigences minimales d'ancrage de 100 mm recommandées par le fournisseur;

- le spécimen S1-LS-PA conçu avec une profondeur d'ancrage de 25 mm, nettement sous les recommandations du fournisseur, pour empêcher d'intercepter les barres d'armature de la dalle existante lors du perçage, a démontré des résultats très satisfaisants malgré la dérogation de profondeur recommandée. Ce spécimen est celui qui se loge au deuxième rang dans le gain de résistance en offrant une augmentation de 39 % par rapport à la poutre de contrôle. Ce résultat prouve que dans des conditions où la localisation des barres d'armature d'une dalle serait difficile à trouver, l'utilisation de ces lamelles ancrées de seulement 25 mm offrirait un résultat dépassant les gains de résistance en cisaillement offert par les autres systèmes mis à l'essai. La contribution du renfort s'est terminée par une rupture par arrachement du béton autour de la partie ancrée des lamelles. En revanche, les deux spécimens utilisant les lamelles sans profondeur d'ancrage sont ceux qui ont le moins contribué en termes de gain de résistance. Ceci prouve qu'une profondeur minimale d'ancrage serait à respecter pour le système utilisant les lamelles Sika CarboShear L;
- le spécimen S1-ETS-9 mm muni de tiges de PRFC n'est pas de ceux qui ont donné un gain de résistance parmi les plus élevés. Par contre, si on analyse le gain selon le taux de renfort par espacement de 175 mm, celui-ci offre un gain de 0,31 % par mm² de renfort. Ce résultat se situe au troisième rang parmi les spécimens à l'étude. On peut donc en déduire que si on avait utilisé des tiges ayant une section plus grande, un gain de résistance en cisaillement global aurait sûrement été enregistré;
- en ce qui a trait à la facilité de mise en place, le système de tissu collé en surface est de loin celui qui nécessite le plus de travail. Tout comme les autres systèmes, à l'exception du système ETS, c'est la préparation de surface au jet abrasif qui rend difficile et contraignante son utilisation. En chantier, cette étape requiert l'installation d'enceintes de confinement et des précautions de sécurité en raison des résidus de béton devenus volatiles suite au décapage par abrasion. Ces particules peuvent causer des problèmes de silicose, une maladie qualifiée d'extrêmement dangereuse par la CSST, un enjeu devenu important dans le milieu de la construction. D'autre part, la méthode de renforcement ETS est de loin celle qui nécessite le moins de travail. Il suffit simplement de forer un trou, le nettoyer, le remplir d'une résine époxy et d'y insérer une tige. La seule difficulté

de ce système est rencontrée lorsqu'un nombre important d'armatures se trouve concentré à l'endroit où le forage est requis. Dans un tel cas, il serait difficile de vendre l'idée d'utiliser ce système s'il y a risque de sectionner des barres d'armature longitudinale ou des torons lors du percement qui réduirait la résistance en flexion de l'élément renforcé.

Enfin, le choix du système de renforcement utilisé peut être influencé par certains critères pouvant favoriser l'un des trois systèmes mis à l'étude : (i) l'importance du gain de résistance à obtenir, (ii) l'exposition aux agresseurs physiques, (iii) la concentration importante d'acier longitudinal, (iv) la forme de l'élément renforcé et ses dimensions, (v) le suivi des fissures existantes, (vi) la localisation connue ou non des armatures de dalle et (vii) la difficulté de mise en place d'enceintes de confinement. Puisque les différentes méthodes de renforcement ont toutes montré qu'elles étaient capables, à différents niveaux, d'augmenter la résistance en cisaillement des poutres de béton armé préfissurées, le choix du système de renforcement recommandé repose sur les différentes contraintes de mise en place ou de conception. Pour faciliter le choix des systèmes à utiliser, le tableau C-1 propose aux concepteurs un guide d'aide à la décision pour le choix du système de renforcement en fonction des paramètres prédominants.

Particularité des différents systèmes

Spécimen	Gain de résistance par mm² de renfort/S (%)	Exposé aux agressions physiques	Restreint par le taux d'armature longitudinale	Contrainte de forme ou dimension	Empêche le suivi des fissures	Localisation de l'armature de dalle nécessaire	Nécessite une enceinte de confinement en chantier
S1-EB	0,27	X			X		X
S1-ETS 9mm	0,31		X				
S1-LS-NA	0,25	X		X			X
S1-LS-TA	0,49	X		X		X	X
S1-LS-PA	0,35	X		X			X
S1-LS-BA	0,16	X		X	· · · · · · · · · · · · · · · · · · ·		X

x = applicable

Les différents gestionnaires des parcs de structures auraient grandement avantage à considérer l'utilisation de la technique de renforcement à l'aide de PRF aux structures déficientes en cisaillement. Les nombreuses études depuis les 23 dernières années ont prouvé que plusieurs systèmes de renforcement en cisaillement pouvaient améliorer le comportement des poutres en béton armé comportant des fissures ou dommages en cisaillement et offrir une résistance souvent supérieure à celle offerte à l'origine. Compte tenu des restrictions budgétaires, il faudrait se pencher sur les avantages économiques que pourrait procurer l'utilisation de ces systèmes de renforcement en tenant compte du prolongement de la durée de vie de certaines structures et du retrait de certains affichages de restrictions de charge sur un nombre important de ponts et donc la réduction des coûts associés à des reconstructions prématurées.

ANNEXE I

FICHE TECHNIQUE - SikaWrap Hex 230C



	ì	,	
	Ġ		
	ě		

Proprietes du trasument et reprégné avec l'épocy Sikaduri 336 No une ours alandard entre 21 et 24 °C (70 et 70 °F)/5 jours

		Valeur mayment*		Videor de conceptions'		Mithode Penns	
	Progriétés	MFs	(lb/pa/i	Mile	(Robol)	ASTN	
	Ringsiessa en traction	BM	(1.30 × 101)	216	CONTRACTOR	coole	
	Module in traction	85 402	(8.48 x 101)	81.012	(B.86 x 105)	03089	
	Morphoret & Rosiner N	1.53	(1.32)	1.09	(1,00)	20/358	
	80 °C (140 °F) - Récrezarse en Inscilion	814	71.18 x 101	703	(1.82 x 10)	23059	
	All C(140 F) - Michiga de Section	87 460	(9.78 x 10%)	59 986	(8.88×10)	22056	
	80 C (140 T) - Altongement & Its rupture %	1.16	(3,18)	1,00	(1,00)	D3050	
	Méromencé à le portpressure	779	(5.45 × 105	208	1879 x 105	2886	
	Motivie dissolutió en pregnession	67 008	78.72 x 10 Y	88 SR7	18.25 x 105	5886	
	SD* - Rassigness on Station	27	(3917)	25	(3537)	53038	
	WC - Most in instinct	5879	(8.83 x 10%	6662	(7.89 × 105	D19350	
	90' - Allongenoent & Itt rupture %	2.46	(0.45)	0.40	(0.43)	D3089	
	Statement at Instituted						
	dans un plan A45.	85	(8181)	55	(9)(20)	20519	
	Module in coalinger than an plan \$45	2902	14.01 × 101	7900	14.08 x 105	23819	
	Épenner	3.381 mm	(0.516 piol		-		

29 declarations per same s'ensais, romes les mares variers part desnes sur une sère d'estais de 6 Achemitions.

Water mayone allow take disposit

Valeur Inspense Imstra 2 firs l'écard type.

Mode d'emploi Préparation de la surface

Déciser la furtice en la soblant ou par meutage (CSF 3.4). Entever toute la pouvoiere et les materiaux désagréges de la surface ever un aspirateur industriel. La surface doit étre proprie. exemple de granse: d'huile et séche. La teneur maximale c'humidié du subshal doil être + 4 % par

Le surface dat être nivelhe et ne présenter autuins espérite ni saille > 0,5 mm (20 mille. Il faut revole-fouts arregaisme superioure en se servoire de Staudur? 38, ouiguet est ajoute ou saille de situe séche au four prépart de 1,1 en fonction du volume).

Le rélutitance à la traction du substrat devent être renforcé poit être au troins de 1,5 MPs (215 loipo"). is les coins de la structure douvet être arronds à un reyon de 10 mm (5/8 pc)

Malaxage

Consulter la Fiche technique du produit Sikadur⁴ 530 pour de plus amples renseignements sur la résiné époxyde.

nar le resne épulyan.
Priemétanper d'habur des composants. Puis métanger lout l'essemble, et non en lots séparés.
Versier le composaint B dans le contenant du composant A. Métanger entièrement pendant.
3 minutes au moyen d'une perceuse électrique régiée à basse véesse (400 - 500 trênin) et mune d'une pare du malorage, jusqu'à ce que la couteur devenne uniforme. Verser le misin pe éposytre dans un contenant propre, puis reliairger à nouveau perdant enveron 7 minute à fairle wteste, afin d'emprisonner le moms d'air possitire.

Le vie en poi commence su moment du malarage des deux composants ils résine et le duncisseur. À basse température, la vie en poi set plus fongue, à température alevée, plus courte. Plus la quantité de matériais métangé est grande, plus la vie en pot est sourte.

Application

Tailler le tissa kelon la dimension Voulue-

Appliquer ensuite directement, sur le substrait pièquire, le metiungé de l'ésme éponyté Situdur? 330, en couvraint de 0.7 - 1.2 agrini (3.14 - 0.24 @/bp/), selon le profit de la surface, à l'aide d'une levelle ou d'un pincesu.

Outposer avec son in Space dans is résine, dans le sens requis, en promise au surface, à l'aide d'une finielle ou d'un processi.

Disposer avec son le Space dans le résine, dans le sens requis, en prenant aux de poner des gants, pus l'esser la surface. Eliminer l'ait emprisonné et les irrégulantes en si servent d'un molenne en passique pour l'anner. Permettre à la résine de papse les bissers des invente de l'aixe de passique pour l'anner. Permettre à la résine de papse les bissers des invente de l'aixe d'un 330 (c.5 la faire 1,10 lorpoi) dans les 60 minutes. à 20 °C (65 °F), suivent l'acquisotion de le couche précèdante. Si l'attents dépasse 60 minutes à 20 °C (65 °F), suivent l'acquisotion de le couche précèdante. Si l'attents depasse 60 minutes à 20 °C (65 °F), suivent l'acquisotion de le couche précèdante. Applique sair le surface appearent pur couche de fination de Sissaburt 330 (p.5 agint (st.10 lobre)). À basse température ou la l'humidia relative est sievée, l'attente pout prendre plus de 12 heures et le surface, deuvent legarement collante. Il bad alliminer, avant de disposer une couche de passeur de la surface Pour pe faire. Levet la surface à l'aire que le basse de réchroment puisse être espose directement au soies une couche de finition de Sissagard* Color A50 ou d'un autre produit apprécier au présimble une nouche additionnelle d'epony (15 - 20 mils) et saupoudre la surface de sable sibéeux.

Nettoyage

Versiller la zone Confiner le déversement. Environ avec un matérieu absorbant. Élimine conformément aux réglementations locales, provinciales et lédérales. Le produit non durci peut être enlevé avec un solvent recommandé. Le produit durci ne peut être enleve que par un moyen mécanique

Restrictions

- Le chevauchement du basu, dans le sens des fibres, doit être d'au moins 100 mm (4 po).
- Si les pièces de tinsu sont placées côte à côte, le cheveuchement n'est pas nécessaire.
 Température du substrat et température ambiante minimum de 4 °C (39 °F).
 La température ambiante doit dépasser le point de rosée de 3 °C (6 °F).

- La température de service maximale est de 50 °C (122 °F).
 Ne pas diluer avec des solvants.

- Ne pas dituer avec des solvants.
 Le produit devient pare vapeur une fois durci.
 Le béton doit avoir été coulé entre 21 et 28 jours au minimum, selon les conditions de séchage et de môrissement.
 Métriager les réplis de les restes de Skadur* 330 dans des seaux métalliques, le volume ne devant pas excéder 1 kg (750 mL) (2.2 lb (25 oc liq.)).
 Protéger le système de renforcement du rayonnement solaire direct.
 Protéger de la plue la résire fraitonement appliquée pendant au moins 12 heures. Les calculs de conception devent être realisés et certifiés par un ingéneur indépendant dûment qualifie.

Avertissement.

Sitas/Map* Hex 200C est un tissu non-réactif et complétement mûr. Il ne nécessite donc pas de l'iche signalétique. Toutetos, il flaut prendre des précautions lors de la manipulation du Sitas/Map puisque de la spousière de carbones peut être présente. Il faut porter des gants afin de prévent les irrations de la peau. Il faut également prendre des précautions lors de la soupe du tissu Sitas/Map*, susceptible d'occasionner de la poussière de carbone. L'utilisation d'un appareil approuvé NIOSH bien ajuste est recommande.

Premiers soins

En cas de contact avec la peau, rincer à l'eau et au savor. En cas de contact avec les yeux, rincer immédiatement et abondamment à l'eau pendant au moins 15 minutes. Consulter un médacin. En ces de problèmes respiratoires, évacuer la victime et lui faire respirer de l'air frais. Retirer les vétements contaminés et laver avant de les remettre.

GARDER HORS DE LA PORTÉE DES ENFANTS POUR USAGE INDUSTRIEL SEULEMENT



Les transagnements et, notamment, les negommenagions trachest l'approation et futilisation utiliné des produts l'éval sont communiques de bonné los qui a déte des jurispantations el del rédenance emilies de Liés, et produte de produts éntraportes, mannés et applicable terre des produts éntraportes, mannés et applicable terre des produts entraportes, aux és les introduces desse de la comment experte quart à les des des remaines à un appropriée dans les qualités interfactions de les remaines à un applicable entrapeurs de la comment de la commen

Sike Canada Inc.

Ontario

Alberta

801 average Deliner 9015 Devent Diline 1973-114th Average N.W. Poeter-Claire, OC HER 446 Mississaug, ON LST 1.I.S. Extraction, All 1755 518 Tel: 514-693-5910 Tel: 906-796-3177 Fel: 793-498-6111 Fel: 793-498-6111

1-800-933-SIKA

ANNEXE II

FICHE TECHNIQUE - Sika CarboDur Rods

Piche technique du produit Edition 01:2012/--DCC Master Formet** 03:01:30 Sike* CarboDur* Rods Sika® CarboDur® Rods Tiges de fibres de carbone pour le renforcement structural Siks" CarboDurt Rods sont des siges de polymère renfond de fibres de carbone (PRFC), destinées au renfoncement des shuctures de béton, de bols et de maçonnerte. Les tiges sont principalement installées en utilisant la technique Near Surface Mounted (NSM) (installation près de la surface), par insertion dans des nanures effectuées dans le substant et less à Taide de Description resine éponyde. Les tiges peuvent également servir à ancrer les tissus SikaWrap* au béton ou à l'ouvrage de maçonnerie. · Renforcement d'armature de moment négatif dans les dailes et les tabliers Domaines Ancrege pour les tissus Sikalivrap.
 Renforcement des mors de maçonherie.
 Goujonnage. d'application Protection cathodique
 Augmentations de la charge
 Charges vives accrues dans les entrepors. Charge accrue sur les dalles de stationnement.
 Installation de machinerie lourde. · Structures soumises à la vibration Changement de vocation d'un bâtiment Biéments structuraux endommagés Viellassement des materiaux de construction.
 Corrosion de l'armature du béton.
 Impact de véhicule. Incende Améliorations des conditions de service • Diminution de la déformation. Diminution de la contrainte dans l'acier d'armature.
 Diminution de la largeur des fissures.
Changement apporté à la structure. Elimination de murs ou de colonnes.
 Elimination de sections de la dalle pour creer des ouverfures.
Défauts de conception ou de construction. Renforts insufficients.
 Epaisseur structurale insufficiente. Résistance très élevée
 Faible poids. Avantages · Facile & manipuler Haut module d'élastroté
 Supporte is circulation sur la surface (les tiges sont encastrées) Forte résistance de l'aisonnement en raison de l'enrobage total. Les tiges sont invisibles après l'installation.
 Résistance exceptionnelle à la fatigue. Résistance aux alcals Données techniques 9.52 mm (56 po) : En longueur de 6 m (20 pt) Nor Mindde (austre expendier aux reynes directs du solei) Couleur Conservation Polymens renford de Bres de carbone avez matrice de resses aporysis Bain Propriétés à 23 °C (73 °F) et 50 % H.R. 2800 MPs (4.06 x 15° lb(bo²) 156 000 MPs (22.5 x 10° lb(bo²) Resistance à la traction. Module d'élasticité en traidies Allongement à la rupture Toneur volumitrique en fibres 1.5% 55 % > 150 °C (> 300 °F) Resistance thermiose Propriétés physiques Section transversals Dismetre Résistance à la traction 8,36 mm (144 pag 9,62 mm (349 pag 31,47 mm (0,06 par) 71,25 mm (0,17 par) 55.6 M (12 500 b) 122.3 M (27 500 b)



Rendement Tipe (diesers)	Ramine (dimensions)	Promis	Rendersord (in philaritis)
a v. 6.25 sizes (1/4 per)	13.mm + 13.mm (1/0.pg × 1/2.pg)	Display 12 Hi Med Display Anchor For 3 Nov - County 200 Display 30	73.8 in (398 april) L 4.5 in (14 phramouch 26.5 in (69 phr) sq. 26.5 in (67 phr) kg
e v 652 mm (3% po)	16 mm x 15 mm (SAE po x SAE po)	Director® 32 HI-Mod Steat Anchoe For 2 NE - Director® 330 Shador® 30	54.1 m (177 p)/10 L 3.7 m (10 p)/samuch 70 m (65 p)/5 tg 16.7 m (64 p)/1 tg

Mode d'emploi

Préparation de la surface

Afin d'installer la tige près de la surfece, effectuer une reinure sur la surfece du béton ou de la responnerie à l'aide d'une soie à béton ou d'une soie à tranditant aux diamatts. La surface doit être propre et saine. Elle peut être sêche ou humitie, mais sera exempte d'ess, stagnante et de gine. Enlever la poussière, letance, graisse, les agents de milinsoement, produits d'imprégnation. cres, particules étrangères, matrinaix désagrégés et autres matrinaux susceptibles de nuive à l'adhèrence. De plus, brosser la rainure et nettoyer avec un jet d'air ou un aspirateur avant d'appliquer l'adhésif structural

Preparation

Belon: Los de l'utilisation de Sikadur^a 30, préparer la surface en la sublant ou par un suire moyer apprount pour procurer une tecture regueuse ouverte.

Tiges Siku* CarboDur* : Retboyer avec un podulit hetloyant approprié (e.g.: Acetone).

Pour couper les tiges CarboDur

Les tiges peuvent être coupoes à la longueur désiree à l'aide d'une meuleuse munie d'une lame à tranchant aux diaments ou d'une teme abseive. Les zones la couper doivent être recouvertes de nuben à conduit afin de réduire le fandillement.

Malaxage

Consulter to fiche reconique du Skaduri 30. Skaduri 330. Skaduri 32 H-Mod ou Skar Anchorf in 2 14 alto d'obtanir des informations sur la resine éposybe.

Application

lestatation près de la surface

Une ramate doit être effectuée sur la surface du substrait afin de pouvoir y insérer la tige Sala? CarboDurill Prendre son de ne pas couper l'armature du béton, l'armature de précontrainte, les CarboQuril. Frendre son de ne pas couper l'armature du beton, l'armature de precontrainte, los opianes ecoatrières ou autres matériaux se trouvent outre la varion. L'armature de precontrainte, los nettoyage de la suntace poi été effectiais incir di-dessusi, rengair les taimates jusqu'ils environ la motile de la justionateur à raise du Sainaturil 30. Saisaturil 30. Saisaturil 32. Hi-Mod ou Saint Anchor for 31-141. Saisaturil 30 et Baisaturil 30 présentent aux considerates patroites et peuveni time daisets pour des applications verticaires et sur les patrons. Saisaturil 32 Hi-Mod prévente la constance du méte et peut être utilisé sur les suntess horbootstes. Sixel Anchor Furil 3-141 de livré en cartouche et peut être utilisé sur les suntess horbootstes. Sixel Anchor Furil 3-141 de livré en cartouche et peut être utilisé sur les nutres de services verticaires, nocatorisse et un les platitores. Dans les impos du temps surent de la resine apogrés, selon la température, reforque la tre Saint Campdum d'area la resure accorde la tresure apogrés les les manures. Nation les la cession la tresure de la manure de la cession de la cession de la cession. te tigo Sikali CarboDum dans la neuro econyde le trouvert dans les termines. Rejoute de la neuro éponyde sur la tigo pour remplit les rémures. Lisser la surface à l'ade d'une truste afin d'éliminer la présence de pobles d'air et tables la surface proprie.

Restrictions

Les calculs de conception doivent être enscutés et certifés par un ingénieur professionnel independent.

Santé et sécurité

Pour plus de rensergements el conseils reletifs a la manquiellen, l'entreposage el l'élimination des produits chimiques, les utilisateurs doivent consulter les fichies eligisaletiques les plus récentes du produit contenant les données physiques, écologiques, toucologiques et autres données portant sur la sécurité

GARDER HORS DE LA PORTEE DES ENFANTS POUR USAGE NOUSTRIEL SEULEMENT



Bika Carada Inc

1-800-933-SIKA www.sika.co

ANNEXE III

FICHE TECHNIQUE - Sika CarboShear L

Piche Inchrique du produit Edition 01 2012/-DCC Master Formet** 53 01 35 Sika* CarboShear L

Sika® CarboShear L

Élément de renforcement haute performance en PRFC résistant à l'effort de cisaillement

manufacture.	the develope as walls and a figure and a figure as a company of a company of a company of
	des structures de béton simé à l'effort de cisalliement. Le système est composé de
	Sika* CarboShear L : Géments préformés en plastique renfocé de foire de carbone (PRFC).
	Stradur 39: Adminit structure pour armiture externe en PRFC.
	Shirt Carte/Shear I and un commitment the tradition de cardiocement committee State

Carbolline L et a rompiere su système de ferrorente de manuel. L'efficacité du système Sissi.

Carbollines L à été vertilée par des espais grandeur réélé en collaboration avec le laboration fédéral d'essai des matériaux et de recherche EMPA en Suisse.

Les éléments Sita® CarboShear L sont utilisés dans le cadre d'un sustaine de rantorcement

Domaines. d'application

Renforcement contre l'effort de disallement dans le cas de

Augmentation de charge à la suite de :

• Augmentation des charges d'explofission de bâtiments et de ponts.

• Changement de vocation du bâtiment.

Endommagements d'étéments structurels à la suite de : • Corrosion des armatures intérieures.

impacts de vehicules contre les shuttures.
 Donninges sur le beton armé causés par le leu:
Amélioration de l'aptitude au service pur :

Réduction des contraintes sur les armitures.
 Réduction de la taille des fissures et de la fittigue.
Modificiation d'éléments structurels :

Suppression de murs porteurs, de colonnes ou des sections de disfers pour créer des ouvertures.

Changement de spécifications :

Mises en conformit aux nomes semidues.
 Changement de philosophie de conception.

Erreurs de conception et de construction telles que :

· Renforcement insufficant ou tradequate des arm

Avantages:

 Fable poids · Résistant à la corrosion

Hauf e resistance et durabilité.
 Système d'ancrage ayant fait ses prouves.
 Excellente résistance à la fatigue.

Profil mince permettent d'être enduit.

Fable impact sur l'estrétique de la structure du du bétiment

Données techniques

Conditionnement Couleur Aspect Softe pe 20 staments ou vends à l'unité.

Nue
Clématos en éguernes (30 °) en PRIC envir matin expory. Les des
Baces de charges ablement sont recovertes d'un raban de prélamos
catachable aniempt Engent de déparation.

CONSTRUCTO Eliminia Elimaporar du nas el na per seponar solad.

Describe
Température de intenséton extresse
= 10 °C (160 °C)
Contens est fibres
- 10 °C (160 °C)
- 10 °C (160 °C)

Propriétés physiques
Bius Catodher L. Bitadur 10/ Lorganus
Diserson des Consonssation Course
ent (po) Épateseur nontrale sans habien protections Longueur des branches Largeur 406/60 0.5 10 (3.1.0) door one 400:1203 40 (1.67) 3 (0.6767) 40 (1.67) 2 (0.6767) 0,6 kg (7,5 to 0,7 kg (1,5 to 1000 (38) 40 (1.57) 2 (5.0767) 1500 (38) 40 (1.67) 2 (5.0787) A/90/100 589 (20) 805 (20) 1500 (36)

1.0 kg (2.2 kg America Company of the process of th

Resistance office à la traction. Module d'élassique E'

- 1950 MPA (TEST & 10-Boyer) - 90 000 MPA (151.16 y 10-Boyer)

Altergement à la papare! +1.30 % -1.50 % -1.50 m et sens conflorer de 2 mm (0.0167).



Sonstruction

Conception

Le proobdure de conception dub être entreprise selon les standards du code du bâtement canadien, les régles de calcul et de construction des composants contenant des paymères renforcés de fibres établis out les nomes CAN/CSA SIGE-02 et ACI 440.39-08 ou selon le modèle décrit dans le rapport de tels 1167/2002 de de l'EMPA.

Des considérations supplémentaires devraient inclure

Diagnostic:

Géorgatre de la surface, reployvement, planette de la surface a être renforcée, qualite des matériage de construction, conditions dimediques et funtisation d'un plan de zonage.

Forces d'ancrage

Zons d'antriège: La branche la plus longue de l'équelre est animée dans la daile de compression de la Sinchure exect du Sinadurii 30. Le longueur d'éncastrement à l'influence seuvante sur le force d'érachiement.

Longueur d'ancrage	Force d'arractionent	Force Carathenest relative
trum (po).	AN (IDI)	(en % de la charge de rupture)
100 (4)	9HV. 77 (17310):	env: 60
150 (6)	erry. 100 (22480)	mrx: 80
250 (8)	env. 120 (26977)	ms 95

En sous-face de poutre :

La longueur de recouvrement entre 2 branches de Sixu^a CarboSheur L collèes de part et d'autre de la poulle pout formet un « U » influence la charge de ruptire.

Longueur de la zone de recouveurent intri (po)	Force de rupture moyence* khi (bil)	Efficació (Sh. % de la force utime a la traction)
157 (6)	67 (15062)	53
725 (W)	69 (15511):	55
300 (12)	74 (16635)	59

* Cas chiffres représentent des résulters de texts. Pour des valeurs de valoui se référer au respons de text 116/7 2022 de de L'EMPA mentionné plus haut.
Une valeur de 45 kN (10116 Bd) par alèment de Salaff CarboShear L paut être choisse à sine d'autorisation dans le cades d'une soude de faisabilité.

Mode d'emploi

Préparation de la surface

Décaper la surface en la sablant ou par un sub- proyen approuve pour conférer una loclure nigueuse ouveire – conforme à la nome ICRI CSP 5 – des faces latérales et la sous-face de l'âtre de la pouire. Entever les particules non-énhérentes et la pouissière au moyen d'un aspirateur industrier. Le support duit être propre levernuit de grantse, d'haite et sec i humidité maximale du support. 4 % par podoi.

La résistance d'adhérence du béton après la préparation de la surface doir être vérifiée par des essais d'attrachement aécatoires (AC) 500R). à la discontron de l'impérieur: Une trasitance et la traction moyenne de 2 Mille (290 tagos) et une résistance à la traction moyenne de 2 Mille (216 b/bpc) avec rusoulre du subdistal de béton est ingulier avent de procéder aux travets.

La plantide de la surface est virifiée la moyen d'une régle matallique. Une tobrance matrimale de 2.5 mm r/0 066 poi sous la règle pour une langueur de 500 mm (1.64 pil est ethnice. En ces d'inégalités plus importantes, il est empérait de procéder à un repréttage de la surfacé à l'aide d'un métange d'adhérit s'auctural Sikadur! 30 at sable de sitce propre séché au four (repport de mataxiège de 1.1 par volume).

L'arête de l'imbrent séluctural (où viendra se toger le pouce de l'équaire) doit être abiliture ou arfonde à la meure du rayon interiour de 25 mm (1 pc) de l'élément Sala* CalboShear L. Cella opération peut être effectuée à la meulause à disque

Préparation de l'adbesif Sikaduri 30

Consulter la fichie fechnique du Sitaduiri 30 pour les informations concernant la préparation. misisrage et application du produit.

Préparation du Sikur CarboShear L.

Le raber achieuf de procedior sur les peux faces des éléments datal^a Carbollheir L dat être solgrisusement entevel pusqu'à la ligne de coupé. S'assurer que le profile soit proper incempt de particules non-achièmetes et de tout autre contaminant.

Les élèments Sauf CartóSheir L peuvert alors être coupés à la longueur desirée préférablement à l'elde d'une ade à discue damante

Le jour précedent l'installation, les surfaces des ellemetre en PREC devroir être netloyées evec un linge listino propre, ne fansarii pas de peluphes el mibibe d'acetore poqui a l'enérvement compete de la poussière de parbone el de colle (le linge bisno dat resian piano après svon evauye la surface).

L'extremble devant être ancrée sets encules d'une couche d'achieuf Sixialum 30 our les deux foces, il la longueur voulue avec une marge supplementaire de 10 mm (SHI por L'application de l'adress' se fers à l'aide d'une truete deréales de 5 mm (SHS por de maritire à former des rannres bignoversales au serni de la libre.



Construction

Installation du Sikar CarboShear L

Dans le cas d'uncrage dans le delle de compression, les trous qui ort été préconces devrors. être entièmement remple d'achérel structurel Disadurf 30 à l'aide d'une pampe ou d'un précise à extruder équipe d'une truss ou d'un embous approprié

ment effectuer 3 forages parallèles de 25 min (1 po) de diamètre, espaços 10 à 15 mm (3/6 a 5/6 pc) pout produire un orfice citizing d'environ 50 mm (2 pc).

Enlever poussière, saieté et humidité de l'ouverture ainsi pratiquée. Laisser sécher les parois des

Prendre soin de forer le plus près possible de l'êrre de la poutre pour permetre de coller les eléments Sikali CartoShear I, ever une épisseur minimale de cole

Une los le ruban adresif retire et l'extment Sita" CurboShear L nestoyé à l'acetone, applique. Skaptur 30 en forment un cordon trienguisere, sur la face intérieure du l'élément Sike" Carbotibleur L. tout en rempliasant les nainures aménagées sur la longuleur d'ancrage qui ont été prépanées au présiable afin d'exter l'emprésonnement de l'air dans l'adheist d'ancrage.

Appliquel une fine couché de remplissage de Skindurf 30 sur le surface préparée du béton. L'aréfé de la structure doit être généreusement gamie de Sikadur! 30 pour éviter de laisser des vides dans

En tenunt réterrent de PRFC legérement à l'oblique, le mettre en place dans les tonages rempts de Skadur! 30, Justie syant d'altienque la profesideur d'ancrage, mettre en place l'elément au moyen du rouleau en caoulchour, dans le couche de remplissage sur la surface du bélon. Enlever ensuite l'excédent de Skadur^e 30 de la zone de chevauchement au moyen d'un chiffon et d'une

Les élements filtel^a CarboShear. L'allués du côté opposé seront appliqués de façoir identique. La surface de la branche courte du premier élément doit capendant être andulte de Sikadur^a 30 pour empêritier que la branche déjé fixes na se déplace. Enlever ensuite l'excédent d'adhésif au moyen d'une speking.

Ne pas perturber la parrode de múneservent du produit. Une fois mûns les éléments peuvent être prolitigate des ultrasciones an recourant la surface, par exemple de Sikagard^a Sol W Flantic ou de Sikagard^a Color ASO Lo-VOC.

Restrictions

Les calcules de conception doivent être ténlisés et certifés par un ingénieur indépendant dûment qualife. Sità Canaga ne peut determiner l'emplacement, l'espacement ni l'orientation des équenes Sital CarboShear L, dans le cudre d'un projet particulier. Des directives pour faciliter la conception sont disponibles augmin de Sita Canada.

- Resistance d'adhèrence moyenne requise de la surface de bédon prépare: 2 MPa (290 loipoi), avec un minimum, de 1.5 MPa (216 fatpoi).
 Tampérature de service misomale admissible: 50 °C (122 °F)
 Tampérature de minimum d'application ; 10 °C (30 °F).
 Teneur en humisté misomale du substrat: 4 % par posts.

- Pendent rapprocation, la temperature antinante et telle du substrut doivert dépasser le point de rosse mesure d'au mons 3°C (5°F).

 Les systèmes Sikal* CarboShear L doivent être protégés contre l'exposition directe et
 - continuelle des rayons solaires.

Santé et sécurité

Pour plus de renseignements et conseils relitété à la manipulation. I entrecosage et l'étimination des produits critmques, les utilisateurs soivent consulter les fiches signalétiques les plus récentes, du produit contenant les données physiques, écologiques, foi potopiques et autres données portant sur la securité.

GARDER HORS DE LA PORTÉE DES ENFANTS. POUR USAGE INDUSTRIEL SEULEMENT



edit ci Visirianti la regiona como tractari superiori di disultiri dire dei cricia ling infrancio como di prodo como como de la speriori attanto di la diconomica di prodo di prodo di serio di la diconomica di prodo di prodo di como di prodo di prodo

Bika Carakta Inc.

Guebec 601, avenue Delnar Prante-Claire, GC MSR 6AS Tal. \$14-667-3067 Pay: \$14-667-3067

6016 December Drive 50125 - Tridit America R. M. Minelennings, ON 157-165 Supervisor, All 152-178 Tal: 100-505-5177 Tal: 100-506-5177 Tal: 100-608-5171 Tal:

1-836-933-SIKA WHEN SHADA

ANNEXE IV

FICHE TECHNIQUE - Sika AnchorFix

Piche technique du produit Edition Of 2013h -DCC Mester Former* 07 1/2 16 Sike* ArchorFe*-3*-Gike* ArchorFe*-6*-

Sika® AnchorFix®-3CA/Sika® AnchorFix®-4CA

Description	structureus, à heut module et heu	la résistance. Es ne contientent e	d'ancrage épocydes à deux composints ucun solvent et sont insvinables à l'humidié se pompage au par ligiction sois presuon
Domaines d'application	machinerie füe et sotomaticé impermablination de turneté Ré-encrage de plazages de n Eléparation de membrures en Entration prévent? - Injection	es, pinques d'appois, etc.), , shandres de sâbles, recervoir- acontente bos- t de fissures importantes se p d'armature des diaments commo fubbs à impetion.	educard cars las dructions neuros ou
Avantages	Recordantly auto opclain dis gall- Table orders. Se petition a frejestjeet sans, p Excellente adheinens it is en se, p Considerine adheinens it is en se, p Considerine adheinens a ja en se Adheish a prise septice of rela- Facilies a entire septice of rela- Facilies a entire septime septice of rela- Facilies a entire septime septime of Excellent poorvoir dutellant, p Agrie pet 17 Agenter considerin Situal Anchor Faril Air - van form Situal Anchor Faril Air - van for	pendiant at appro, le microjumes jumbes aux elémetions durs le seu dégal aux elémetions durs le seu dégal aux elémetions durs le seu dégal aux estats le seu des la faction de perfettement des éparties des les l'indications en protendeur le d'impetition en protendeur le d'impetition en protendeur le d'impetition en protendeur le d'impetition en la terrem ACT de CRR, l'approur le de la revenue ACT de CRR, l'approur le la l'approur le la la l'approur le l'approur le l'approur le l'approur le l'approur le la l'approur le l'approur le l'approur le l'approur le l'approur le l'approur le la l'approur le l'approur le la l'approur le l'approur le l'approur le l'approur le l'approur le la l'approur le la l'approur le la l'approur le l'approur le la l'approur le la l'approur le la l'approur l'approur le la l'approur le l'approur le la l'approur l'approur le la l'approur le la l'approur l'approur le la l'approur l'approur le la l'approur l'appr	intemplerars. Section symple represents of a subspart des materials structurals, verticales de en surplimete of Femil potable (IF, N. V., grade 3, planues 4, B et C.)
	Données techniques		
	Constitution mod	Star Anderson 3141	catauche de 100 mL (20 se liq LUE) catauche de 250 mL (6 45 oc liq LUE) catauche de 600 mL (20 oc liq LUE)
	Gesteur	Composert A: bland	the same of the sa

Companies II get 2 and date not exhalling d'arigne, recreased Exhippean entre 8 st. 35 °C (45 st. 55 °F). Conditionner le poddit a 25 °C (35 °F) avait de Calisies Per Brasp tital (and dept de 27 °C (75 °F). Instrume indicesser la sexplorative du produit entre 15 st. 30°C (55 st. 55°F) pour facilier. Explorations su passer. 4.55 °C 17 per volume. Commercian Report de malanege Propriétés à 23 °C (73 °F) et 50 % R.H. Propriétés à 23 °C (73 °F) et 50 % n. n.

Yemps de gestination (66 g)

- 6 - 3 cm

- 20 cm

-20 MPs (2334 bigor) 15 MPs (2175 bigor) 17 MPs (3035 bigor) 17 MPs (2405 bigor) 547 % 243 % 2 jours
16 jours
16 jours
Assessment ASTM Disps
Temphrapher der fürstlich ermed
ASTM DEAR
Confficient die retract tredaine
ASTM 02168 SATICHMAT)

6,0001

1.0007

ting Assemble 5"

BAY ANDRESS ...

desirable as	William Street Street	Statutes.	- Artista Serie	or newstern	5-MONEY MENEY	Sec.	Wildelphia	- ministration is	- marine
	Parents as as	Prevention	-	MATERIAL STATE	NA DESCRIPTION	Seed Street	CONTRACTOR!		PERSONAL PROPERTY.
Secured as	ments in con-	Contract and Contract	2000 -0-94	2100 tamps-	States probes	STOR (Make)	9.28(4.29)	#190 MI	MINISTERNATES.
ME	200	1.54	1904	1077	2016	2300	211	4150	
461	THE .	7.6%	1457	1745	19940	71075	2114	4157	-96.10
-67	40.4	6.10	190	200	3634	5700	2760	9900	6472
901	844	110	10mg	2005	400	Abed	0760	7110	8470
-6/4 -	-34	14%	2001	3797	4535	1100	24.00	12458	701.50
60	. had	9.10	-400.00	3790.	8.59/5	1140	54791	1,906.0	ten de
24	100	1.1%	1000	1115	5477	1140	2400	14700	12415
-04-	78	11 16	47900	7546	8505	4790	\$465	18772	787
district.	1	4.170	94074	750,78	1888.00	10000	F14400	54800	made:
	11.0		12mil	19916	100.45	110-5	14806	87900	
1.00	138	13.5%	77070	29.465	CHARLE	73490	THE	acriero's	24470

1.77		0.00		30.00.0	1,0,01,0	
2 VALE	LIPS ADMIN	OUTLES EN CHARL	EMENT - TIGES FIL	JETEES DANS	BETON DE 2	800 LEPS
Does also de	Dimm fire	Profesion	Essivance	Residence		Date (II)
American	mintered.	Parameter.	Fathermer (b)	THORNA	west est	PERSON
24	274	610	100	1750	1296	-0710
100	159	HAT	:800	Awaiin	(foil	(0.00)
29	120	2.00	96	200	1000	1000
- 1	100	4	19049	Asset	Arm	THAT
17.18	138	- C Es.	700.00	179677	300	177700

NOTES - THOMESAUT N. E. J. ET 4

1. De primire primire i fairp attention (il vincimat NAS pers in traditions furbilisers at a statum

ingresters par to have in the property patterners.

In the first of the first party of extremely as the party of the party

company making professionals for reproduction of the company of th

If I as colour flower have a factor in a continuous section of the colour section of the

3. Lies procupatified and former fluid limited selections of Health can be on "place" on "place" or "place

If the later was regard in the first providing to the facility of permunicipal program from the providing to the facilities of the forms.

as properly as thrown at A.C.

Sales - DELEVATORY

Let, worse, before, acceptanced by acceptance of the property of the property

7. Les reports dans rempresented, see deprivationales impagnisses des services in mais et etimel incluying une gallete de includer de fabrica part de la companyation de mange consiste de fabrica part manipules, par en liches de fabricales formats de manages con creates au fraction des dissectes minutes de la companyation tesses fabrica data de la companyation de la companyation de la companyationale de la delapore mangel, del se descenlarios que de la delapore mangel, del se descentarios.

per Car representation of the Car representa

	E DISTANCE DE RIVE MINIMALE POUR LES CHARGES DE TRACTION - ANCRIGES DANS LE BÉTON										
l	CHARGE AND CO.	DISTRICT OF	riscretor un								
ı	100	7 15	717								
ı	100	134	11,19								
ı	- 5	135	17.76								
ı	1.5	- 1	A 75								

State Differential States days for information of all these days are place better to the state of the state o

100 100	District of the last of the la	Réprésent réprésents le l'apprésent le l'apprésent l'a		Representational desiration of the same of					Programme to the control of the cont	
64	mente	Consideration of	7800 lb/	2000 161	4000 No.	ALDED !	The Country	Shi the	done	
1007191	- 6096	1006		8.00	P41	241	- (917)	46	- 64	
6.1	1.0	610	19880	-50	2000	2228	40.00	1300	2580	
18-4	Armi.	m101	2760	201	(mile)	4.560	3406	400	400	
40.	1,074	0.68	28 77	4000	w750	5405	4377	6300	Two	
4.0	1	6.04	garden a	with a	0.00	6.756	714.00	sands.	1000	
#1	7.40	110	Trest.	0.04	2-06	DeltA	100		Guerra	
40.	7.60	-	2000	CHIEF	Commo	THE	7190	-	14	

44	110	18.	200	6751 6415 6415	110	Sec.
81	- 0	ESPACEMENT DES	ANCREG	HE ST DISTANCE	DE RIVE ADMITS	EUP:
				Flore capacità. Epocage Induce intipo	Carrenge Harden Common	Factor da Historiae
				1975	memory by County	340
	Description of the		# 150°	19.0	9.53	F 100
CARROLL STR.	Allege LTE	Testie:		12.0	His Miles	You Address S

		met. Link (I-miller)		
ILLUP TO THE	BOT BRITIS USB.	ANYCHARDIST KIT CHISTIANS	DE DIE FOYS MINIMAUX D	AND UN MAIGURNABIO
	-	NON A	MEE	Entered to the

land de se	-	Ter.	grade.	Temps day	deletement.
40.00	Antrei	SHIP AND	Salas Park Street	Santaka Age	Andler A.
0.7	0.75	As E	18	Mill	Name -
44.75	(0.70)	100.0	100.00	100	241
15.7	0.73	tue.	10.1%	10.6	0.4
16.70	all Pro-	100	2019	0.00	84
167.	1973	46	200		80

Let configure the time and a property of the configuration of the config

			90	OE - !	CMB				TOUR			#L D	176.0	(30)						
		2	1	4			WORDS	e e.v.	DU TE	100			11	-	-	18	- 40	-		-
TORE PLEME	EDANGLE BETTON			_																_
FORMAT-TIOR	DAMETRE DU																			
59+0	TROU (sec)																			
246	3716	100	130	-	117	Dir.	101	-81	-44	100	100	117	-	-26	38	24	28	- 11	-01	-31
172	975	3	87	-61	-	-40	- 29	34	-79	- 21	25	23	27	19	78	-16		++	13.	- 10
581	34	79	47	111	-	300	-	-	18	1,61	10.1	13		72	79	9.	16.			
34	24	No.	811	-74	- 21	78	16	74.	. 11	- 11	100	-	- 1	т.	1.	10.0				
100	1	407	-87	34	730	130	-0	- 17	10	600										- 1
	17.14	10	- 10	19	16	18		78									4	1		- 4
1.1/8	1.04	86	-91	41	14	12	- 19	1.0		T			1		-5	-16	4	4		-
1,000	1.29	28.	-00	43	- 12	- 9	1.	10.	T			3 -					4		- 2	- 3
140	- 144	- 33	14	45	-14	- 1	- 4	- 1				4	4	4		4.	- 6			- 1
PERSONAL PROPERTY OF THE PERSONAL PROPERTY OF	DANGE DANG OU THOUGHT DO	109			П															
4.1	19.	160	70	8.5	10.0	155	40	41	2.1	10	-	- 22	-	24	77	5	- 31	11	11	- 11
4.4	3.6	127	45	-0.4	41	4.0	-	-93	39 -	796	194	37	-	19	12	-	-73	115	la:	- 11
4.5	1.6	180	46.	62	-6.1	201	30	38	- 43	14	1.66		-	110	14	-0	-0	D	11	19
41	18	IC.	100	41	177	29	24	20.	- 11	175	1.6	- Gar	-	12	.11	-	100	100		
47	1	12	-47	- 10	19	29	25	- 19	-	19	14	12.	111	11	10			10		
45	1.00	10	-41	91.	18	110	19		14	-10.	10.	-	-	. 1		16.	- 6			
4.1	1.16	20	-001	100	11	.14			7	1	1	4.1	.1.	- 1	41			4		
4.00	1.40	111 -	- 27 -	-6	II-	-13	- 1	- 11				3 -	-3	-1	4	-6	4			- 5
PORMAT. BARRE (HI)	DANS LE BÉTION DANS LE BÉTION	Ţ.	Ξ	7	Ε	Ξ	Ξ		-	-	Ξ		-	7	Ξ			Ξ	Ŧ	ī
.34	10	71	156	14.1	394	19	941	23	19-	1,9	18	14.	18	- 12	3.0	-	-	-		
2.6		71	46	-	30	38		141	14	161		11	11	11						- 11
1	7.03	67	-67	-0.1	-	-	19	78	14	-12		150	100	76			и.	T	- 1	- 11
1.576	1.05	-50	111	25	-	17	114	-11	11	10.		.11	4			7				. 1
	7.46	40	-	24	17	- 14		44	- 14			-		- 4	-	-	- 4			- 6

			- 604	DE +3	OMBR	8 06	TROUB BBITGE	SICAR	TOUR	DHE B	£ 250	ML file	er.	₫Ď:						
						4	MOTOR P	t t	4	100	10	40	11	14	-14	16	40	**		34
	DANETH DU																			
(940)	FRESE GHO				2							-								
10	0/15	N 10	- 9	-17	71	- 2	31	-31	- 0		- 12	- 7	- 2	- 17		- 2	- 2			1
140	24	21	- 7	- 14	- 17	- 7	1	- 7		4	1	- 6	- 7	- 1		-	- 7	- 6	- 5	- 6
34	139	10	118.	11.	1.	1.		. 6		A			7	- 7.	11.	- 8	1	- 1	- 1	
18	18.	198	117	- 9	T.		. 1	1.5			3.1	.31	3	7	7	7	7	-		
1	1.14	18	100	+	.15	1	1.6				1	1	1	2	2.	3		1.0	2	
1.06	3.69	12	- 3	T		1	16.	1	-	-	3	2	2	2	7.	7				
110	1.99	11.		10	4	4	1	1	- 1	:	2	1	1	4	0	2		1	W	-0
1 92	100	. 6				14		1	I	2	3	3	3	3	-10	-	31	×	11	7
MANUE STATES	ATURE DANS LE D	E10H																		
PORMAS- BARRE (HG)	DAMETRE DU																			
4.1	1/5	41	.65	47	41	71	18		11	110	10			1						7
	5.60	-	-03	111	41	111	100	10	30	.00		Y		1	Y					-
43	141	14	70.1	11	14	71	12				. 1	9 -			N		. 1	. 1	1	-
160	144	107	(0)	-	12	11	1.0	1.0	T	¥			11	4			4			
4.1	1.	-91	100	111	11	4		1			1	1	4.	4	4.	4	4			-4
46	1.00	16	166	E	12	40		×	12	1	- 1		4	1	1	16	1	1	I	2
41	1.00	11			19	4		1			2	2	3	1	10		. 4			1
F161	1.40	10			4	4		1		ï	1	11	31	3	1	1	- 1	- 1	1	- 1
POWON DAM	S LE MÉTON																			
PORMAT- BANKS (m)	TROUGHO																			
24	119.	177	(2.2		11	11		1	7.	Υ.		1	4	4					1	. 1
166	4.	64	14	14	11	N.		Y				N	4			4				-
	1.10	74	100	14.	10		1.7					4	4	1		- 3		1	1.5	
116	1.56	19	1.15	15.	4		-4"		. 4		1.	1	1	N.	4	4	- 4		2	
1.00	146	4	-77		-	4	6			-	3	3	3	7	7	3	- 1	- 2	- 1	- 3



| Silva Canada Inc. | Gostato | Gostato | Silva Canada Inc. | Gostato | Silva Canada | Silva Can

1-800-933-SIKA www.sika.co

ANNEXE V

FICHE TECHNIQUE - Sikadur 30

Fiche technique du produit

Sikadur® 30

Adhésif époxyde structural en pâte, haute résistance, de module élevé à utiliser avec le système de renforcement

			e resistance, de module Bleve, à ASTM CBI1 et AASHTO M-235.
Domaines d'application	la pierre, etc.	les composites (Sika" CarboDs s d'acter au béton. récales et su partond. chysalent, haute nésistance, en morter éponyde.	The section of the se
Avantages	materiaux afracturaux Ebélinement compatible et eco La consistance páteuse est l Resistance élevée à l'absge Resistance élevée à l'abstation Resport de mélange pratique Sans solvant Composants de couleur d'My Agree par l'Agence canadies	endant et après múrissement, aute résistance et module élevi- don, à la maçonneme, aux met cliente adhierant aux lameles co- désile pour applications vertica ou sous criarge permanente, on A.B = 31 par poids, lerente pour assurer un contrôle me d'impression des aliments.	isux, au bors et à la pluport des proposites Sika® CarboDur® CPFC des et au plations!
	 Approuve par le Ministère de Données techniques 	is limisbour or minori	
	da supormanno que des colombrad Conservation Ratio de malerage Propriétés à 23 °C (73 °F) e Censele relative (8+6). Vie en por (26 °C (88 °F))	de jamelen. La concorrespor vielle Z ans, dans son emballege di ans di set 20 °C (41 et 80 ° 20 °C (81 et 15 °F) exent de A.5 = 21 par polds el par so E 50 %, R.H. 1,85 kgt. (14,0 dispel lato) Enrique 5 n 30 mile.	irigine, non-purert. Entrepoter su ser. F). Conditionner le produit entre 15 et l'utilisse
	Temps ouver! Propriétés en traction ASTM Dé 7 jours	Enveno 1 h 60 mm 28 Résignance à la traction Atlongement à la repture	24.8 MPs (2888 M/s/)

Construction

Research au challement ASTM DI	70		
If yours, progressment & 1% 'C (SR 'F)	15 MPV (2175	May 1	
14 jours, microsement & 35 °C (55 °F)	17 MPe (2465	Barry	
Resistance d'achierence ASTM CERZ			
Select Start & Select Start			
2)60%	Mississeneral 1	tunde	18.6 MPs (2669 ts/po*)
2 issurs	Mildeterrant s	ign.	72 MFW (\$187 Nidow)
10 jours	Mildspersed 6	hamide	21.0 MPs (3091 m/sor)
Matter diese & Cassar			200 20 200
Zimre.	Milrosament I	turnos.	17.9 MFs (2007 (900-1
2 jours	Michiganet i	DAN	20.6 MFs (2000 Suppl)
14 poors	Minnesered 9	tumide	17.0 MFv (2MF Noor)
Températures de pérfection ASTM D	04.6		
Figure, microsement & 10 °C (50 °F)	Effort Aire bet	dist.	1070 (86.7)
Tjours, motosament & 35 °C (95 °F)	1.8 MP4 (264)	b(bo')	53 °C (127 °F)
Ansimplier (Few ASTM DATE			
24 h	0.00 %		
Résistance à la compression ASTM:	BRIG, MYN. (By	NS .	
	S'CHITY	33 of h3 al.	32 10 (89 19)
48:			37.6 (6.400)
8 tr		24,1 (5497)	46.2 (6703)
植物	O. C.	W4.2 (WT05)	41 (T400)
Ligate	6.1 (748)	55,7 (7792)	69,7 (1792)
3 pages	48,9 (6790)	57.2 (8000)	57.2 (9300)
7 jours	55.1 (7986)	55,5 (8854)	69.3 (8664)
të joura	54,9 (R553):	59,5 (9854)	81.3 (999e)
78 (1974	HAR DESCRIPTION	59/3 (9804)	82 (986s)
"Product rolls at mile & heyeas aux sample	interves in diquire	et.	
Module of Husballin ASTM DSNs			
7 jours.	2.69 GFs (59)	0 r10 lapo)	
Coefficient de Gitatione (hormique	EX 10YO SWI	lation files bereplants	ST MERKET CHARGE TO

Mode d'emploi

Préparation de la surface. La surface sem propre et seine. Elle ped être siche ou humide, mais exemple d'eau stagnante ou girle. Elisever la poussière lattance, graisse, agents de moissement, produits d'imprégnation, près, particules et mogres, materiaux, dosegnages et autres materiaux proceptions. Se nure la radhèrence. Boucher les surfaces inégales evec un morpie approprié es. D'autre 10 aprés donné en 1 partie de suble de silice). Vérifier la résustance d'aphérence du déton après la présolation de la surface, par essui d'amechered alastoire (ACI 500R), à la discrition de la surface, par essui d'amechered alastoire (ACI 500R), à la discrition de l'impériales. Résistance à la tration membre de 1.5 MPs. (2018 tippe) avec radure du sucolitat en tratio. La nivelage du substitut doit être verifiée avec une faite métallique. La rrègle pour 2 m (6,5 pt) de longueur ent 10 mm (3/8 po) ou respéctivement 2,5 mm (3/32 po) pour 56 cm (28 pd) de longueur.

cm (28 po) de longueur. Béton - Décaper la surface en la sabient ou per un eure moyen approuvé pour procurer une

texture regresse coverte. (CSP 3)
Acter - Sabler la surface jusqu'au metal bland.
Bols - Préparer par seblage ou ponçage. Après la préparation, enjevier joute la poussière de la

sont le le la possible de la processa de la process de la seconde bande

Malaxage

Primitianger chaque composant. Métanger 1 partie de composant II pour 3 parties de composant A dans un seau propre. Melanger pendant 3 minutes evec une perceuse electrique à basse vitesse (300 - 450 hinnin) pour minimiser l'emprisonnement (fair, Utiliser un melangeur ter l'Exomore imodine recommander, frendant re malaxage, racter les parois et le fond du contenant avec une truelle piete ou à bord droit au moins une fois pour assurer un maissage complet. Au terme du maissage. Skadur^o 30 doit avoir une couleur homogène. Ne maisser que le quantité pouvezt être utilisée pendant la durée de vie en pot du mélange.

Application

Pour perfort externe collé - Appliquer Sixadur* 30 pur sur la betton sivec une truelle ou une toutule, sur une épatisseur nominale de 1 5 mm (V16 poi, Appliquer Sixadur* 30 métangé sur la temetie CarboDur* aivec une spatule *en forme de toll*, sur une épatisseur nominale de 1,5 mm (V16 poi, A l'intérieur du tempe ouveit de l'éponyde et compte terru de la tempetissure, place la tempetis CarboDur* sur la surface du beton. Avec un routeau de capablour du presser la temete purquit de que l'achieur exchetation sur les deux côtes. Enlever l'achieur exchetations. La ligne de colle ne doct pas faire plus de 3 mm (1/8 poi d'apatique. Ne pas perturber les lamelles receded 1/8 ha un moitre. Déscoute résolute de servicier de capabilité.

pendant 24 h au moins. L'épocytie atteindra se résistance de calouren 7 jours. Pour le rapificage vertical ou au plafond - Appliquer Skodurf 30 additionné de 1 partie de sable sochée au four, sur le aubstral prépare et boucher la carélé. Aceser la surface de la réparation. Placer le produit par couches de 25 mm (1 po) d'épaisteur, maximum

firettoyer immédiatement les outils et le produit avec Sikan Equipment Cleaner. Le produit durci Nettoyage ne peut être enleve que mecaniquement. Se laver soigneusement les mains et la peau à l'eau chaude savonneuse. Température ambiante et de substrat minimale : 5 °C (41 °F). Température ambiante et de substrat maximale : 35 °C (95 °F). Restrictions Ne pas diver pursque les solvants empécheront un mitrissement approprie N'utiliser que du sable séché su four Epaisseur maximale de la ligne de cole d'apoxyse pur 3 mm (1/8 po). Epuisseur maximale de mortier epocyde par couche ; 25 mm (1 pc). Le produit môri est un pare-vapeur. Resistance d'adhérence minimale du substrat de béton : 1,5 MPa (218 b/po-). Le béton doit avoir été coulé entre 21 et 28 jours au minimum, selon les conditions de séchage et de múrissement. . Les substrats poreux doivent être expertises pour la transmission de vapeur d'eau avant d'appliquer le mortier. Composant A - Imbint - Contient des résilves époxydes. Le contact prolongé avec la peau peut Avertissement. Composant A - Initiant - Content des resines époxydes. Le contact protonge avec la peau peut causer une initiation. Eviter le confact avec les yeux. Composant B - Initiant - Confient des amines. Le confact avec la peau peut causer des bélures graves. Eviter le confact avec les yeux. Éviter den respirer les vepeurs. Le produit est un sensibilisateur puissant. Il est recommande de porter des lunettes protectrices, des gents résistant aux produits chimiques et un respirateur pour valpeurs organiques homologue NIOSHMSHA. Prévoir une ventilation adéquate. Entever les vétements confaminés. Pour plus d'information, consulter l'étiquette du produit. En cas de contact avec la peau, rincer à l'eau et au savon. En cas de contact avec les yeux, Premiers soins rincer immédiatement et abondamment à l'eau pendant au moins 15 minutes. Consulter un médicin. En cas de problèmes respiratoires, évacuer la vidime et lui faire respirer de l'air frais. Rétirer les vétements contaminés et laver avant de les remettre. Pour plus de détails, consulter la fiche signalétique du produit Sika. PORTER DES VÉTEMENTS DE PROTECTION, DES LUNETTES DE SÉCURITÉ, ET DES GANTS GARDER HORS DE LA PORTÉE DES ENFANTS POUR USAGE INDUSTRIEL SEULEMENT



Les treusegnements et, notamment, les recommendations fraçment l'appreciation et full-section active des produit liers autri-communagée de bonne les qu'il datés les compensations et de le speciment de trait à le lété de comment les produit les treuses et de la comment de la commen

Sika Canada Inc.

801 seissus Deiner 6015 Devent Dies 1813-1146 Ausrus N.W. Porte-Claire, OC HER 446 Masteurus, ON LST 1.5 Extractor, Az 155 178 196 5146-5170 Tel: 514-607-3017 Fex: 514-607-3017 Fex: 505-705-3192 Fex: 703-405-1500

1-800-933-SIKA

ANNEXE VI

FICHE TECHNIQUE - Sikadur 330

Piche technique du produit Edition 06 2010A-1 DCC Master Format™ 53.01 30 SRadurt 335

Sikadur® 330

Résine d'imprégnation pour les tissus de renforcement

Description		sut module et hauti	spe structurale, à deux composants, à 1005 e résistance, tolerant à l'humidité, convenier a-dessus de la tête.	
Domaines d'application	230C et SikaWrap* Hex • Peut également servir d'	430G apprét evec SikaWiy	mes de renforcement shuctural SiesWhap ⁿ He op ⁿ Hes 100C, SiksWhap ⁿ Hes 100G ou sulte ofte d'applications verticales ou suspendues.	
Avantages	plupart des materiaux str	haute résistance, i béton, aux métaux, ucturaux, avec le système Sil ures éleules, ge sous une thonge p nion et aux chocs.		
	Données techniques			
	Evidottage	United de Billiog (11)	80 (3.8 L (1 gal US))	
	Couleur	Comp. A Cores. B	Blanc Des	
	Consomminton			
	Planting touther	0.7 - 1.2 kg/m /5	14 - 3.24 (8/97)	
	Couche intermediatre	0.5 kg/m² (0.10 fb	IDFY	
	Coosine de festavo	0.5 kg/m² /0,10 h	04)	
	Conservation		emballage d'origine, non-ouvert. Entreposar au se let et 77 °F). Conditionne le produit entre 16 et 24 ° et de l'utilises.	
	Rapport de malaxage	de l'exactione du	ction du poids. De serve de belendes pour s'arriun relio de maliorage.	*

Propriétés à 23 °C (73 °F) et 50 % H.R.

Denutré (cong. A + B métangés) 1,31 kgf. (10,9 6/gai 123) Viscoulle Pite formi We as pot, 5 kg (11 lb)

10 °C (M °F) M °C (M °F) M °C (M °F) Résistance en traction Allongement à la rugture E élockée en llexion 30 MPa (4053 logo*) 1.5 % 8.8 GPe (56.1 = 10* toper)

AS GRA(DAT & Proper)

MOT Inverse A 10 °C (00 °F)

Joseph A 10 °C (00 °F)

Joseph A 20 °C (00 °F)

Joseph A 20 °C (00 °F)

Joseph A 10 °C (50 °F)

Plant A 10 °C (50 °F)

Plant A 10 °C (50 °F)

Plant A 10 °C (50 °F)

A 10 °C (100 °F)

Mode d'emploi Préparation de la surface

Décaper la surface en la sablant ou en la reculant (CSP 3-4). Entiever toute la poussière de la surface avec un aspirateur industrial. La surface doit être propre, exempte de graisse et d'huite, et séche. La teneur misointale d'humidaté du substrat devant être < 4 % par poids. La surface doit être nivelaies et ne présenter aucure aspertire la saille > 0.5 mm (20 més), il faut silveiler toute inrégularité supérieure en se servant de Sikadur* 30, auquel est sjouté du satire de

silice séche au four restio de 1:1 per volume).

La résistance à la traction du substrat devent être renforce doit être au moins de 1,5 MPa (218 lb/po). Tous les coins de la structure doivent être arronds à un rayon de 10 mm (3/6 po).



Mataxaige	Verser le composent 8 3 minutes au moyen d'un d'une pale de malouge éponyée dans un commu- véesse, afir d'emprisons La vie en pol commerci.	dans le comenant le perceute électri . Jusqu'à de que l' art amorte, pus met et le morre d'air po le su moment du ripérigune, la vie et	du compositri A. Méla dan régles à faible viter le coultes desiente un larger à rouveau porchi sabre malausge des deux co n pot est plus longue.	se el non en lots separte, ingue entièrement pendant les 460 - 600 tetrinn nami florme. Verser le meurige nf anveran 1 minute à fabre impouents (la résine el le L'importance siève, pars un pot est contre.
Application	Dans le sotre d'une so superposition d'appareur la l'aute d'une fraille ou couveant de 3.7 - 1.2 kg/s le fossi dans la résine et emprisonné el les virègal. à la résine de plasser et mesures, appliquer d'unes les 60 minutes. à 20 °C el S l'adante deposes 60 il application Appliques, si 330, en couveau environ. A baste tampitantier o 12 heutes et la surface, louisette éparaseur de les curer éponge humade ou Appliquer, afin d'éviter que couche de findion ci produit approprié. Four l'estate proposes d'une le pareur et de la company de la couche de findion ci produit approprié. Four le produit approprié Four le produit approprié.	container de Skriffy is de traus tailler le Sur pinceaux, termé le Sur pinceaux, termé mir (0.14 - 0.24 libbs) o plantes en sé servair a travers dos medio les "Fi, puis répeter transces a 26 °C à de "Fi, puis répeter transces à 26 °C à a la demandre tipation deventre le gérernier sur le faisa, de prefix se le faisa, de prefix se Sissagandri 550 à se l'autrate l'adherent able sur coudre la	regi st Hax 2000 ou de Saqui seton la dimension lampe de Siradian 230 of Laston le special of Laston le profit de la lorder des gants, puis to d'un douteix en plateix est de tribus. Si plus d'ul d'un douvent environ les étapen d'application à Fp., estende 12 neu- eur de Soso, une couche selve les d'unités. Tatte et colonne le faut ellima de la surface. Pour pe la promient, puissan-étre les les d'une bouche de Sakargard le d'une bouche de	Skativaph Hex 430G pur rocalus. Applicates annuals save is washing propose save is washing propose save so washing propose save so suppose arvec son ser is sarticle. Eliminar i sin de pour laminet. Purinettre une éposaseur de lassu est de pour laminet. Por la desprise savent de recommence so sevent monte palas de es summi de recommence iné socialment de Sixualur née peut prendré palas de es, muni de desposar una inc. larrer le sarticle à l'audi posé d'incidement au savei d'incidement au savei Color A50, ou d'un aupre de camentaire à de l'épony - 0.5 mm 115 - 20 missi de
Nettoyage	conformément aux régien	mentations locates.	provinciales et fliderales	nenau absorpant Elemine is Le produit non duro peut sul être enteve qué par un
Restrictions	et de mainsement. • Métanger les oques et dévant pas expéder 75 • Protéger de la pluie la	the dod, dependent let note miximals and of solvents invespeur une tols di couré entre 21 et 28 les restins de Sotad O est, 125 our llo 1 lesine traidment est apprèr pour Sianys	powii de rosée de 3 °C - le 50 °C (122 °F) arci - jours eu commun, selo km² 330 dans des sesus applicuée pendant au m tap? Hes 100C ou Siki	(8 'P). In les constitues de séchage I métalliques, le volume na
Avertissement	Composant A - Immar - Imperior set pusceptible or Composant B - Intant - graves britished Poter is the de-product Ce product pants pressant may agent	Contient des resine o provioquet une int - Contient des arms o contact invectés d'est un sensionis no chimègues. L'us approuve. NIOSHI	s éponytées. Le Jankeit tailon. Exitée le contact nes. Le contact avec la yeurc Evitar de segmen ant foot. Porter des lun soe d'un appareit de pr MSPA est reconvirsant	pesu raique de causer de les vepeurs se dégageurs ettes de projection et des oteution respirators filman le Provoir une verdation
Premiers soins	After Immediatement of	abordamment & I lemes respiratoires suller la fiche signal PORTEE INSI ENF	eau dendant au moint evacuer la violme et la lest de les rémetire etique du produit Siva	de contact avec les yeu) 15 minutes Consulter un i faire respirer de l'air fran
	THE RESIDENCE OF STREET		The second secon	China de producti de la companio del companio del la c
(HA		S Devend Deve Supply Oh (ST (LD	Alberta 1815/n. Math Avenue N.W.	1-810-933-SIKA WWW.Sha.co

BIBLIOGRAPHIE

- ACI Committee 440.2R. 2008. Guide for the Design and Construction of Externally Bonded FRP Systems for Strengthening Concrete Structures. Farmington Hills, Michigan: American concrete institute.
- ASCE-ACI Task Committee 445. 1998. Recent approaches to shear design of structural concrete. Journal of Structural Engineering, 124(12): p. 1375-1417.
- Al-Mahaidi, R., Lee, K., and Taplin, G. 2001. *Behavior and Analysis of RC T-Beams Partially Damaged in Shear and Repaired with CFRP Laminates*. Structures 2001: p. 1-8.
- Berset, J.-D. 1992. Strengthening of Reinforced Concrete Beam for Shear Using FRP Composites. MSc Thesis, Departement of Civil and Environnemental Engineering, Massachusetts Institute of Technology, Boston MA. USA: 105 p.
- Bousselham, A. and Chaallal, O. (2004). Shear-strengthening reinforced concrete beams strengthened in shear with externally bonded FRP. *J. Compos. Constr.* 12(5), 499-512
- Bousselham, A. 2005. Comportement des poutres en béton armé renforcées en cisaillement à l'aide de matériaux composites avancés. Thèse Ph.D. École de technologie supérieure, Montréal, Canada. 404 p.
- Chaallal, O, Shahawy, M. and Hassan, M. 2002. *Performance of reinforced concrete T-girder strengthened in shear with CFRP fabrics*. ACI Struct. J. 99(3), p. 335-343.
- Chaallal, O., Mofidi, A., Benmokrane, B. and Neale, K. 2011. *Embedded Through-Section FRP Rod Methode for shear strengthening of RC beams: Performance and comparison with existing techniques*. ASCE, J. Compos. Const. 15(3), p. 374-383.
- Chajes, M.J., Januszka, T.F., Mertz, D.R., Thomson, T.A. Jr. and Finch W.W. Jr. 1995. Shear strengthening of reinforced concrete beams using externally applied composite fabrics. ACI Struct. J. 92(3), p. 295-303.
- CIDAR. 2006. Design Guideline for RC Structures Retrofitted with FRP and Metal Plates:

 Beams and Slabs. Draft 3 submitted to Standards Australia, The University of Adelaide, Australia.
- CNR-DT200. 2004. Guidelines for Design, Execution, and Control of Strengthening Interventions by means of Fibre-Reinforced Composites. National Research Council, Italy.

- CSA Committee S6-14. 2014. *Code canadien sur le calcul des ponts routiers*. Toronto, Ontario, Canadian Standards Association.
- CSA Committee S806. 2012. Design and Construction of Building Components with Fiber Reinforced Polymer. Mississanga, Ontario, Canadian Standards Association.
- Czaderski, C., and Motavalli, M. 2004. Fatigue behaviors of CFRP L-Shaped plates for shear strengthening of RC beams. Elsevier, Composites. Part B. 35(4), p. 279-290
- Deniaud, C. and Cheng, J.J.R. 2001. Shear behavior of reinforced concrete T-beams with externally bonded fiber-reinforced polymer sheet. ACI Struct. J. 98(3), p. 386-394
- El-Maaddawy, T. and Chekfeh, Y. 2012. « Retrofitting of Severely Shear-Damaged Concrete T-Beams Using Externally Bonded Composites and Mechanical End Anchorage ». J. Compos. Constr., 16(6), p. 693–704.
- El-Saikaly, G., Godat, A., and Chaallal, O. 2014. « *New Anchorage Technique for FRP Shear-Strengthened RC T-Beams Using CFRP Rope* ». J. Compos. Constr., 10.1061/(ASCE)CC.1943-5614.0000530, 04014064.
- El-Saikaly, G., Chaallal, O. 2015. Fatigue behavior of RC T-beams strengtened in shear with EB CFRP L-shaped laminates. Elsevier, Composites: Part B 68 (2015), p. 100-112
- EMPA. 2002. *Shear strengthening with prefabricated L-shaped plates : Test beams S1 to S6. Test rep.* 116/7. Eidgenössische Materialprüfungs-und Forschungsanstalt.
- Fib-TG 9.3. 2001. *Externally Bonded FRP Reinforcement for RC Structures*. International Federation for Structural Concrete, Lausanne, Switzerland.
- Godat, A., L'Hady, A., Chaallal, O., and Neale, K. 2012. « *Bond Behavior of the ETS FRP Bar Shear-Strengthening Method* ». J. Compos. Constr., 16(5), p. 529–539.
- Godat, A., Qu, Z., Lu, X. Z., Labossière, P., Ye, L. P., Neale, K. W. 2010. Size effects for reinforced concrete beams strengthened in shear with CFRP strips. J.compos. constr. may/june. 2010, p. 260-271
- Kamiharako, A., Maruyama, K., Takada, K. and Shiomura, T. 1997. Evaluation of Shear Contribution of FRP Sheets attached to concrete beams. *Proceeding of the third international Symposium on Non-Metallic (FRP) Reinforcement for concrete Structures*, October, 1997, 1, p.467-474.
- Khalifa, A. and Nanni, A. 1999. *Rehabilitation of rectangular Simply supportes RC Beams with Shear Deficiencies Using CFRP Composites*. Construction and Building Materials, 16(3), p. 135-146

- MacGregor, J., G., Bartlett, F., M. 2000. *Reinforced Concrete Mechanics and Design*. Scarborough, Ontario, Prentice Hall Canada Inc.
- Ministère des Transports du Québec. 2012. « Manuel d'inspection des Structures ». Publications du Québec. En ligne. http://www3.publicationsduquebec.gouv.qc.ca/produits/ouvrage_routier/guides/guide2 4.fr.html. Consulté le 13 juin 2015.
- Ministère des Transports du Québec. 2011. « *Bilan de l'état des structures du réseau routier supérieur* ». En ligne. 34 p. http://www.bv.transports.gouv.qc.ca/per/0994120/05_2011.pdf. Consulté le 16 juillet 2015.
- Mofidi, A. and Chaallal, O. 2011. Shear strengthening of RC beams with EB FRP: influencing factors and conceptual debonding models. J.compos. constr. Jan. /fev. 2011, p. 1-13
- Mofidi, A. 2012. Shear strengthening or reinforced- concrete Beams using Advanced composite materials. Manuscript-Bases Thesis. École de Technologie Supérieure, Montréal, Canada. 204 p.
- Mofidi, A., Chaallal, O., Benmokrane, B., and Neale, K. 2012. « Experimental Tests and Design Model for RC Beams Strengthened in Shear Using the Embedded Through-Section FRP Method ». J. Compos. Constr., 16(5), p. 540-550.
- Mofidi, A., Thivierge, S., Chaallal, O., and Shao, Y. 2013. Performance of reinforced concrete beams strengthened in shear using L-shaped CFRP plates- An experimental investigation. ASCE, J.Compos. Constr., 10.1061, p. 1 8
- Mofidi, A., Chaallal, O., and Shao, Y. (2014). « Analytical Design Model for Reinforced-Concrete Beams Strengthened in Shear Using L-Shaped CFRP Plates ». J. Compos. Constr., 18(1), 04013024.
- Oehler, D.J., Seracio, R and Smith, S.T. (2008). *Design Guideline for RC Structures Retrofitted with FRP and Metal Plates: Beams and Slabs.* HB-305-2008, Standards Australia, Sydney, Australia, ISBN 0733778313, 73 pp.
- Qin, S., Dirar, S., Yang, J., Chan, A., and Elshafie, M. 2014. « *CFRP Shear Strengthening of Reinforced-Concrete T-Beams with Corroded Shear Links* ». J. Compos. Constr., 10.1061/(ASCE)CC.1943-5614.0000548, 04014081.
- Robertson, I., Johnson, G.P., and Sharma, B. 2007. *Shear retrofit of concrete T-beams using CFRP*. Proc., 8th Int. Symp. on Fiber reinforced Polymers in reinforced concrete structures.

- Statistique Canada. 2015. *L'âge de l'infrastructure publique au Canada*. http://www.statcan.gc.ca/pub/11-621-m/11-621-m2006035-fra.htm. Consulté le 15 juillet 2015.
- Täljsten, B. 1997. Strengthening of concrete structures for shear with bonded CFRP fabrics. Proceedings, US-Canada-Europe Workshop on Bridge Engineering, organized by EMPA, Zurich, Switzerland, p.57-64.
- Täljsten, B. 2003. *Strengthening of concrete beam for shear with bonded CFRP sheets.* Construction and Building Materials, Elsevier, 17, p. 15-26.
- Transports Canada. 2015. Transport routier: *Récapitulatif 2007-2011*. https://www.tc.gc.ca/fra/politique/anre-menu-3021.htm. Consulté le 16 juillet 2015.
- Transport Québec. 2015. *Infrastructure de transport : Investissement 2015-2017*. https://www.mtq.gouv.qc.ca/infrastructures-transport/investissements-routiers-2015-2017/Pages/default.aspx. Consulté le 13 juillet 2015.
- Ugi, K. 1992. *Improving shear capacity of existing reinforced concrete members by applying carbon fiber sheet*. Trans. Jpn. Concr. Institute 14(253), p.66
- U.S. Departement of Transportation. 2015. Federal Highway *Administration: Bridges by year built.* http://www.fhwa.dot.gov/bridge/structyr.cfm. Consulté le 23 juillet 2015.